

جمهوری اسلامی ایران  
وزارت معادن و فلزات  
سازمان صنایع و معادن استان تهران  
طرح بررسی مقدماتی سیلیس بین دماوند و فیروزکوه

گزارش نهایی  
بررسی مقدماتی سیلیس بین دماوند و فیروزکوه

مجری طرح  
عزیز میرزائیان

مشاور  
مهندسان مشاور معدنکاو

سال 79

وزارت صنایع و معادن  
سازمان صنایع و معادن استان تهران

بررسی مقدماتی سیلیس بین دماوند و فیروزکوه

مرحله : مقدماتي	شماره گزارش : Mn1287010
تهيه کنندگان به ترتیب حروف الفبا :	کنترل : مهربان اردشیریان
1- مهربان اردشیریان	مدیر پروژه : مهدی محمدی قناتی
2- مهدی زمردیان	تایپ : خانم‌ها اسدی و میر علی‌نقی
3- علی عابدی	
4- زینب کریمی	
5- مهدی محمدی قناتی	تاریخ : آبان ماه 1379

### چکیده

پروژه بررسی مقدماتی سیلیس بین دماوند - فیروزکوه، از طرف اداره کل معدن و فلزات تهران در تاریخ 26/5/79 به شرکت مهندسین مشاور معدنکاو واگذار شد. جهت انجام پروژه، ابتدا کلیه اطلاعات و مدارک موجود جمع‌آوری گردید. پتانسیل سیلیس در منطقه، لایه تاپ کوارتزیت بود که با پیمایش و اکتشاف چکشی، در طول حدود 34 کیلومتر از لایه تاپ تاپ کوارتزیت در 8 نقطه نمونه‌برداری شد. از روی نتایج آزمایش نمونه‌ها و توپوگرافی منطقه محدوده‌ای به وسعت حدود 9 کیلومتر مربع جهت کارهای خاص معدنی انتخاب و با مقیاس 1:20.000 مطالعه گردید و بقیه با مقیاس 1:10.000 مطالعه شد. در محدوده 1:10.000 طی حفر 7 رشته ترانشه و نمونه‌گیری از آنها و همچنین نمونه‌گیری سیستماتیک، مجموعاً 90 نمونه تهیه و درصد ترکیبات سیلیس آزمایش شد. در ضمن تعداد 4 نمونه سنگ‌شناسی نیز تهیه و مطالعات کانی‌شناسی و سنگ‌شناسی بر روی آنها انجام شد.

نتیج بررسی‌ها، ذخیره قطعی 5/656 میلیون تن و ذخیره احتمالی 86/972 میلیون تن با عیار متوسط  $\text{SiO}_2 = \% 97.94$ ,  $\text{Fe}_2\text{O}_3 = \% 0.25$ ,  $\text{Al}_2\text{O}_3 = \% 0.73$  و ذخیره قطعی 11/911 میلیون تن و ذخیره احتمالی 194/046 میلیون تن با عیار متوسط  $\text{SiO}_2 = \% 92.20$ ,  $\text{Fe}_2\text{O}_3 = \% 0.64$  را برای  $\text{Al}_2\text{O}_3 = \% 1.69$ ,  $\text{SiO}_2 = \% 96.79$ ,  $\text{Fe}_2\text{O}_3 = \% 0.22$  محدوده 1:10.000 و ذخیره احتمالی 550/47 میلیون تن با عیار متوسط مشخص نمود.

### فهرست مطالب

#### صفحه

1-1

#### عنوان

فصل اول : مقدمه

فصل دوم : توصیف عمومی منطقه

2-1	2-1- موقعیت جغرافیایی منطقه مورد مطالعه
2-1	2-2- آب و هوای منطقه مورد مطالعه
2-2	2-3- راههای ارتباطی استان
2-4	2-4- ارتفاعات استان تهران
2-5	2-5- رودخانه‌ها
2-6	2-6- جمعیت استان تهران
	فصل سوم : خلاصه عملیات و مطالعات گذشته
3-1	3-1- کانی‌شناسی گروه سیلیس
3-1	3-1-1- کوارتز
3-5	3-1-2- کوارتز بتا
3-8	3-1-3- اوپال
3-10	3-2- ویژگی‌های زمین‌شناسی سیلیس
3-10	3-2-1- کانسارهای سیلیس رسوبی یا کوارتز آرنیت‌ها
3-11	3-2-2- کانسارهای آذرین
3-12	3-2-3- کانسارهای دگرگونی
3-12	3-2-4- کانسارهای پگماتیتی
3-12	3-2-5- کانسارهای هیدروترمال
3-13	3-2-6- کانسارهای سیلیس از خاستگاه دگرسانی
3-13	3-2-7- ذخایر پلاس
3-14	3-3- اصول پیجوبی و اکتشاف ذخایر سیلیس
	فصل چهارم : زمین‌شناسی عمومی ناحیه و منطقه مورد مطالعه
4-1	4-1- شرح زمین‌شناسی عمومی ناحیه
4-4	4-2- پرکامبرین در البرز
4-4	4-2-1- شیسته‌های گرگان
4-5	4-3- اینفراکامبرین (ائوکامبرین)
4-11	4-3-1- دگرگونی اینفراکامبرین پسین
4-11	4-4- محیط رسوبی پرکامبرین
4-13	4-5- پالئوزوئیک زیرین
4-13	4-5-1- کامبرین زیرین
4-14	4-5-2- کامبرین میانی و فوقانی - اردوبیسین آغازی

4-14	4-6- پالوزوئیک فوقانی
4-14	4-6-1- دونین - کربونیفر
4-16	4-6-2- پرمین در البرز
4-18	4-7- مزو佐ئیک
4-21	4-7-1- ژوراسیک
4-21	- 1- ژوراسیک در البرز
4-26	- 2- ماگماتیسم در ژوراسیک
4-27	3- سنگ‌های آتشفشانی ژوراسیک
4-29	4-7-2- کرتاسه در ناحیه البرز مرکزی
4-29	1- کرتاسه زیرین
4-30	2- کرتاسه فوقانی
4-33	4-8- سنوزوئیک - ترسیر
4-34	4-9- زمین‌شناسی عمومی منطقه مورد مطالعه فصل پنجم : تشریح فعالیت‌های صحرائی
5-1	5-1- جمع‌آوری اطلاعات اولیه و تعیین محدوده
5-2	5-2- فعالیت‌های صحرائی و برداشت‌های زمین‌شناسی
5-5	5-3- عملیات حفر ترانشه و نمونه‌برداری
5-5	5-3-1- حفر و نمونه‌گیری از ترانشه‌ها
5-6	5-3-2- نمونه‌برداری سیستماتیک
	فصل ششم : مطالعات آماری و تجزیه و تحلیل نتایج
6-1	6-1- محدوده نقشه 1:10.000
6-1	6-1-1- لایه کوارتزیت
6-2	6-1- محاسبه عیار متوسط
6-5	6-2- محاسبه ذخیره
6-6	6-1-2- لایه میکرو کنگلومرای کوارتزیت
6-7	6-1- محاسبه عیار متوسط
6-8	6-2- محاسبه ذخیره
6-10	6-2- محدوده نقشه 1:20.000 (به استثنای محدوده 1:10.000)
6-10	6-2-1- محاسبه عیار متوسط
6-11	6-2-2- محاسبه ذخیره

## فصل هفتم : مصارف و کاربرد

- 7-1 7-1- مصرف و کاربرد سیلیس
- 7-1 7-1-1- صنایع شیشه
- 7-1 7-1-2- موارد استفاده مستقیم از سیلیس
- 7-2 7-1-3- آجرهای ماسه خاکی
- 7-2 7-1-4- آجرهای ماسه آهکی
- 7-2 7-1-5- صنایع نسوز و دیر گذازهها
- 7-4 7-1-6- کاربردهای اختصاصی و ظریف
- 7-5 7-2- استانداردهای سیلیس
- 7-6 7-2-1- استاندارد ایالات متحده آمریکا
- 7-6 1- شیشه فلینت
- 7-7 2- شیشه جام
- 7-7 7-2-2- استاندارد انگلستان
- 7-7 1- شیشه جام
- 7-8 2- شیشه فلینت
- 7-10 3- بطریهای رنگی
- 7-11 4- پشم شیشه
- 7-11 5- شیشههای عینک
- 7-11 7-2-3- استاندارد ترکیه
- 7-13 7-2-4- استانداردهای ماسه‌ها، سیلیس در ریختهگری
- 7-14 7-2-5- استاندارد ایران
- 7-17 7-3-3- فرآوری سیلیس
- 7-17 7-3-1- روش‌های معمول در فرآوری سیلیس
- 7-18 7-3-2- فرآوری سیلیس در ایران
- 7-19 7-3-3- فرآوری سیلیس در محدوده دماوند - فیروزکوه
- 7-20 7-4- واحدهای مصرف کننده سیلیس و نیاز سالیانه آنها
- 7-20 7-4-1- شیشه و بلور
- 7-21 7-4-2- ریختهگری
- 7-22 7-4-3- فروآلیاژها
- 7-22 7-4-4- سایر مصازف

### فهرست جداول

<u>صفحه</u>	<u>عنوان</u>
2-3	جدول شماره 2-1- طول کل راه‌های استان، شهرستان‌های دماوند و فیروزکوه
2-6	جدول شماره 2-2- میزان جمعیت استان تهران و شهرستان‌های دماوند و فیروزکوه
1377	جدول شماره 2-3- میزان جمعیت استان تهران بر حسب خانوار‌های شهری و روستایی در
2-7	جدول شماره 1-6- محاسبه عیار متوسط $\text{SiO}_2, \text{Fe}_2\text{O}_3, \text{Al}_2\text{O}_3$ در لایه کوارتزیت
6-3	جدول شماره 2-6- محاسبه لایه ضخامت لایه کوارتزیت
6-5	جدول شماره 3-6- محاسبه عیار متوسط $\text{SiO}_2, \text{Fe}_2\text{O}_3$ در لایه میکروکنگلومرای کوارتزیت
6-8	جدول شماره 4-6- محاسبه ضخامت لایه میکروکنگلومرای کوارتزیت
6-9	جدول شماره 5-6- محاسبه عیار متوسط $\text{SiO}_2, \text{Fe}_2\text{O}_3, \text{Al}_2\text{O}_3$ در لایه تاپ کوارتزیت
6-11	جدول شماره 6-6- محاسبه ضخامت لایه تاپ کوارتزیت
6-12	جدول شماره 7-1- ترکیب نسوز‌های سیلیسی
7-3	جدول شماره 7-2- خواص نسوز‌های سیلیسی
7-4	جدول شماره 7-3- استاندارد سیلیس برای تولید شیشه فلینت در آمریکا
7-6	جدول شماره 7-4- استاندارد سیلیس برای تولید شیشه جام در آمریکا
7-7	جدول شماره 7-5- استاندارد سیلیس برای تولید شیشه جام در انگلستان
7-8	جدول شماره 7-6- استاندارد دانه‌بندی سیلیس برای تولید شیشه جام انگلستان
7-8	جدول شماره 7-7- استاندارد سیلیس برای تولید شیشه فلینت نوع A در انگلستان
7-9	جدول شماره 7-8- استاندارد سیلیس برای تولید شیشه فلینت نوع C در انگلستان
7-10	جدول شماره 7-9- تجزیه شیمیابی ششه جام و بلور ترکیه
7-12	جدول شماره 7-10- استاندارد دانه‌بندی سیلیس برای کارخانه شیشه ترکیه
7-13	جدول شماره 7-11- درصد اکسید آهن سیلیس در محصولات مختلف ترکیه
7-14	جدول شماره 7-12- ترکیب شیشه جام به روش قدیمی
7-15	جدول شماره 7-13- ترکیب شیشه جام به روش فلوت
7-15	جدول شماره 7-14- ترکیب بطری سازی
7-15	جدول شماره 7-15- ترکیب لعاب سازی

7-16	جدول شماره 7-16- ترکیب لامپ و شیشه‌های صنعتی
7-16	جدول شماره 7-17- ترکیب وسائل خانگی، بلور و ظروف
7-16	جدول شماره 7-18- ترکیب کریستال و بلور ممتاز
7-18	جدول شماره 7-19- کاخانجات آرایش سیلیس موجود و طرح‌های توسعه

### فهرست نقشه‌ها

<u>صفحه</u>	<u>عنوان</u>
2-4	نقشه 2-1- نقشه راه‌های منطقه

### فهرست عکس‌ها

<u>صفحه</u>	<u>عنوان</u>
4-38	عکس شماره 4-1- لایه تاپ کوارتزیت در دره شمال جابان (معدن)
4-39	عکس شماره 4-2- لایه تاپ کوارتزیت در دره شمال سیدآباد
4-39	عکس شماره 4-3- تشکیلات الیکا در دره شمال ورزان

### فصل اول

#### مقدمه

پژوهه بررسی مقدماتی امکان وجود سیلیس در محدوده بین دماوند و فیروزکوه طی قرارداد شماره 79/9930 مورخ 26/5/79 فی مابین اداره کل معدن و فلزات استان تهران به عنوان کارفرما و مهندسان مشاور معدنکار به عنوان مشاور منعقد گردید. هدف از این طرح بررسی امکان وجود سیلیس در محدوده‌ای به وسعت 120 کیلومتر مربع با جزئیات ذیل بود :

- جمع‌آوری مدارک و اطلاعات عمومی مربوط به منطقه
- اکتشاف چکشی و تهیه نقشه زمین‌شناسی با مقیاس 1:20,000 برای محدوده به وسعت 120 کیلومتر مربع و انتخاب محدوده امید بخش به وسعت 5 کیلومتر مربع
- عملیات حفاری و نمونه‌برداری و تهیه نقشه زمین‌شناسی با مقیاس 1:10,000 بر روی محدوده امید بخش
- مطالعه و بررسی تحولات زمین‌شناسی ساختمانی و تعیین موقعیت ماده معدنی
- تهیه پروفیل‌های زمین‌شناسی با نمایش وضعیت زمین‌شناسی ساختمانی و تکتونیک منطقه
- ارزیابی ذخیره موجود و توجیه ادامه عملیات

پس از مطالعه منابع موجود در آرشیو مراکز تحقیقاتی و دانشگاهی و همچنین نقشه‌های زمین‌شناسی موجود منطقه، مشخص گردید که لایه تاپ کوارتزیت به ضخامت حدود 50 متر که در یال جنوبی تاقدیس شمال روستای آینه ورزان گسترش دارد می‌تواند به عنوان پتانسیل سیلیس مورد اکتشاف و بررسی قرار گیرد و کلیه عملیات صحرائی باید بر روی این لایه مرکز گردد.

در بررسی‌های صحرائی اولیه، سعی بر آن شد که در مسیر کلیه آبراهه‌هایی که امکان دسترسی به لایه مذکور را دارد، از لایه نمونه‌برداری شده و همچنین وضعیت توپوگرافی محدوده گسترش لایه تاپ کوارتزیت بررسی گردد.

با توجه به گسترش زیاد لایه تاپ کوارتزیت (از شمال روستای آینه ورزان تا شرق روستای کهنک حدود 34 کیلومتر)، محدوده‌ای به وسعت 160 کیلومتر مربع مورد پی‌جوئی و اکتشاف چکشی قرار گرفت و از 8 نقطه نمونه‌برداری شد و نمونه‌ها آنالیز گردید.

با توجه به نتایج آنالیز 8 نمونه، وضعیت توپوگرافی منطقه و همچنین محدوده‌هایی که قبلًاً توسط اداره کل معادن و فلزات استان تهران به افراد واگذار شده بود، گستره‌ای به وسعت 9/5 کیلومتر مربع جهت تهیه نقشه زمین‌شناسی 1:10,000 و عملیات ترانشمنزی و نمونه‌برداری انتخاب گردید.

در این گزارش کلیه عملیات انجام شده بر روی منطقه بین دماوند – فیروزکوه و نتایج حاصل از بررسی‌های صحرائی، آنالیزهای آزمایشگاهی و اطلاعات حاصل از مراکز تحقیقاتی به اجمال تقدیم می‌گردد.

## فصل دوم

### توصیف عمومی منطقه

#### 2-1- موقعیت جغرافیایی محدوده مورد مطالعه

محدوده مورد مطالعه در 23 کیلومتری شرق شهرستان دماوند بین طول شرقی<sup>°</sup> 12، 13، 52<sup>°</sup> و عرض شمالی<sup>°</sup> 35، 39، 41، 57<sup>°</sup> محدود می‌گردد و دارای مساحتی حدود 165 کیلومتر مربع است که با شهرستان فیروزکوه 35 کیلومتر فاصله دارد. از لحاظ آب و هوایی، راه‌هایی دسترسی، وضعیت اجتماعی، ژئومورفولوژی و سایر مشخصات جغرافیایی، محدوده مذکور با شهرستان‌های دماوند و فیروزکوه مشابه می‌باشد.

#### 2-2- آب و هوای منطقه مورد مطالعه

استان تهران در فصول سرد سال متأثر از سیستم‌های شمالی و شمال غربی و غربی و جنوب غربی است که طی نفوذ خود به فلات ایران، استن تهران را تیز تحت تأثیر خود قرار می‌دهند. اصولاً

زمستان‌ها در این استان سرد و خشک می‌باشد. نزدیک بودن به کویر نیز موجب می‌شود تا در تابستان‌ها بادهای گرم و خشک شرقی و جنوب شرقی بر آن تأثیر بگذارد. تابستان‌های این استان در مجموع گرم و خشک و غبارآلود است. بارندگی‌های آن از ماههای آبان و آذر آغاز و معمولاً در اواسط اردیبهشت ماه نیز پایان می‌یابد.

به دلیل وجود ارتفاعات در منطقه فیروزکوه – دماوند میزان بارش برف و باران نسبتاً زیاد، درجه حرارت میانگین منطقه نسبت به تهران پایین‌تر است، به طوریکه طبق آمار موجود در شهرستان فیروزکوه میانگین حداقل درجه حرارت 41/1 درجه سانتیگراد، میانگین حداقل درجه حرارت 5 درجه سانتیگراد و میانگین درجه حرارت منطقه 9/6 درجه سانتیگراد است. همچنین میزان بارندگی سالیانه در این شهرستان 347/7 میلیمتر، رطوبت نسبی 73 درصدی حداقل رطوبت نسبی 28 درصد می‌باشد. تعداد روزهای یخ‌بندان 166 روز در سال می‌باشد که باید مورد توجه قرار گیرد.

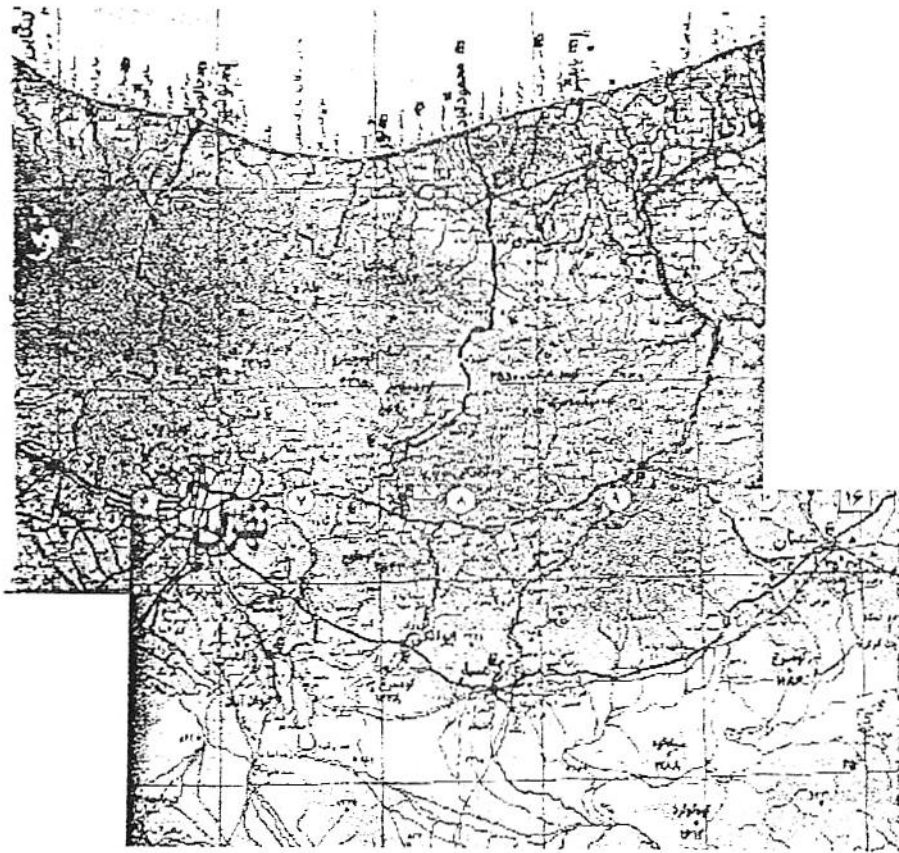
### 2-3- راههای ارتباطی استان

منطقه فیروزکوه – دماوند توسط راه آسفالته درجه یک و راه‌آهن با تهران و همچنین با استان مازندران از یک طرف و باراهای آسفالتی با شهرهای مختلف استان سمنان مرتبط می‌شود. در جدول شماره 1-2 طول کل راههای استان تهران و راههای تحت پوشش حوزه‌های استحفاظی شهرستان فیروزکوه دماوند بر حسب کیلومتر آمده است. همچنین در صفحه بعد نقشه راههای منطقه (نقشه شماره 1-2) آمده است.

## جدول شماره ۱-۲ - طول کل راههای استان ، شهرستانهای

### دماوند و فیروزکوه (کیلومتر)

سایر راهها	راه فرعی شنبه				راه فرعی آسفالت				راه اصلی				شهرستان
	درجه ۲	درجه ۱	درجه	عرض	درجه ۲	درجه ۱	درجه	عرض	معمولی	عرض	بزرگراه	آزادراه	
۳۴۹/۵۵	۰	۸	۰	۵۰/۸	۲۳۴/۸	۷۴/۶	۵۰/۸/۷	۱۹۱/۱	۳۳۱/۸	۱۸۹			کل استان
۹۲/۹	۰	۰	۰	۰	۴۲	۰	۶۹/۶	۰	۲۳/۱	۰			دماوند
۱۱۱/۳	۰	۰	۰	۰	۰	۰	۳۰	۰	۰	۰			فیروزکوه



نقشه ۱-۲ - نقشه راههای منطقه

#### 4-2- ارتفاعات استان تهران

استان تهران در دامنه‌های جنوبی بخش مرکزی سلسله جبال البرز قرار گرفته است. این بخش از ارتفاعات البرز، مرتفع‌ترین قلل البرز را به خود اختصاص داده است که در حقیقت بخش‌های شمالی استان تهران را تشکیل می‌دهد. ارتفاع کوه‌های این بخش در سمت شرق افزایش یافته و ارتفاع قله‌ها از مرز 5000 متر گذشته، به طوریکه ارتفاع قله دماوند 5671 متر از سطح دریا می‌آشد. در قسمت‌های شمال شرقی ارتفاعات بانان رشته کوه‌های فیروزکوه و سوادکوه تا دره رودخانه فیروزکوه که از شعبات اصلی حبله رود است، امتداد دارد. از ارتفاعات بخش مرکزی و منطقه جنوبی

می‌توان ارتفاعات لواسانات و قره داغ دماوند را نام برد. ارتفاعات شمیرانات با قله توچال به ارتفاع 3933 متر و کوههای کهار نیز از جمله ارتفاعات استان تهران در این بخش است. در قسمت‌های جنوب و شرق تهران، کوههای حسن‌آباد، بی‌بی‌شهربانو، القادر و قصرفیروزه قرار دارد.

## 2-5- رودخانه‌ها

مهمترین رودخانه‌های استان عبارتند از : جاجrud، بله‌رود، رودخانه کرج و روشنور. نزدیکترین رودخانه به منطقه مورد نظر، رودخانه دلیچای می‌باشد که در سمت شمال منطقه مورد نظر جریان داشته و سپس از قسمت شرق وارد منطقه مورد مطالعه می‌گردد و پس از عبور از آن به بله‌رود می‌پیوندد.

## جدول ۳-۲- میزان جمعیت استان تهران بر حسب خانوارهای شهری و

روستایی در: ۱۳۷۷

استان	جمعیت روستایی	خانوار روستایی
کل استان	۱۱۵۲۸۷۶	۲۴۳۴۴۸
دماوند	۲۲۵۶۰	۵۶۸۸
فیروز کوه	۱۶۸۹۶	۴۰۰۳

## 2-6- جمعیت استان تهران

بر اساس نتایج سرشماری عمومی نفوس و مسکن سال ۱۳۷۵ جمعیت کل استان ۱۰.۳۴۳.۷۸۶ نفر می‌اشد که از این عده ۹.۱۹۰.۷۲۵ نفر در مناطق شهری و ۱.۱۵۳.۰۶۱ نفر در مناطق روستایی سکونت داشته‌اند. در جدول شماره (2-2) میزان جمعیت کل استان و شهرستان‌های دماوند و فیروزکوه بر حسب جنس آمده است.

## جدول ۲-۲ - میزان جمعیت استان تهران و شهرستانهای

دماوند و فیروزکوه بر حسب جنس: ۱۳۷۵

استان	مرد و زن	مرد	زن
کل استان	۱۰۳۴۳۷۸۶	۵۳۲۵۳۹۴	۵۰۱۸۳۹۲
دماوند	۶۵۲۱۹	۲۲۸۶۴	۳۱۳۵۵
فیروزکوه	۳۴۲۰۶	۱۸۲۴۷	۱۲۹۵۶

در جدول ۲-۳ میزان جمعیت استان تهران و شهرستان‌های دماوند و فیروزکوه بر حسب خانوار شهری و روستایی ذکر شده است.

### فصل سوم خلاصه عملیات و مطالعات گذشته

#### 3-1- کانی‌شناسی گروه سیلیس

واژه سیلیس نامی است همکانی برای کانی‌هایی که ترکیب شیمیایی اکسید سیلیسیم ( $\text{SiO}_2$ ) دارند. زیر پوشش این ترکیب شیمیایی، کانی‌های گوناگون با ویژگی‌های فیزیکی و تا حدودی شیمیایی گوناگون جای دارند. این کانی‌ها در شرایط مختلف زمین‌شناسی (آذرین، رسوبی و دگرگونی) پدید می‌آیند و می‌توانند بصورت متبلور و یا غیر متبلور و آبدار یا بدون آب در طبیعت یافت شوند.

#### 3-1-1- کوارتز

کوارتز معمولی یا کوارتز آلفا در سیستم تری‌گونال و کوارتز در سیستم هگزاگونال متبلور می‌شود. دارای سختی 7 و وزن مخصوص 2/5 تا 2/8 است. ناخالصی را به دشواری می‌پذیرد و اگر بپذیرد، به رنگ‌های گوناگون در می‌آید. گونه‌های خالص آن شفاف و گونه گل سرخی آن (Rose Quartz).

به سبب داشتن نیتان، قرمز یا صورتی رنگ است. آمتیست به سبب داشتن آهن سه ظرفیتی به رنگ بنفش پدیدار می‌شود. کوارتز دودی، ناخالصی زیادی ندارد و وجود ادخال‌های حبابی، رنگ شیری به آن می‌دهد. این کانی‌ها به طور معمول دارای 46/7 درصد سیلیسیم و 53/3 درصد اکسیژن می‌باشند. ناخالصی‌های موجود در این کانی بیشتر به صورا ادخال‌هایی از اکسیدهای فلزات است. در اسیدها نامحلول است و تنها اسید فلوریدریک و یا مذاب کربنات سدیم می‌تواند آن را در خود حل کند. کوارتز در طبیعت به دو صورت متبلور و نهان بلور وجود دارد. گونه دانه ریز و نهان بلور (Cryptocrystalline) آنها کلسدوئن نام دارد، که بصورت رشتہ‌ای یا دانه‌ای پیدا می‌شود. واژه کلسدوئن بطور معمول برای گونه‌های رشتہ‌ای بکار برده می‌شود که به رنگ قهوه‌ای تا خاکستری دیده می‌شوند. کلسدوئن، آگات، کارنلین، اونیکس، هیلوتروپ و کریزویراز، از گونه‌های رشتہ‌ای و فلینت و ژاسب از گونه‌های دانه‌ای آن است. این کانی‌ها بیشتر از محلول‌ها جدا شده و بصورت مواد پرکننده، حفره‌های موجود در سنگ‌ها را پر می‌کنند. کریزویراز به سبب داشتن اکسید نیکل به رنگ سبز است. گچه کوارتز در ردیفی گسترده از دما پدید می‌آید، ولی در هر ردیف دمائی، کانی کوارتز وابسته بدان، شکلی ویژه به خود می‌گیرد. این تغییرات که بیشتر در دمای بالا صورت بتصورت پیدایش سطوح بر آن است، در دماهای پایین؟ سرد معمولی به تدریج از شمار این سطوح کاسته می‌شود. این ویژگی در کانی‌شناسی، رخساره تیپومورف نام گرفته است. انواع کوارتز در طبیعت به اشکال مختلف دیده می‌شود که مهمترین آنها عبارتند از:

### درکوهی یا بلور سنگ (Rock crystal)

در کوهی، کوارتز کوهی نیز نامیده می‌شود، بی‌رنگ و شفاف است و به هر شکل و اندازه‌ای یافت می‌شود. بلورهای درشت آن در شکاف‌ها و حفره‌ها و در پگماتیت‌ها و گرانیت‌ها پیدا می‌شود.

### آمتیست (Amethyste)

رنگ بنفش آمتیست در اثر وجود ناخالصی آهن سه ظرفیتی است. کوارتز معمولی را نیز می‌توان در اثر تابش پرتوهای ونگن (X-Ray) بنفش نمود. نام فارسی آمتیست، جمست یا گمست است. این کانی درون ژئودها یافت می‌شود.

### کوارتز دودی (Smoky Quartz)

این نوع کوارتز به رنگ دودی یا سیاه قهوه‌ای سیر است که نوع سیاه آن موریول نیز نامیده می‌شود.

### سیترین (Citrine)

سیترین با رنگ زرد تا لیموئی است و به غلط به آن توپاز طلایی می‌گویند.

### رز کوارتز (Rose Quartz)

با رنگ صورتی (از روشن تا تیره) است که ناخالصی منگنز باعث رنگ آن می‌شود. بیشتر به صورت توده‌ای یافت می‌شود.

### کوارتز آبی (Blue Quartz)

با رنگ آبی تیره که گاهی به آن کوارتز سافیر نیز گفته می‌شود.

### کوارتز سبز (Prasem Quartz)

کوارتز سبز رنگ به رنگ سبز است که این رنگ به علت وجود بلورهای اکتینولیت در درون کوارتز است.

### آوانتورین (aventurine)

آوانتورین یا دلربا با رنگ سبز و یا سرخ است. این کانی در برابر نور از خود درخشش‌های ویژه‌ای نشان می‌دهد که رنگ سبز به علت میکا و رنگ قرمز به گمان، به دلیل پولک‌های هماتیت درون آن است. آوانتورین بصورت متراکم و توده‌ای تشکیل می‌شود.

### کوارتز شیری (Milkiy Quartz)

این گونه کوارتز به دلیل داشتن حباب‌های هوا یا محلول‌های گوناگون مانند کلرورسدیم و یا آب رنگ شیری دارد. این بلورها بیشتر، دارای شکل منظم بوده و از منشور هگزاگونال (Hexagonal Prism) و رومبوهدرهای (Phombohedron) اصلی تشکیل می‌شود و در رگه‌های معدنی و ماسه‌های حاصل از تخریب سنگ‌ها پیدا می‌شود.

### کوارتز الیافی یا رشتہ‌ای (Fiber Quartz) یا چشم ببری

اگر بلورهای کوارتز بصورت الیافی بوده یا (شکل دروغین) به جای کانی‌های الیافی قرار گیرد، تشکیل کوارتز الیافی را می‌دهد. گونه سبز تا خاکستری رنگ کوارتز الیافی، چشم گربه‌ای (cat's eye) و گونه قهوه‌ای و گاهی آبی آن چشم ببری نامیده می‌شود.

### 3-1-2- کوارتز بتا (β Quartz)

کوارتز بتا، دارای سیتم هگراگونال است. ویژگی‌های نمادین و رنگ این کانی همانند کوارتز معمولی می‌باشد. بورهای آن ممکن است بصورت بی پیرامیدال Bipyramidal باشد. در برخی موارد سطوح منشوری نیز در آن دیده می‌شود. در کوارتز آلفا رویش سطح منشوری زیاد است.

### تریدیمیت (Tridomite)

در سیستم اوتورومبیک پسدوهگراگونال مثبت (+) متبلور می‌شود. چون ساختمان اتمی تریدیمیت بر عکس کوارتز، باز است، پس ورود یون‌های بزرگ به درون ساختمان آن آسان است. مقداری Al می‌تواند جانشین Si شود و برای جبران کمبود ظرفیت مربوط به این جانشینی، عناصر قلائی (Na.K) و کلسیم در فضای میان شبکه کانی جای می‌گیرد. بلورهای آن بیشتر ریز و میکروسکوپی است. بطور کلی بلورهای تریدیمیت بصورت منشورهای پهن شش گوش است که از سه مزوارتورومبیک فراهم آمده است.

تریدیمیت تنها در سنگ‌های آتشفشاری اسیدی تا حد واسط دیده می‌شود. این کانی را در شماری از سنگ‌های آتشفشاری همچون ابسیدین (Obsidiane)، ریولیت‌ها (Riolitea)، تراکیت‌ها (Trachites)، داسیت‌ها (Dasites) و آندزیت‌ها (Andesites) می‌توان دید و همواره شکاف سنگ‌ها و حفرات بین کانی‌های سنگ را پر می‌کند. کانی ناپایداری است و سرانجام به کوارتز تبدیل می‌شود. در آجرهای سیلیسی مصنوعی تریدیمیت ماده تشکیل دهنده مهمی است که با کریستوبالیت، کوارتز و پسدو ولاستونیت همراه است. چون تریدیمیت هم در دماهای بالا و هم در دماهای نسبت پایین پدید می‌آید، پس وجود آن در سنگ‌ها مشخص کننده درجه حرارات معینی نمی‌باشد.

### کریستوبالیت (Cristobalite)

دارای سیستم تبلور تتراگونال پسدوکوبیک با فرمول  $\text{SiO}_2$  است. کریستوبالیت نسبت به تریدیمیت، ساختمان اتمی بازتری دارد و بنابراین عناصر زیادتری می‌توانند در فضای میان اتم‌های تشکیل دهنده آن جای گیرند. بطور معمول مقداری Al، Fe، Ca و Na در آن دیده می‌شود. Al در موقعیت تتراهدری جانشین Si می‌شود.

کریستوبالیت ماننده تریدیمیت در حفرات سنگ‌های آتشفشاری تشکیل می‌شود. همچنین گمان می‌رود که مانند کانی یاد شده پیدایش آن پس از انجماد مواد آتشفشاری انجام گرفته باشد. در تراکیت‌ها و آندزیت‌های دماوند، بلورهای تریدیمیت و کریستوبالیت گهگاه دیده می‌شود. تریدیمیت نیز مانند کریستوبالیت در گدازهای آتشفشاری پیش از دوران سوم دیده نمی‌شود، زیرا با گذشت زمان تبدیل به کوارتز می‌شود. کریستوبالیت چون در حرارت‌های گوناگون پدیدار می‌شود، بنابراین وجود آن در سنگ‌ها حرارت معینی را مشخص نمی‌کند.

## کلسدوئن (Chalcedoine)

SiO<sub>2</sub> یک محوری مثبت، کلسدوئن و انواع آن، کوارتز نهان بلور است که یا بصورت توده‌های دانه‌ای و یا انبوه‌های رشته‌ای می‌باشد. ترکیب شیمیایی آن SiO<sub>2</sub> با مقادیر گوناگون آب (حتی تا ده درصد) است. برخی از انواع رنگین آن دارای مقدار قابل ملاحظه‌ای از کانی‌های دیگر از قبیل هماتیت، گوتیت (Goethite) و گرافیت (graphite) است.

اصطلاح به کار رفته برای انواع کلسدوئن به گونه‌ای فراگیر تعریف نشده است. به طور کلی کلسدوئن به ساختمان رشته‌ای ریز ساختاری که در نمونه دستی به صورت توده‌های گرد و خوش‌انگوری است و در حفره‌ها و شکاف‌های سنگ‌ها پدید می‌آید، گفته می‌شود. رنگ کلسدوئن به واسطه ناخالصی‌ها، بسیار متغیر است و می‌تواند سفید، قهوه‌ای، قرمز، سبز تیره، سبز سبیق و غیره باشد. جلای آن شیشه‌ای تا چرب، سختی آن 7-5/6 و وزن مخصوص آن 2/64 – 2/57 است.

کلسدوئن دارای انواع کارنلیا، ساردر، آگات، عقیق جلبکی، اونیکس، کریزوپراس، پشم، فلینت، چرت و پراس می‌باشد.

## 3-1-3- اوپال (Opal)

SiO<sub>2</sub> و nH<sub>2</sub>O – بی‌شکل (Amorphous) یا نابلورین. اوپال‌سیلیس آبداری است که مقدار آب آن بسیار متغیر و از 5 تا 10 درصد تغییر می‌کند (گاه تا 20 درصد هم می‌رسد). این آب در فضاهای خالی کانی جای می‌گیرد و چنانچه آنرا گرم کنند بتدریج بیرون می‌رود و معمولاً از حجم کانی کاسته می‌شود و شکافهایی در آن هویدا می‌شود. اوپال را مدت‌هایی میدید به عنوان ماده‌ای آمورف و ژله‌ای شکل توصیف کرده‌اند. ولی اکروزه به این نتیجه رسیده‌اندکه از شبه کره‌های بسیار ریز میکروسکوپی تشکیل شده که دارای ذراتی از تربیمیت یا کریستوبالیت نامنظم یا هر دو آنها است. غالباً ساختمان خوش‌انگوری، قلوه‌ای، استلاکتیتی و غیره دارد. درون آن لکه‌هایی از کلسدوئن رشته‌ای شکل دیده می‌شود. در بسیاری از سنگ‌های اوپالی پوسته‌های میکروسکوپی رادیولارها (radiolars)، دیاتومه‌ها (Diatomes) و سوزن‌های اسفنجها دیده می‌شود. رنگ اوپال بسیار متغیر است و معمولاً بی‌رنگ، سفید با رنگ‌های پریده زرد، قرمز یا قهوه‌ای است. رنگ‌های طیفی داخلی مشخص اوپال‌های قیمتی است و گمان می‌رود که در اثر پدیده انحراف نور در وابستگی با سطوح ریز داخلی کانی، پدید می‌آید. از انواع اوپال‌های قیمتی می‌توان اوپال سیاه (Black opah) و اوپال آتشین (Opal Fire) را نام برد. اوپال سیاه بیشتر پرتوهایی با طول موج کوتاه (بنفش، آبی، سبز) و اوپال آتشین پرتوهایی با طول موج بلند (قرمز، نارنجی و زرد) را نشان می‌دهد. جلای اوپال شیشه‌ای تا چرب و شکستگی آن صدفی

است. اوپال اصولاً ناپایدار است و به کلسوئن تبدیل می‌شود و از همین رو است که در سازندهای قدیمیتر از ترسیری یافت نمی‌شوند.

اوپال دارای انواع اوپال معمولی، اوپال اصیل، اوپال آتشینی، اوپال چوبی، هیپالیت، تریپولیت و جیسربیت می‌باشد.

### 2-3- ویژگی‌های زمین‌شناسی سیلیس

کانی‌های گروه سیلیس پس از فلدسپات‌ها (Feldspars) فراوان‌ترین کانی موجود در پوسته جامد زمین است. کوارتز یا به عنوان کانی اصلی سنگ‌ها یا به عنوان کانی‌های همراه در بسیاری از سنگ‌های آذرین، دگرگونی و رسوبی یافت می‌شود. اندازه دانه‌های کوارتز بر حسب بافت سنگ متغیر است. گاهی در سنگ‌های پگماتیتی طول بلور‌های کوارتز به بیش از یک متر می‌رسد. (یک بلور کوارتز در یک پگماتیت در هندستان یافت شده که طول بلور آن به ۱۷ متر می‌رسد) و گاهی به سبب ریز بودن در سنگ‌های ریولیتی (Rhyolitic Rock) با آسانی قابل تشخیص نیست.

در طبیعت، سیلیس به فراوانی یافت می‌شود و گاهی ذخایر سیلیس به درجه خلوص ۹۹ درصد می‌رسد که این درجه خلوص ر مقابله با کا ذیایر سیلیس کمیاب است. منابع سیلیس به شیوه‌های گوناگون دسته‌بندی می‌شوند که یکی از آنها دسته‌بندی بر پایه خاستگاه و چگونگی پیدایش آنهاست.

### 1-2-3- کانسارهای سیلیس رسوبی یا کوارتز آرنیت‌ها (Quartz Arenites)

چنانچه عناصر تشکیل دهنده ماسه‌سنگ و سیمان بین آنها سیلیس باشد، می‌تواند به عنوان ذخایر سیلیس مورد بهره‌برداری قرار گیرد. ماسه سنگ‌های سیلیسی خالص، معمولی‌ترین منبع سیلیس در تأمین سیلیس مورد نیاز کارخانجات تولید پودر سیلیس و یا کارخانجات شیشه و غیره می‌باشد. ماسه سنگ‌های قابل بهره‌برداری بیشتر، به صورت عدسی‌ها و لایه‌های رسوبی در میان لایه‌های سازندهای مختلف زمین‌شناسی جای گرفته‌اند. این ماسه سنگ‌ها عموماً رنگ سفید دارند و بیشتر یکنواختی ترکیب در ضخامت لایه و حتی در راستای لایه‌های ندارند. از همین رو برای بهره‌برداری از لایه‌های ماسه‌سنگی، باید مطالعات دقیق اکتشافی بر روی آنها انجام گیرد.

کنگلومراهای سیلیسی از دیگر واحدهای رسوبی‌اند که می‌توانند به عنوان انباشته‌هایی از مواد سیلیسی به کار گرفته شوند. این رخسارهای رسوبی، بطور معمول از قلوه‌های ریز و درشت کوارتز که بوسیله یک خمیره سیلیسی به هم متصل شده‌اند، پدید می‌آیند.

### 2-3- کانسارهای آذرین

در فاز پایانی تبلور ماقماهای گرانیتی - تونالیتی باقیمانده این ماقماها به صورت محلول‌های آبکی سرشار از سیلیس سبب پیدایش رگه‌های سیلیسی می‌شوند. محلول‌های تفریق شده، افزون بر اینکه در درزهای و شکافهای سنگ‌های آذرین نفوذ می‌کنند، در نقاط سست (درزهای شکستگی‌ها و لایه‌بندی‌ها) سنگ‌های مجاور خود نیز نفوذ می‌کنند و رگه‌های سیلیسی را پدید می‌آورند. ستبرای این رگه‌ها ممکن است از جندین سانتیمتر تا چندین ده متر تغییر کند.

### 3-2-3- کانسارهای دگرگونی

این گونه انباشته‌ها از دو را تشکیل می‌شوند یا از دگرگون شدن واحدهای ماسه‌سنگی پدید می‌آیند که در این حالت لایه‌های کوارتزیتی را پدید می‌آورند یا آنکه واحدهای رسوبی در درجات متوسط یا بالا دگرگون می‌شوند و در نتیجه فرآیندهای دگرگونی مقدار قابل توجهی از سیلیس‌های موجود در ترکیب شیمیایی و کانی‌شناسی سنگ‌ها، آزاد و بصورت رگه‌ها و عدسی‌های نازک یا ستبر در میان رخسارهای دگرگونی دیده می‌شوند.

### 3-2-4- کانسارهای پگماتیتی (Pegmatitic Ores)

این کانسارها به طور معمول رگه‌ای شکل می‌باشند و در ارتباط با توده‌های اسیدی پگماتیتی یافت می‌شوند. این نوع کوارتز‌ها بطور معمول بسیار خالص بوده و مناسب فرآوری چینی‌اند و حتی در مواردی که فرآیند لازم بر روی آن انجام شود، برای تهیه شیشه‌های مخصوص نیز به کار می‌روند.

### 3-2-5- کانسارهای هیدروترمال (Hydrothermal Ores)

این کانسارها همیشه رگه‌ای شکل بوده و در ارتباط با توده‌های گرانیتی می‌باشند. خلوص این رگه‌های کوارتز بسیار گوناگون است. هر چند که در آنها کوارتز بسیار خالص یا کوارتز با کیفیت بالا ممکن است پیدا شود، ولی این نوع کوارتز‌ها دارای سیال‌های دربرگیرنده (Inclusions) مایع و گازند و نمی‌توانند در فرآوری شیشه شفاف بکار برده شوند. اگر رگه‌های کوارتز هیدروترمال همراه با سنگ‌های همبر و فراگیر خود تحت پدیده‌های دگرگونی روند، به طوری که انکلوزیون‌های گاز و مایع از آن بیرون رود، شرایط استفاده از آن در فرآوری شیشه شفاف، به شرط تغليظ شیمیایی، فراهم خواهد شد.

### 3-2-6- کانسارهای سیلیس از خاستگاه دگرسانی

سیلیس، بالاترین ناحیه (Upper zone) را پدید می‌آورد و فرآورده‌های دگرسانی (Alteration) مثل آلونیت و کائولینیت (Kaolinite) ناحیه‌های زیرین را تشکیل می‌دهند. انباشته‌های سیلیسی از نوع یاد

شده، در بالای زون‌های دگرسانی می‌تواند از خلوص بسیار بالا برخوردار بوده و قابل بهربرداری باشند. این انباشته‌ها، بطور معمول، از ذخیره بالایی برخوردار نیستند.

### 3-2-3- ذخایر پلاسر (Plaser deposits)

قلوه‌ها و ماسه‌های کوارتزی موجود در مسیر رودخانه‌ها و سواحل دریا با بصورت تپه‌های ماسه بادی و یا انباشتگی ماسه‌ای پای کوه‌های گرانیتی که از فرسایش گرانیت‌ها به پای کوه حمل شده و در آنجا انباشته شده‌اند، چنانچه خلوص کافی داشته باشند ممکن است بصورت انباشته‌های سیلیس در صنایع مورد استفاده داشته باشند. بطور معمول این گونه از ماسه‌ها خلوص کافی برای کاربرد در صنایع شیشه را ندارند و ممکن است در صنایع تولید آجر ماسه آهکی مورد بهربرداری قرار گیرند. ولی ذخایر ماسه‌های سیلیسی دامنه کوه‌های گرانیتی در برخی از مناطق دارای خلوص کافی بوده و یا می‌توان با انجام روش‌های مختلف تغذیط (Dressing) آنرا قابل بهربرداری برای کاربرد در صنایع شیشه یا صنایع دیگر نمود.

### 3-3- اصول پیجوبی و اکتشاف ذخایر سیلیس

با توجه به ویژگی‌های زمین‌شناسی و تیپ‌های گوناگون آن مکان‌ها و محیط‌هایی که احتمال وجود رگه‌ها، لایه، افق‌ها و توده‌های سیلیسی هست، تقریباً مشخص است. از آنجا که انباشته‌های کوچک آن به ویژه در ابعاد کوچک اقتصادی نیست و توده‌های کوچک پراکنده آن در محیطی گستردگی دلیل الودگی به دیواره با ناخالصی فراوان همراه است، بنابراین مناسبترین راه پیجوبی آن دنبال کردن افق‌های سیلیسی شناخته شده نظیر ماسه‌سنگ لالون و ماسه سنگ گروه گرشک است. در پیجوبی درون پگماتیت‌ها و یا هر انباشته دیگر مشاهده واریزه‌های آن در آبرفت‌ها بسیار آسان خواهد بود.

## فصل چهارم

### زمین‌شناسی عمومی ناحیه و منطقه مورد مطالعه

### 4-1- شرح زمین‌شناسی عمومی ناحیه

کوه‌های البرز، در شمال ایران و جنوب دریاچه خزر، رشته شرقی - غربی نسبتاً پیچ و خمداری را تشکیل می‌دهد. سلسله جبال البرز خود جزوی از قسمت شمالی کوه‌زایی آلپ - هیمالیا در آسیای غربی به شمار می‌رود و از شمال به بلوك فرورفته کاسپین و از جنوب به فلات ایران مرکزی محدود می‌شود. روند ساختمانی کوه‌های بخش غربی البرز، شمال‌غرب - جنوب‌شرق و تا اندازه‌ای با نوار شمالی زاگرس چین‌خورده و با امتداد ساختمانی قفقاز کوچک و بزرگ همجهت است، در حالی که

روندهای ساختمانی بخش شرقی کوههای البرز تقریباً شمال شرقی – جنوب غربی بوده و با امتداد گسل بزرگ کویر (یا گسل درونه) موازی است (بربریان 1976، نوگل 1978). گانسر (1962) معتقد است که جبال البرز در شرق از طریق هندوکش به جبال پامیر متصل می‌شود، ولی امتداد غربی و شمال غربی البرز با ابهام توأم است. اگرچه مجموعه البرز از آذربایجان تا خراسان ادامه می‌یابد، ولی از نظر چینهشناسی و تکتونیک اختصاصات یکنواخت نداشته و به همین دلیل به واحدهای مختلف زیر تقسیم شده است :

الف – کپه داغ و البرز شرقی شامل :

- زون کپه داغ
- زون بینالود

ب – البرز مرکزی شامل :

- زون گرگان – رشت
- البرز مرکزی و غربی

ج – البرز غربی و آذربایجان

ساختمان البرز نتیجه دو کوهزایی مهم است : یکی کوهزایی پرکامبرین، و دیگری کوهزایی آلپی مربوط به دوران مزوژوئیک و سنوزوئیک، چین خورده‌گی پرکامبرین در البرز، سخت شدن و به هم پیوستگی پی‌سنگ‌ها را به دنبال داشته است.

اولین حرکات واقعی که منجر به چین خورده‌گی البرز شد، در ماستریشتنین پایانی و پالئوسن اتفاق افتاد (فاز لارامید) و در اثر آن، محدوده فرورفتگی کاسپین در شمال به خشکی مبدل شده و موجب تشکیل جبال البرز در اوایل دوران سنوزوئیک گردید. دومین فاز کوهزایی در اوایل تا اواسط الگوسن اتفاق افتاده است (فاز پیرنه). این حرکات موجب بیشتر شدن و فرسایش بعدی قسمت مرکزی کمربند البرز شد. آخرین حرکات کوهزایی مهم در البرز در اوخر پلیوسن یا اوایل پلیستوسن اتفاق افتاده است (فاز پاسادنین). پی‌آمد این حرکات گسل خورده‌گی‌ها، رورندگی‌های ملایم و مرتفع شدن البرز بوده است (خسرو تهرانی 1364).

به کمک چند زون گسلی بزرگ که تقریباً با روندکلی ساختمان البرز موازی‌اند، البرز را به چند زون ساختمانی تقسیم کرده‌اند (اشتوکلین 1974؛ بربریان 1974؛ چالنکو و دیگران 1974 و دلنباخ 1964)، بر اساس طرح پیشنهادی اشتوكلین (1974)، کوههای البرز از شمال به جنوب، به 6 زون ساختمانی و به شرح زیر تقسیم‌بندی شده است :

زون بالا آمده گرگان – زونی متشكل از سنگ‌های متبلور پی‌سنگ بوده و اغلب توسط رسوبات کضخامت دوران مزوژوئیک (300 تا 500 متر) پوشیده شده است.

**زون نئوژن شمالی** - شامل کمربند چین‌خوردهای از سنگ‌های دوران مزوژوئیک و به ویژه نئوژن بوده که توسط رخسارهای مولاس دنبال می‌شود. این زون با یک راندگی در قسمت جنوبی خود از زون شمالی - مرکزی جدا می‌شود.

**زون شمالی - مرکزی** - این زون با رسوبات کم عمق که تقریباً از اینفراکامبرین تا کرتاسه بالایی ادامه دارد، مشخص می‌شود. ضمناً دوره‌های کوتاه فعالیت ولکانیکی و تغییر شکل‌های ساختمانی در دوران سنوزوئیک از مشخصات دیگر آن است.

**زون جنوبی - مرکزی** - در این زون رسوبات کم عمق متعلق به قبل از دوران سنوزوئیک به صورتی که در زون شمالی - مرکزی وجود دارد، توسط ولکانیک‌های بسیار ضخیم دوران سنوزوئیک به ویژه ائوسن پوشیده شده است. روراندگی مهم بعد از ائوسن در این زون مشاهده می‌شود.

**زون ترسیری جنوبی** - دارای ولکانیک‌های بسیار ضخیم ائوسن و رسوبات خشکی نئوژن است و با روراندگی ملایم به سمت جنوب مشخص می‌شود.

**زون بالا آمده جبهه جنوبی** - دارای رسوبات کم عمق و سنگ‌های ولکانیک بوده، مراحل چین‌خوردگی از کرتاسه آغازی به بعد و گسل‌خوردگی‌های عادی و معکوس در آن مشهود است. دو فاز چین‌خوردگی در رسوبات کرتاسه این زون مشخص شده است و چون این فازها بقیه البرز را تحت تأثیر قرار نداده ولي در قسمت‌هایی از ایران مرکزی قابل تشخیص‌اند، لذا این زون از تقسیمات البرز را علوی و فلاندرن (1970)، قسمتی از ناحیه چین‌خوردۀ ایران مرکزی در نظر گرفته‌ند.

#### 4-2- پرکامبرین در البرز

##### 4-2-1- شیست‌های گرگان

وجود شیست‌های دگرگونی در البرز شرقی، اولین بار بوسیله تیتزه (Titze) در سال 1877، در حوالي گرگان گزارش شد. در همین منطقه گانسر در سال 1951، با ارائه مقطعی نشان داد که ضخامت شیست‌های مذکور در حدود 2000 متر، از فیلیت و شیست‌های سریسیت - کلریتدار تشکیل شده و در بخش فوقانی آن کوارتزیت وجود دارد. نامبرده این مجموعه را شیست‌های دگرگونی نامید. اگرچه در برخی نوشته‌ها، سن شیست‌های گرگان را به حرکات کالدونین نسبت داده‌اند (نبوی، 1355)، ولی ژنی 1977 با ذکر دلایل شیست‌های گرگان را به پرکامبرین نسبت می‌دهد.

##### 4-3- اینفراکامبرین (ائو کامبرین)

طبق نوشته پروو (Pruvost)، رسوباتی اینفراکامبرین نامیده می‌شود که به طور همشیب در زیر رسوبات کامبرین و به طور دگرشیب بر روی پی‌سنگ دگرگونی قرار داشته باشد. این نام تقریباً معادل

پرترزوژوئیک فوقانی، یعنی سینین (Sinin)، ریفنهن (Riphean)، بلتین (beltin) و ائوکامبرین است که توسط محققان مختلف به کار برده شده است.

- سازند بایندر : نام این سازند از کوه بایندر و روستای بایندر، در منطقه سلطانبه جنوب شرقی زنجان (سر راه زنجان به بیجار) گرفته شده است. مقطع نمونه آن در دامنه غربی کوه بایندر، واقع در شمال دهکده دوران قرار دارد. ضخامت این سازند در مقطع نمونه 498 متر است (اشتوکلین و دیگران، 1964) و از نظر لیتولوژی شامل ماسه سنگ ارغوانی تیره و شیل‌های میکادار و سیلتی تا شیل‌های ماسه‌ای دانه ریز است که در آن دولومیت، به صورت بین لایه‌ای قرار گرفته است.

این دولومیت‌ها به طور کلی آهن‌دار و نبلور مجدد یافته‌ای به رنگ قهوه‌ای مایل به کرم و در آن نودول‌هایی از چرت به رنگ کرم تا بنفش دیده می‌شود. در بخش تحتانی مقطع، شیل‌ها، بیشتر سبز رنگ‌اند.

سازند بایندر با یک سطح هوازده و فرسایشی روی گرانیت دوران قرار می‌گیرد (در محل کنتاکت ضخامتی تا حدود 2 تا 3 متر از گرانیت هوازده به صورت رس‌های قاره‌ای کوارتزدار دیده می‌شود) و خود به طور هم شبی و به وسیله سازند سلطانیه پوشیده می‌شود. تنها آثار فسیل در این سازند جلبک‌های استروماتولیت و آرکئوسیاتید است.

سن این سازند، اینفراکامبرین تشخیص داده شده است. از نظر جغرافیایی، این سازند قسمت‌های مهمی از کوه‌های سلطانیه را در بر دارد و گسترش آن از شمال غرب تا جنوب آذربایجان دیده شده است، ولی به طرف مشرق - در حدود کوه‌های سلطانیه، نازک می‌شود و از بین می‌رود، اما دوباره در البرز مرکزی ظاهر می‌شود و تا منطقه فیروزکوه توسعه دارد. در مشرق فیروزکوه، ناگهان از ضخامتش کاسته و محوا می‌شود. هنگامی که سازند بایندر فیروزکوه را به طرف مغرب دنبال کنیم، تناوب شیل، ماسه سنگی و دولومیتی این سازند از طرف جانبی رفتہ رفتہ به دولومیت‌های سلطانیه تغییر جنس می‌دهد. از این نظر در انتساب این سازند به بایندر، تردیدهایی وجود دارد. در مقاطع دیگر، غیر از مقطع نمونه، سازند بایندر مستقیماً روی گرانیت معادل دوران قرار نداشته، بلکه با سیلت‌های سز رنگ سازند کهر در تماس است که این تماس به صورت نبود رسوبی (Hiatus) بوده و با تغییر رنگ شدید همراه است. در گشیبی مشخص بین سازند بایندر و سازند کهر، فقط در قره‌داغ (جنوب شرقی کوه‌های سلطانیه) مشاهده می‌شود. سازند بایندر در زاگرس، ایران مرکزی و شرقی دیده نشده است. قاعده سازند بایندر در مقطع نمونه به عنوان مرز بین اینفراکامبرین و پی‌سنگ پرکامبرین انتخاب شده است (اشتوکلین 1972).

- سازند سلطانیه : مقطع نمونه این سازند که به آن دولومیت سلطانیه هم گفته می‌شود، در کوههای شرق دهکده چپلو در جنوب شرقی سلطانیه انتخاب شده است. ضخامت مقطع نمونه 1160 متر و شامل سه بخش است (اشتوکلین و دیگران، 1964) :

الف - بخش دولومیت زیرین، به ضخامت 123 متر شامل دولومیت‌هایی با لایه‌بندی منظم و زرد رنگ، تبلور یافته و با چرت‌های فراوان سیاه و سفید که گاهی نوارهای آن بیش از 50 سانتی‌متر ضخامت دارد.

ب - بخش شیل چپلو، به ضخامت 247 متر به رنگ قرمز که از شیل‌های سیلیسی - رسی و سلیتی میکاردار تشکیل یافته که رنگ آنها گاهی تا خاکستری متغیر است. این بخش، از لحاظ رنگ و مورفولوژی لایه کلید بسیار مشخصی را تشکیل می‌دهد که در شناسایی این سازند حتی از مسافت دور مؤثر است. گاهی لایه‌هایی از آهک یا آهک سیلیسی نودولدار، یا قهوه‌ای به رنگ آبی - تیره، به صورت ورقه‌های نازک در آن ظاهر می‌شوند. به علاوه لایه‌هایی از شیل‌های آهکی جابه‌جا در آن دیده می‌شود. این آهک‌ها گاهی در بخش‌های بالایی همین قسمت بر شیل‌ها غالبه دارد، به نحوی که به صورت طبقات منظم آهکی نمایان می‌شوند.

ج - بخش دولومیت فوقانی، به ضخامت 790 متر که شامل دولومیت‌های زرد رنگ تجدید تبلور یافته، گاهی خاکستری روشن با لایه‌بندی واضح که در آن، قلوه‌ها و نوارهایی از چرت سیاه هم دیده می‌شود. کنکات زیرین آن هم به طور هم شبیب روی سازند بایندر بوده و کنکات فوقانی آن با سازند باروت حالت تدریجی دارد. به نحوی که در دولومیت‌های فوقانی سلطانیه رفته رفته لایه‌های نازک شیل ارگوانی پیدا می‌شود و به طرف بالا به تناوب منظمی از شیل و دولومیت و سپس شیل و آهک تبدیل می‌شود. از فسیل‌های موجود در دولومیت‌ها و آهک‌های دولومیتی نوع سلطانیه، آثار جلبک‌های استروماتولیت (جنس کولنیا (*Collenia*)) که اولین بار از افق آهکی کولنیادار البرز مرکزی گزارش دشه است. (میر meyer، 1967). به علاوه، رشته‌های لوله‌ای شکل از منشاء ارگانیک نیز در این افق چینه‌شناسی مشاهده شده که به اسفنج‌های هیولیتید (hydithid) نسبت داده شده، از کیسه‌های تنان ابتدایی جنس بی‌کونولیتس (Biconulites) قابل ذکر است (آسرتو، 1966). شیل‌های چپلو که از کوههای سلطانیه تا البرز مرکزی گسترش دارند، حاوی قدیمترین آثار فسیلی در شمال ایران است (از آن جمله فوکوئید Focoids، فرموریا Feromoria، کواریا Chuaria). کلیه این فسیل‌ها، سن دولومیت‌های سلطانیه را به اینفراکامیرین بالایی نسبت می‌دهد.

- سازند باروت : نام آن از دهکده باروت آقاجی، واقع در شمال غرب کوههای سلطانیه، در 17 کیلومتری جنوب غرب زنجان گرفته شده است. مقطع نمونه بر روی دامنه تپه‌های شمال غرب روستا انتخاب شده است (اشتوکلین و دیگران، 1964). ضخامت آن 714 متر و از نظر لیتولوژی شامل شیل‌های رسی - سیلتی و ماسه‌ای دانه‌ریز و به شدت میکاردار با رنگ ارگوانی است که در شیل‌ها،

اینترکالاسیون‌های متعدد دولومیتی و آهکی به رنگ خاکستری تا زرد دیده می‌شود که ضخامت آنها از 50 سانتیمتر تا حداقل 30 متر در تغییر است. به علاوه، ندول‌های زیاد و لایه‌های چرت به ضخامت میلیمتر تا سانتیمتر فراوان دارد. آهک‌ها و شیل‌های آهکی در بخش‌های زیرین فراوان‌ترند، ولی در رأس آن توالي دولومیت‌های زیادتر است که در برخی نقاط مقداری اندیزیت در ترکیب دولومیت‌های رأسی وارد می‌شود. همانطور که قبلاً اشاره شد، کن tact آن با سازند سلطانیه به طور هم‌شیب و تدریجی است و در زیر شیل‌های زاگون به طور همشیب قرار دارد. از نظر دیرینه‌شناسی، در آن فسیل‌های استروماتولیت، به ویژه جنس کولنیا و کیسه تنان ابتدایی یافت شده است که به علت وجود همین فسیل‌ها و موقعیت چینه‌شناسی، سن این سازند را اینفراکامبرین معرفی می‌کند.

از نظر گسترش جغرافیایی، سازند باروت در پنهان وسیعی از البرز مرکزی و زاگرس مرتفع بیرون‌زدگی داشته و اگرچه از لحاظ لیتوژئی تا اندازه‌ای شماهی هم است، ولی ضخامت آن از جایی به جای دیگر متفاوت است. به نوشته شمیرانی (1365)، درجهت جانبی، بین بخش زیرین سازند باروت و بخش بالایی دولومیت سلطانیه و بخش بالایی باروت با بخش پایین زاگون، حالت تداخل بین انگشتی وجود دارد.

**سازند زاگون :** نام آن از دهکده و دره زاگون در البرز مرکزی، در بستر علیایی دره جاجرود در شمال فشم گرفته شده است (آسرتو، 1963). مقطع نمونه آن 600 متر ضخامت داشته و در غرب روستای زاگون بر سر جاده فشم به گرمابدرا واقع است. از نظر لیتوژئی، شیل‌های سیلتی تا ماسه‌ای ریزدانه، ماسه‌سنگ‌های دانه ریز میکدار به رنگ قرمز تیره و در قاعده آن رنگ‌های متنوع بنفس، سبز، ارغوانی، خاکستری و غیره دیده می‌شود. در طبقات دانه درشتتر آن چینه‌بندی متقاطع زیاد به چشم می‌خورد. چنان که گفته شد، کن tact زیرین آن با سازند باروت همشیب و بر سطح چینه‌بندی آخرين لایه‌های دولومیتی قرار دارد که ظاهراً حالت پیوستگی رسوبی در آن دیده می‌شود. کن tact بالایی با ماسه‌سنگ‌های لالون نیز تدریجی و همراه با پیوستگی رسوبی است و اولین لایه‌های ماسه سنگی دانه درشت فلدسپاتدار، آغاز سازند لالون است، ولی به عقیده اشتوكلين و دیگران (1965)، در کوه‌های سلطانیه، کن tact آن بر روی ماسه سنگ‌های لالون ناگهانی، حتی احتمالاً از نوع ناپیوستگی همشیب است. همچندنوع فسیل در این سازند دیده نشده است و فقط بر اساس موقعیت چینه‌شناسی، سن آن را اینفراکامبرین انتهایی تعیین کرده‌اند و برخی نیز آن را کامبرین آغازی می‌دانند.

از نظر گسترش جغرافیایی، سازند زاگون در قسمت‌های مهمی از شمال غرب، شمال و مرکز و مشرق ایران گسترش دارد که در همه جا همراه با ماسه‌سنگ‌های لالون است. در شمال گلپایگان، رخساره سازند زاگون به طور متقابله با ماسه سنگ لالون قرار دارد که از هم‌دیگر قابل تشخیص نیست. بدین لحاظ به نام سازند زاگون – لالون از آن پاد شده است. (تیله و دیگران، 1968). شاید به

همین دلیل است که برخی از زمین‌شناسان ایرانی در سال‌های اخیر، سازند زاگون را جزئی از سازند لالون محسوب می‌دارند.

#### 4-3-2- دگرگونی اینفراکامبرین پسین

حقی‌پور (1981) عقیده دارد که گرانیت‌های ساب ولکانیک زریگان و سنگ‌های آتشفشاری پرکامبرین پسین (اینفراکامبرین) تحت تأثیر دگرگونی استاتیک ناحیه‌ای با اختصاصات متاسوماتیک قرار گرفته است. به نظر نامبرده، عملکرد این فاز، احتمالاً قبل از تهشینی ماسه‌سنگ لالون بوده و موجب متاسوماتیسم سدیم شدیدی در منطقه شده است. شدت تأثیر آن بیشتر در شکستگی‌های شمالی – جنوبی قدیمی منطقه دیده می‌شود که موجب آلبیتی شدن، اسکاپولیتی شدن، سرپانتنی شدن و حتی کانی‌زایی برخی از نهشته‌های آهن‌ش شده است.

#### 4-4- محیط رسوبی پرکامبرین

بنا به نوشه حقی‌پور (1974) منشاء قدیمترین تشکیلات پرکامبرین شناخته شده ایران یعنی مجموعه چاپدونی، رسوبات تخریبی دانهرشتی (گریواک دانهرشت و آرکوز) است که سنگ‌های والد آنها از نظر ترکیب تا اندازه‌ای مشابه سنگ‌های آذرین اسید تا حد واسطه است. رسوبات تخریبی مذکور در یک حوضه فرونشینی کم عمق تهشین شده که در آن فعالیت‌های آتشفشاری (با گدازه‌های حد واسط) نیز برقرار بوده است و نهشته‌هایی از سنگ‌های آتشفشاری تخریبی در این حوضه به جا گذاشته است.

از نظر لیتواستراتیگرافی، منشاء سنگ‌های مجموعه پرکامبرین میانی (مثلاً مجموعه بنه شورو) هم از نوع گریواک‌ها و آرکوز دانهریز است که به طور متناوب با سنگ‌های آتشفشاری (با ترکیب حد واسط تا بازیک) و آتشفشاری تخریبی قرار داشته و در آن تناوبی از رسوبات پلیتی هم دیده می‌شود. سنگ‌های مذکور نیز در یک حوضه کم عمق در حال فرونشینی تهشین می‌شده و در آن به ویژه در قسمت‌های فوقانی، لایه‌هایی از افق کربناته هم وجود داشته است.

وجود افق‌هایی از مرمر آهکی، به خصوص دولومیتی و گریواک‌های دگرگون شده همراه با سنگ‌های آذرین خروجی که خود نیز دگرگونی یافته‌اند، تماماً حاکی از آن است که این سنگ‌ها عموماً در یک محیط کم عمق دریایی تهشین شده و گهگاه نوساناتی در سطح آب دریا وجود داشته است.

با توجه به تغییرات لیتوژئوگرافی رسوبات سازندهای جدید (تاشک زیرین با گریواک‌های دانهریزتر و گاهی پلیتی و تاشک فوقانی بیشتر از رسوبات پلیتی ساخته شده است) که بر روی مجموعه‌های بنه شورو تهشین شده‌اند به نظر می‌رسد که محیط رسوبی پرکامبرین، فرونشینی شدیدی متحمل شده است. حقی‌پور (1974)، بر اساس ضخامت زیاد و جنس نسبتاً یکنواخت رسوبات سری تاشک، تشکیل آن را به محیط ژئوسنکلینالی مرتبط می‌داند. به عقیده وی، در حد بین مجموعه بنه شورو و سازند تاشک، نه

دگرشیبی زاویده دیده می‌شود و نه وقفه‌ای در دگرگونی در حد بالا و پایین این حد و مرز، فاز حرارت بالا، فشار زیاد) همراه با تغییر شکل دیده می‌شود. در بالای حد مذبور، یعنی روی لایه کلید – مرمر دولومیتی – مواد آتشفشاری و آتشفشاری – تخریبی و سنگ‌های کنگلومارای وجود دارد که محتملاً نشانه‌ای از یک فرسایش و یک وقفه لیتولوژیکی در قاعده سازند تاشک، یعنی قبل از پیدایش رخساره‌های عمیق است. با توضیحات فوق، این حد، در داخل تشکیلات پرکامبرین، نشانه‌ای از حرکات بدون چین‌خوردگی قابل توجه است که حقیقت بور به آن فاز تاشکین گفته است.

#### 4-5- پالئوزوئیک زیرین

##### 4-5-1- کامبرین زیرین

- سازند لالون : مقطع تیپ سازند لالون در البرز مرکزی به وسیله آسرتو (1963) معرفی شد. ضخامت آن 582 متر و اساساً شامل :

- ماسه‌سنگ آركوزی قرمز تا گلیرنگ به ضخامت 497 متر.
- شیل‌ها و ماسه‌سنگ‌های قرمز بین لایه‌ای به ضخامت 35 متر.
- بخش فوقانی کوارتزیت سفید به ضخامت 50 متر که به آن تاپ کوارتزیت می‌گویند و به عنوان لایه کلید در تشخیص سازند لالون مفید است. در این مورد، به تدریج از قاعده به قله، از میزان فلدسپات‌ها کاسته و بر میزان کوارتز افزوده می‌شود. تنها فسیلی که در سازند لالون یافت شده از شیل‌های زیر تاپ کوارتزیت در ساحل خلیج فارس به دست آمده که به گونه‌ای از تریلوبیت ردلیشیا تعلق دارد و مشخص کامبرین زیرین است (اشتوکلین، 1972).

#### 4-5-2- کامبرین میانی و فوقانی – اردوبیسین آغازی

- سازندمیلا : این سازند بواسیله اشتوكلین و دیگران (1964) در ناحیه دامغان (میلا کوه) مشخص شد. ضخامت آن 585 متر بوده، ولی از نظر لیتولوژی بسیار متفاوت است و از این نظر، مقطع نمونه آن به 5 ممبر (بخش) تقسیم‌بندی شده است.

سازند میلا به طور هم سیب بر روی تاپ کوارتزیت سازند لالون (ولی با گستاخی لیتولوژی) قرار دارد و خود نیز به صورت نایپوستگی هم شیب در زیر رسوبات پیش رونده دریایی دونین فوقانی پوشیده شده است. سن آن برای بخش 2 و 3 و 4 و 5 بر اساس فسیل‌های تریلوبیت، برآکیپود و مرجان، کامبرین میانی تا اردوبیسین تعیین شده ولی بخش یک آن تعیین سن نشده است (اشتمامپلی 1978).

#### 4-6- پالئوروزوئیک فوقانی

##### 4-6-1- دونین – کربنیفر

- **سازند جاجرود** : در البرز مرکزی، دونین فوچانی با سازند جیروود معرفی شده که آن را معادل خوش بیلاق می‌دانند. سازند جیروود بر روی سازند میلا قرار می‌گیرد و خود به وسیله روانه‌های بارانی پوشیده می‌شود که احتمالاً همین روانه‌ها پایان دونین و حد بین دونین و کربونیفر است.

در البرز مرکزی، رسوبات اواخر دونین با سازند جیروود (آسرتو، 1963 و اسرتو و گتانی، 1964) مشخص شده است که نام آن از دهکده جیروود، واقع در بالای دره جاجرود گرفته شده است. این سازند از نظر لیتولوژی به چهار بخش D,C,B,A تقسیم شده است، که تنها قسمتی از بخش A آن (واحد 1 و 2 و 3) به دونین فوچانی تعلق دارد.

در بخش A لایه‌های ماسه سنگ، شیل، آهک‌های ماسه‌اس فسیل‌دار و لایه‌هایی از فسفات که خود در زیر لایه‌های ماسه سنگی و شیلی با آثار گیاهی قرار دارد. روی سنگ‌های فوق‌ذکر، 150 متر گدازه بازالتی فرسوده (ملافیر) وجود دارد. بر روی بازالت‌های مزبور، ابتدا کنگلومرا و سپس کاسه سنگ و بعد آهک‌های ماسه‌ای پر فسیل دیده می‌شود. در مقطع اصلی، رسوبات جیروود، به طور دگرسیب بر روی سازند کامبرین میلا قرار دارد. بنا به پیشنهاد اشتولکلین (1972)، سازند جیروود را باید تنها به بخش A آن محدود دانست.

رسوباتی مشابه با بخش A سازند مذکور، در بسیاری از نقاط البرز تا جاده فیروزکوه به طرف مشرق (اشتیگ، 1966) دیده می‌شود که در آن سازند جیروود مستقیماً ب روی تاپ کوارتزیت سازند میلا قرار می‌گیرد. در منطقه دامغان نیز رسوبات جیروود تا اندازه‌های مشابه به بخش A مقطع اصلی در البرز مرکزی است. در منطقه علم کوه نیز وجود ضخامت قابل توجهی از بازالت ب روی دونین زیرین گزارش شده است.

- **سازند مبارک** : سازند مبارک را آهک مبارک هم می‌گویند، نام آن از روستای مبارک آباد، سر راه تهران به آبعلی، در شرق تهران - البرز مرکزی و به وسیله آسرتو در سال 1963 تعریف شده است. این سازند شامل 450 متر آهک سیاه رنگ فسیل‌داری است که در بخش‌های زیرین آن مارن هم وجود دارد. سطح زیرین آن با دگرشیبی فرسایشی ب روی بخش A سازند جیروود قرار دارد و سازند آهک - مارنی نسن پرمین هم با دگرشیبی زاویهدار آن را می‌پوشاند. در سایر مناطق آهک یا دولومیت تریاس به طور دگرشیب آن را می‌پوشاند.

به نظر می‌رسد که سازند مبارک با توجه به رخساره ثابتی که در سرتاسر البرز دارد با شرایط یکنواختی طی کربونیفر زیرین ته نشین شده است. مطالعات رسوب‌شناسی حاکی از آن است که این سازند، در محیطی که آب ساکن و فقیر از اکسیژن (یعنی با شرایط احیا کننده) است، ته نشین شده و میزان گوگرد در حوضه رسوبی بیش از حد معمول بوده است. به علت آنکه رسوبات تخریبی آن کم است لذا، در سرزمین‌های دور از برجستگی‌های قابل توجه، ته نشین شده، به علاوه آب دریا نسبتاً عمیق بوده و دو نوع رخساره متفاوت یکی میکرایتی و دیگری بیوکلاستی در آن رسوب کرده‌اند.

## 4-6-2- پرمین در البرز

در دامنه جنوبی البرز دو سازند دورود، روته و در دامنه شمالی سه سازند دورود، روته و نسن معرفی شده است :

**سازند دورود :** مقطع اصلی سازند دورود به وسیله آسرتو (1963) مشخص شده است. نام آن از روستای دورود (واقع در سر دوراهی دورود به شمشک) انتخاب شده، ضخامت آن 150 متر و به شرح زیر تشکیل یافته است :

واحد 1- واحد یک سازند را قبلاً در کربونیفر (نامورین) قرار می‌دادند که در مقطع نمونه شامل کنگلومرا است و حاکی از دگرشیبی فرسایشی رسوبات پرمین بر روی رسوبات مختلف پالنوزوئیک است (ف. بزرگنیا 1973). ولی واحدهای عمدۀ سازنده دورود در مقطع نمونه عبارتند از :

واحد 2- کنگلومرا و شیل رنگین به ضخامت 25 متر

واحد 3- آهک بیوزنیک فوزولین دار هب ضخامت 50 متر که بزرگنیا، سن آن را ساکمارین و اشتوكلین (1972) آسلین ذکر می‌کند.

واحد 4- سیلتستونریال شیل و ماسه سنگ به ضامت 55 متر که به وسیله آهک دورود پوشیده می‌شود. به طور کلی سازند دورود به پرمین زیرین تعلق دارد. در منطقه رامیان (البرز شرقی)، در قاعده سازند دورود، لایه‌های توف و بازالت گزارش شده است.

**- سازند روته یا آهک روته :** مقطع اصلی این سازند در دره روته، در بستر علیایی دره جاجرود واقع است که به وسیله آسرتو (1963) مطالعه و معرفی شده و شامل 6 واحد لیتلولوژیکی است که مجموع ضخامت آنها به 230 متر می‌رسد. بزرگنیا در سال 1973، این سازند را تجدید نظر کرد و نشان داد که 25 متر آخر این سازند که بین لایه لاتریتی و قاعده تریاس وجود دارد سن جلفین داشته و باید آن را معادل نسن دانست.

با توضیحات فوق، سازند روته به بخش‌ها 1 تا 5 و به قاعده بخش 6 محدود می‌شود که در این حال ضخامت آن 205 متر است. این سازند اساساً از آهک خاکستری تا تیره که در آن تناوبی از لایه‌های نازک مارنی نیز وجود دارد تشکیل یافته و حاوی فسیل‌های فراوان است. بین سازند دورود و روته یک واحد لاتریتی وجود دارد که اشتامپی (1978) آن را به نبود آرتینسکین مربوط می‌داند.

**- سازند نسن :** مقطع اصلی سازند نسن در البرز مرکزی به وسیله گلوس (1964) از دهکده نسن واقع در بالای دره نور گرفته شده است. در دامنه جنوبی البرز هیچ گونه آثاری از سازند نسن دیده نشده لذا باید تصور کرد که دامنه جنوبی در این زمان از آب خارج بوده است.

این سازند از نظر لیتلولوژی شامل تناوبی از آهک‌ها و شیل‌های مارنی تیره تا ماسه‌سنگی است که در قاعده آن لایه‌هایی از آهک چرتدار دیده می‌شود. بخش بالایی نیز از آهک ضخیم لایه با قلوه‌هایی از

چرت است که ضخامت آن در مجموع به 144 متر می‌رسد که خود به طور هم شیب روی سازند روته قرار می‌گیرد، ولی در قاعده آن لایه‌های رسی فرم را سبز رنگ به ضخامت تقریباً 2 متر وجود دارد که تا اندازه‌ای می‌توان به شناسایی سطح تماس مذکور کمک کند. سن سازندنسن را گوادلوپین فوقانی تا جلفين (پرمن فوکانی) می‌دانند که در زیر سازند الیکا به صورت ناپیوستگی هم شیب قرار می‌گیرد.

#### 4-7- مزوژوئیک

- **سازند الیکا** : مقطع نمونه سازند الیکا، در دره چالوس در مشرق دره البرز مرکزی، به وسیله گلوس (1964) توصیف شده و وجه تسمیه آن از روستایی به همین نام انتخاب شده است که از آغاز گردنه کنوان به سمت شرق منشعب می‌شود (اشتوکلین، 1972)، ضخامت کلی آن 295 متر و اساساً از دو بخش تشکیل شده است :

بخش زیرین (ممبر زیرین) را اصطلاحاً آهک ورقه‌ای و یا آهک ورمیکوله هم می‌گویند (ربین، 1935)، که ضخامت آن 95 متر و شامل آهک‌هایی به شدت ورقه ورقه، زرد رنگ، تا آهک شیلی و گاهی مارنی و دولومیتی است. رنگ آن ممکن است به طور محلی صورتی تا خاکستری، یا سبز خاکستری تغییر کند. در قاعده آن مقداری آهک‌های الیکی تا آهک‌های خالص ضخیم لایه به رنگ خاکستری دیده می‌شود. وجود کنگلومرای بین لایه‌ای در برخی جاها ممکن است به نبود ثبات حوضه مربوط دانست (شمیرانی، 1365).

بخش بالایی (ممبر فوقانی)، شامل دولومیت ماسیو تا آهک دولومیتی زرد تا خاکستری به ضخامت 200 متر است، که لایه‌بندی در آن منظم و به طور کلی ضخیم لایه است.

در زیر سازند الیکا، در دامنه‌های شمالی البرز مرکزی، سازند نسن قرار می‌گیرد که بین آنها پیوستگی رسوبی کامل برقرار است، ولی در دامنه جنوبی، سازند الیکا بر روی سازند روته یا سازندهای قدیمتر قرار دارد که در این صورت معرف دگرشیبی یا انفصال رسوب است. چنانکه در ناحیه غزنوی (گنبد قابوس، اشتامپلی، 1978)، بین این دو مجموعه، افق سیدرولتی در همه جا قابل مشاهده است که نشانه فرسایش و خروج از آب می‌باشد.

- **حد فوقانی سازند الیکا** : دولومیت‌های فوقانی سازند الیکا در اغلب مناطق، به وسیله سازند شمشک و به طور دگرشیب پوشیده می‌شود و در کنタکت آنها لایه‌ای از اکسید آهن و منگنز قرمز رنگ وجود دارد (اشتوکلین، 1972)

- **سن و گسترش سازند الیکا** : فسیل‌های سازند الیکا بیشتر از انواع دو کفه‌های کوچک از جنس کلارایا (claraia) است که در آن دو کفه‌های دیگر، نظیر پسودومونوتیس (Pseudomonotis)، همویا (Homomya) و آثار فراوان از کرم‌ها و شکمپایان هم دیده می‌شود. این فسیل‌ها فقط در بخش زیرین

یافت شده است و بخش فوقانی از نوع مونوتوئیس آلبرتی (Monotus albert) دیده شده که سن ویرگلورین (Virglorian) (آنیسین) به آن داده شده است. آنباخ، (1966) نیز نمونه‌هایی از آمونیت‌های تریاس را در مشرق البرز مرکزی خاطر نشان کرده است. سازندالیکا در البرز گسترش بسیار زیادی دارد و می‌توان آن را تا مناطق مختلف آذربایجان و مرز ایران و شوروی و جلفا با رخساره‌های مشابه تعقیب کرد. در مشرق تهران، در آینه ورزان و جابان واقع در مسیر جاده فیروزکوه در بخش فوقانی سازندالیکا، رخساره ژیپسی وجود دارد. این مسئله نشان می‌دهد که رخساره دولومیتی در برخی مناطق به تدریج از آب خارج شده و حالت ژیپسی به خود گرفته است.

#### 4-7-1- ژوراسیک

پس از حرکات ژوراسیک میانی، قسمت اعظم ایران از آب خارج شد و به صورت محیط مردابی - رودخانه‌ای درآمد که نتیجه آن گسترش جنگل‌های انبوه در تریاس پایانی و اوایل ژوراسیک است. وجود ملافیرها در قاعده رسوبات ژوراسیک و الیاس، نشان دهنده فاز کنشی است که به دنبال قاز کمپرسیونی میانی حادث شده است.

در البرز، جنین به نظر می‌رسد که فاز کنشی مورد بحث تا ژوراسیک پایانی به طول انجامیده است و چون در همین موقع با پسروی دریا، بخش‌هایی از ایران مرکزی و البرز از آب خارج می‌شود، به علاوه در اکثر نقاط، رسوبات کرتاسه به طور دگرگشیب بر روی طبقات ژوراسیک قرار می‌گیرد، لذا فاز کوهزایی از نوع کمپرسیونی که آن را سیمرین پسین نامیده‌اند در اوآخر ژوراسیک کشور مارا تحت تأثیر قرار داده است و نتیجه آن پیدایش دگرگونی‌ها و توده‌های آذرینی است که به ویژه در طول نوار سنندج - سیرجان اثرات آن بیشتر است.

#### 1- ژوراسیک در البرز

- **سازند شمشک** : سازند شمشک یکی از گسترده‌ترین رسوباتی است که در ایران و در شمال راندگی زاگرس ته نشین شده و چون قسمت اعظم آن از رس - ماسه‌ای تشکیل یافته است، لذا برجستگی‌های کم ارتفاعی به وجود می‌آورند که در روی زمین به آسانی قابل تشخیص است. این سازند از نظر اقتصادی برای کشور ما اهمیت خاصی دارد، گرچه تقریباً تمام زغال‌های ایران در این سازند ذخیره شده است. طبق فرنگ چینه‌شناسی ایران (اشتوکلین، 1972)، تا سال 1972 بیش از 30 مقاله درباره این سازند در نقاط مختلف کشور نوشته شده است.

قطع نمونه این سازند در شمال گردنه لاسم در دره علیایی روت، بخش شرقی منطقه معدنی شمشک انتخاب شده است (آسرتو، 1966، اشتوکلین، 1972). سازند شمشک شامل مجموعه‌ای از ماسه‌سنگ، سیلتستون، شیل و کلیستون است و می‌توان آن را به عنوان مولاس سلسله کوه‌های پیشین دانست که

بین پلاتفرم توران و ایران - افغانستان به وجود آمد. ضخامت کل این سازند 1027 متر و از نظر لیتوژری شامل 4 بخش است.

- **بخش ماسه سنگی تحتانی** : ضخامت آن حدود 76 متر و شامل تنابی از ماسه سنگ های دانه ریز تا دانه متوسط همراه با ساب گریوواک ها و لایه های نازک شیل و شیل زغالی با بقایای گیاهی است.

- **بخش زغال دار تحتانی** : ضخامت آن 333 متر و شامل رسوبات سیلیتی - رسی است و واجد عدسی ها و لایه های زغالی بسیار همراه با بقایای گیاهی است.

- **بخش ماسه سنگی فوقانی** : به ضخامت 531 متر و شامل ماسه سنگ دانه متوسط و ساب گریوواک ها، سیلتستون های میکادر، شیل آمونیت دار همراه با فسیل های دو کفه ای، مرجان، کرینوئید و آثار گیاهی است.

- **سری زغال دار فوقانی** : به ضخامت 87 متر و اساساً شیل رسی که در بخش زیرین آن رگه های رغال سنگی قابل توجه وجود دارد، ولی در بخش فوقانی بیشتر سیلتستون مارنی و شیل های مارنی همراه با آثار گیاهی است.

حر زیرین سازند شمشک در مقطع نمونه، بخش D سازند جیرود (کربونیفر) قرار گرفته است، ولی در سایر نواحی حد زیرین آن روی زمین های متفاوت از پرکامبرین تا سازند الیکا متغیر است. سطح تماس در همه جا از نوع دگرشیبی زاویه دار است و این مسئله خود نشانه فاز کوهزایی مهمی است (سیمرین پیشین) که قبل از پیشروی دریایی ژوراسیک در البرز مؤثر افتاده است. حد فوقانی سازند شمشک، سازند دلیچایی با اشکوب کالوین شروع می شود، ولی در سایر نواحی ممکن است با باتونین یا بازو سین فوقانی شروع شود.

در البرز مرحله تهاجم و پیشروی آب دریا در آغاز لیاس فوقانی (آلنین) کاملاً مشخص است. اگرچه در بازو سین میانی دریا کمی پسروی داشته است (سید امامی، 1371)، ولی پیشوری گسترده دریا در البرز مجدداً با رسوبگذاری سازند دلیچایی (دوگر) مشخص می شود. (فخر 1975 و 1977).

- **سازند دلیچایی** : مقطع نمونه این سازند، در ساحل راست رودخانه دلیچای (سر راه تهران به فیروزکوه)، 700 متر پایین تر از تقاطع رودخانه با جاده تهران - فیروزکوه، در محلي بهنام پل فردوسی واقع است. (اشتولکلین، 1972). ضخامت آن 107 متر و از نظر لیتوژری شامل آهک مارنی تا لایه نازک به رنگ سبز خاکستری است که در آن گاهی شیل مارنی به صورت لایه ای دیده می شود. در بخش قاعده ای آن الیت های آهکی با قلوه های لیمونیت و گاهی ترک های گلی را می توان ملاحظه کرد.

در زیر سازند دلیچایی، سازند شمشک با کن tact که در آنمی توان تغییر و تبدیل سریع لایه های ماسه ای شمشک به لایه های آهکی دلیچای را مشاهده کرد. سطح فوقانی سازند دلیچای

هم به تدریج به آهک‌های لار به رنگ روشن ختم می‌شود. با توجه به اینکه آهک‌های لار حاوی نودول چرت است، بنابریان ظهور لایه‌های آهکی چرتدار مشخص شروع سازند لار به حساب می‌آیند.

در سازند لار فسیل‌های متعددی یافت می‌شود که بر اساس آمونیت‌های موجود، سن بازوسین انتهایی تا کالووین انتهایی برای آن منظور می‌کنند، ولی همانطور که درباره شمشک ذکر کردہ‌ایم حد زیرین سازند دلیچایکنوخت نیست و از جایی به جای دیگر فرق می‌کند. همین مسئله در مورد حد وفقانی آن نیز صدق می‌کند.

سازند دلیچای در اکثر نقاط البرز مرکزی تا کوه‌های سلطانیه و ساحل جنوب‌شرقی دریاچه ارومیه، قابل تعقیب و در روی زمین به آسانی قابل تشخیص است.

- آهک لار : وجه تسمسه آهک لار از دره لار در البرز مرکزی (در دامنه شمالی کوه کلوم بستک) گرفته شده است. از لحاظ لیتوژئی، شامل آهک‌های نازک لایه میکریتی تا توده‌ای، ولی متراکم با رنگ خاکستری روشن است و حاوی قلوه‌ها (نودول) و یا لایه‌های چرتی (سیلکس) به رنگ سفید تا بنفش کم رنگ است. ضخامت آن بین 250 تا 350 متر گزارش شده است (آسرتو، b 1966 و اشتولکلین، 1972).

حد زیرین آن با سازند دلیچای را در بالا ذکر کردہ‌ایم، ولی حد بالای آهک‌های لار با یک دگرشیبی زاویه‌دار و سطح فرسایشی قابل توجه، در زیر آهک‌های اربیتولین‌دار سازند تیزکوه یا آهک‌های کرتاسه فوقانی و حتی ترسیر قرار می‌گیرد.

در آهک لار، فسیل‌های زیادی یافت می‌شود از جمله آنها آمونیت‌های ایدوسراس، آتاکسیوسراس و انواع مختلف جنس پریسفنکتس است که در مجموع سن قسمتی از آهک‌های لار را به اکسفوردین - کیمیریجن (ژوراسیک فوقانی) تعیین می‌کند، ولی در مورد حد زیرین و فوقانی آن مسائل حل نشده‌ای وجود دارد.

- سازند ژیپس - ملافیر : این سازند به طور غیر رسمی به وسیله آنباخ (1966) و اشتیگر (1966) به توالی از مارن - ژیپس و جریان‌هایی از گدازه دیابازی با ساخت بادامی «ملافیر» اطلاق شد که منطقه محدودی از مشرق کوه دماوند را می‌پوشاند و در حد بین آهک لار (ژوراسیک فوقانی) و سازند آهکی تیزکوه (کرتاسه زیرین) قرار دارد. این مقطع از پایین به بالا شامل :

- تناوبی از مارن‌های الوان (سبز، قرمز و زرد رنگ)، آهک نازک لایه، ژیپس و دیاباز به ضخامتی تقریبی 40 متر.

- لایه‌ای از گچ به ضخامت 100 متر.

- دیاباز اوژیت و الیوین‌دار با ضخامت بیش از 200 متر.

گسترش اصلی آن در سمت شمال شناخته نشده است، ولی توالی مذکور در جهت مشرق و مغرب به تدریج کاسته می‌شود و به وضعت زبانه‌ای در بین آهک لار و سازند تیزکوه ناپدید می‌شود. فسیل‌هایی

که در این سازند بویژه در مارن‌ها و آهک‌های قاعده‌ای یافت شده از نوع کاروفیت (Charophytæ) است که سن آن را کرتاسه زیین تعیین می‌کند و نشانه عمق بسیار کم دریا یعنی نزدیک به ساحل تشکیل دشه است. اشتیگر (1966) در منطقه فیروزکوه لایه‌های مارن و گچ را به آهک لار وابسته می‌داند، در ناحیه مورد مطالعه وی، سنگ‌های دولومیتی و کنگلومراپی نیز یافت شده است.

با توضیحات فوق، می‌توان نتیجه گرفت که کوهزایی سیمیرین پسین (در اواخر ژوراسیک)، این منطقه از البرز را به طور کامل از آب خارج نکرده و تنها موجب فعالیت آتشفشاری و کم شدن عمق دریا شده است.

## 2- ماقماتیسم در ژوراسیک

- گرانیت لیسار: این توده در قسمت میانی رودخانه لیسار (حاره دشت، در مسیر جاده آستانه - انزلی) واقع است. این گرانیت با مشخصات خاص خود - بافت پورفیروئید، دانه درشت و رنگ گلی به خوبی قابل تشخیص است. در داخل کنگلومراپی قاعده‌ای کرتاسه (نزدیک هروآباد خلخال) قطعات بزرگ و مدور شبیه آن دیده شده است، با این ترتیب تعیین سن دقیق آن امکان پذیر نیست و فقط آن را به مزوژوئیک و قبل از کرتاسه نسبت می‌دهیم.

سرانجام در مشرق ماسوله، گرانیت‌های ژوراسیک هم با حجم کوچک وجود دارد که سری پالئوزوئیک فوقانی را قطع کرده‌اند.

## 3- سنگ‌های آتشفشاری ژوراسیک

• در قاعده سازند شمشک در البرز مرکزی سنگ‌های آتشفشاری بازیک دیده می‌شود (گلوس، 1964).

• در سنفر و کامیاران، رسوبات معادل ژوراسیک از نوع آهک فسیل‌دار است که در آن گدازه‌های آندزیتی - اسپیلیتی به صورت بین لایه‌ای وجود دارد (بلون و برود، 1975).

• در منطقه قزوین - رشت سازند شمشک به طور دگرشیب بر روی دولومیت الیکا، یا بر روی آهک پرمین قرار دارد. در بسیاری از مناطق، به ویژه در کوه‌های شمال قزوین، در حد بین آنها، گدازه‌های بازالتی به ضخامت زیاد وجود دارد. بنا به نوشته شمیرانی (1365) محفوظ ماندن دگرشیبی و گاه فاز فرسایشی در زیر گدازه‌های مزبور، نشانگر آن است که فوران آتشفشاری بعد از فاز فرسایشی تریاس فوقانی و در نتیجه در آغاز ژوراسیک و احتمالاً در رسین صورت گرفته است. ضخامت سنگ‌های آتشفشاری در این مناطق بیش از 400 متر و ضخامت کل زمین‌های ژوراسیک (متشكل از شمشک - دلیچای - لار) بین 1000 تا 3400 متر در نقاط مختلف اندازه‌گیری شده است.

در شمال دامغان، گدازه‌های آتشفشانی در داخل رسوبات شمشک ذکر شده است (به نقشه زمین‌شناسی دامغان مراجعه شود).

در البرز شرقی نیر اشتامپاً وجود گدازه‌های مختلف (داسیت تا بازالت) را در داخل رسوبات شمشک ذکر می‌کند.

در البرز جنوبی نیز عموماً در قاعده رسوبات ژوراسیک تحتانی گدازه‌های بازالتی (ملافیر) وجود دارد (منطقه جابون و امام زاده هاشم).

• در منطقه فیروزکوه، اشتیگر (1966) از ملافیرهایی بحث می‌کند که در بالای سازند لار وجود داشته و در تمام البرز مرکزی یافت می‌شود. در منطقه جواهر ده رامسر - لایه‌های بازالتی ژوراسیک فوکانی بیبانک در سانتونین صورت پذیرفته است.

در بسیاری از سنگ‌های آهکی کرتاسه زیرین، کانسارهای رسوبی سرب و روی وجود دارد که از نظر اقتصادی قابل استخراج‌اند.

حوادث کوهزایی و خشکی‌زایی نسبتاً مهم در دوره کرتاسه، وقوع آتشفشان‌های قابل توجه و به ویژه وجود ریفت‌های بسیار مهم با پوسته اقیانوسی، که سرانجام در اوایل کرتاسه به کلی بسته می‌شوند و افیولیت ملانژ‌های کشور ما را به وجود می‌آورند.

#### 4-7-2- کرتاسه در ناحیه البرز مرکزی

##### 1- کرتاسه زیرین

رسوبات کرتاسه زیرین در البرز مرکزی با دگرسیبی زاویه‌دار مشخص و به حالت پیشرونده بر روی رسوبات رخساره ژیپس - ملافیر (به طور محلی) یا سازند لار (ژوراسیک فوکانی) یا رسوبا قدیمتر قرار می‌گیرد که نشانگر عملکرد کوهزایی سیمیرین پسین است. این رسوبات به نام سازندتیزکوه (پارمین - آپسین) نامیده شده است، بنابر این رسوبات نئوکومین در البرز مرکزی وجود ندارد.

- سازند تیزکوه : نام سازند تیزکوه از کوهی به همین نام واقع در جنوب غربی دماوند و در نزدیکی آبادی پلور اخذ شده است. مقطع نمونه آن هنوز به طور رسمی منتشر نشده، ولی سکانس‌های آن به وسیله آسرتو و همکار (1964)، آسرتو (1966b)، دلنباخ (1964)، اشتولکلین، (1972)، سید امامی (1350)، شمیرانی (1363)، اشتیگر (1966) و آنباخ (1966) توصیف شده است.

چنان‌که در بحث مربوط به ژواراسیک البرز گفته شد، در منطقه محدودی از البرز مرکزی و در حد بین آهک و لار و سازند آهکی تیزکوه (کرتاسه زیرین)، واحدی به نام سازند ژیپس - ملافیر با ضخامت متفاوتی (حداکثر 340 متر) دیده می‌شود. در راس آن مقداری آهن پیزولیتی و خاک قهوه‌ای قرمز وجود دارد که میان شرایط قاره‌ای بوده و نشنه خروج از آب البرز مرکزی قبل از رسوب گذاری سازند تیزکوه است.

## 2- کرتاسه فوقانی

عموماً در البرز مرکزی، در حد بین سازند تیزکوه و رسوبات کرتاسه فوقانی (سنومانین)، انفال رسوب یا دگرشیبی مشخصی وجود دارد که به حرکات کوهزایی استیرین ارتباط داده می‌شود، به نحوی که رسوبات سنومانین در اغلب موارد از آهک‌های آلی تخریبی حاوی بریوزوا تشکیل یافته، حتی گاهی با کنگلومراپ قاعده‌ای بر روی سازند تیزکوه یا آهک‌های لار قرار گرفته است (سید امامی، 1352).

به علت وجود رخسارهای گوناگون و علی‌رغم مطالعاتی که به وسیله محققان مختلف در البرز صورت گرفته، تاکنون هم ارزی رسوبات کرتاسه به نحو مطلوب انجام نشده است. چه هر یک از افراد علائم اختصاری جداگانه‌ای برای توصیف واحدهای لیتوژئیکی و کرونواستراتیک‌گرافی خود انتخاب کرده‌اند که تطبیق آنها حتی در مناطق هم‌جوار به سادگی امکان‌پذیر نیست. در این مورد باید به کوشش سید امامی (1350 و 1351)، شیمیرانی (1363)، نبوی (1355) و خسرو تهرانی (1353 و 1977) در جمع‌بندی و همارزی رسوبات اشاره کنیم.

دلنباخ (1964)، رسوبات کرتاسه بالایی کوههای سه پایه را (جنوب شرق تهران) با نام‌های K2C,K2b,K2a,K3، اشتیگر با حروف C3,C2 و C4 آسرتو (1966b) آسرتو و همکار (1964)، رسوبات کرتاسه فوقانی را به بخش‌ها یا واحدهایی تقسیم کرده‌اند.

در تقسیمات آسرتو و اپولیتو (1964)، آسرتو (1966b)، رسوبات کرتاسه بالایی به اختصار چنین معروفی شده است :

- در بخش 1 یا واحد 2، آهک بیومیکری، در برخی نقاط با قاعده کنگلومراپ که به حالت دگرشیبی زاویهدار بر روی سازند تیزکوه و حتی لار قرار دارد. ضخامت آن صفر تا 50 متر و سن آن سنومانین – تورونین آغازی است (?)
- بخش 2 یا واحد 3، آهک میکریتی لایه نازک به ضخامت صفر تا 400 متر به سن توونین انتهایی – کنیاسین.
- بخش 3 یا واحد 4، آهک آلی – تخریبی ضخیم لایه با نوودل چرت که با قسمت فوقانی بخش 2، حالت بین انگشتی دارد. ضخامت آن متجاوز از 300 متر و سن آن سنونین میانی اعلام شده است.

K3 شامل آهک‌های گل سفیدی و مارن‌های کمی به رنگ روشن است که ضخامت کلی آن در حدود 400 متر بوده و رأس رسوبات کرتاسه بالایی را در مشرق تهران تشکیل می‌دهد. رسوبات مذکور به طور هم شیب بر روی آهک‌های اگزوژیرادار قرار می‌گیرد و خود به صورت دگرشیب به وسیله کنگلومراپ فجن پوشیده می‌شود.

اشتیگر با مطالعه زمین‌شناسی مغرب فیروزکوه، رسوبات کرتاسه بالایی را به صورت زیر معرفی کرده است:

- تشکیلات  $C_2$ : شامل آهک میکریتی و اسپاریتی است که در برخی جاهای به کنگلومرا ای قاعده‌ای آغاز می‌شود. ضخامت آن ۰ تا ۱۲۰ متر و کنتاکت آن با سازند تیزکوه نامشخص و تدریجی است.

- تشکیلات  $C_3$ : اصولاً شامل آهک به ضخامت ۰ تا ۳۰۰ متر است و به صورت پیشرونده بر روی  $C_2$  و یا سازند تیزکوه و حتی بر روی آهک لار قرار دارد.

- تشکیلات  $C_4$ : شامل آهک آلی - تخریبی به ضخامت تقریبی ۳۲۰ متر است. کنتاکت زیرین آن با دگرشیبی زاویدار و در برخی جاهای با گدازهای بازیک و یک کنگلومرا ای قاعده‌ای است، ولی در بعضی مناطق تدریجی و نامشخص است.

با مقایسه آنچه که در بالا ذکر شد، ملاحظه می‌کنیم که سن و انطباق این واحدها با تناقصات و ابهاماتی مواجه است و در اکثر موارد بین آنها همخوانی وجود ندارد.

به طور خلاصه، رسوبات و رخسارهای متنوعی که در کرتاسه جنوب البرز مرکزی به وجود آمده است نشان می‌دهد که دریا بر روی سرزمین‌های قاره‌ای اوخر ژوراسیک، از بارمین (شرق تهران) تا آپسین (دماؤند و فیروزکوه)، شروع به پیشروی کرده و این مناطق بوسیله دریایی کم عمقی پوشیده می‌شد که در آن آهک‌های اربیتولین‌دار و سپس آهک‌های رودیستدار تمثیل می‌شده است. تغییرات رخسارهای متنوعی که در کرتاسه دیده می‌شود حاکی از تغییرات شرایط این دریا از محلی به محل دیگر است.

در اوخر آلبین، بر اثر فاز کوهزایی استیرین تمام منطقه البرز جنوبی از آب خارج شد، ولی مجدداً با پیشروی دریایی سنماین رسوبات آهکی همراه با فسیل‌های فراوان بر جا گذاشتند می‌شود که شرایط آن تا اوخر تورونین برقرار می‌ماند. از آغاز تورونین تا اوخر کامپانین، به علت عدم کفايت مطالعات انجام شده، تناقصات و سردرگمی‌های ویژه‌ای در سرگذشت زمین‌شناسی منطقه به چشم می‌خورد (شمیرانی، ۱۳۶۳).

در اوخر تورونین، فاز کوهزایی سوب هرسینین آثار مهمی در مناطق جنوبی البرز به جا گذاشت و موجب تشکیل محیط دریایی نسبتاً وسیع در نواحی اخیر شد. در اوخر کنیاسین، فاز کوهزایی دیگری به وقوع می‌پیوندد که موجب دگرشیبی مهم در غرب فیروزکوه، رسوب‌گذاری کنگلومرا ای پیشرونده در شرق تهران شد.

بعد از این کوهزایی، دریایی سانتونین پیشروی می‌کند و جنوب البرز را فرا می‌گیرد و به سرعت به دریایی کم عمقی تبدیل می‌شود که مشخصات پلازیک دارد (شمیرانی، ۱۳۶۳). به عقیده همین محقق، رسوبات این دریا در منطقه جاجروم (بخش ۴ تشکیلات آسترتو در البرز مرکزی) با افق‌های مختلف در

واخر کامپانین و اوایل مستریشتن، فاز کوهزایی لارامید تتم منطقه البرز را از آب خارج و به خشکی مبدل می‌سازد که پیش روی بعدی در پالوسن آغازی صورت می‌گیرد.

#### 4- سنجوزئیک – ترسیر

ترسیر در البرز شامل سازند فجن می‌باشد. مقطع اصلی این سازند، در 100 کیلومتری شرق تهران و نزدیک دهکده فجن، به وسیله دلنباخ (1964) مطالعه و نامگذاری شده است. ضخامت آن در مقطع نمونه حدود 1500 متر و از نظر لیتوژوژی شامل کنگلومرای پلیژنیک، ماسه‌سنگ قرمز و مارن‌های ماسه‌ای است و در آن تنابی از آگلومراها و گدازه‌های آندزیتی هم دیده می‌شود. (اشتوکلین، 1972). طبق گزارش واتان و یاسینس (1969)، در محل مقطع نمونه، 80 متری کنگلومرای قرمز رنگ در قاعده و نزدیک به 1500 متر سنگ جوش آتشفسانی (آگلومرا) روی آن قرار دارد. در ناحیه توچال (40 کیلومتری جنوب شرق تهران – در مسیر جاده تهران – خراسان)، ضخامت این سازند نزدیک به 1100 متر و مرکب از سنگ جوش آتشفسانی و گدازه است.

#### 4- زمین‌شناسی عمومی منطقه مورد مطالعه

منطقه مورد مطالعه، تاقدیس شمال آینه‌ورزان است که جهت گسترش آن شرقی غربی بوده و محور آن به سمت غرب پلانژ دارد و در قسمت غربی دورزدگی لایه‌ها که در حاصل پلانژ محور تاقدیس می‌بسد دیده می‌شود. یال جنوبی تاقدیس بصورت برگشتی بوده و شبیل لایه‌های جوان به زیر لایه‌های قدیمی می‌باشد.

در محور تاقدیس تشکیلات مربوط به اینفراکامبرین رخمنون دارد که به سمت شمال به گسل رورانده مشاء – فشم محدود می‌گردد. این کسل رورانده، تشکیلات دوران اول را بر روی تشکیلات جوانتر قرار داده است.

هر چه از محور تاقدیس به سمت جنوب حرکت کنیم به غلت برگشتی بودن یال جنوبی، تشکیلات جوانتر می‌شوند به طوریکه در مجاورت دشت آینه ورزان تشکیلات اؤسن (توفهای کرج) نیز رخمنون داشته و به سمت غرب با پیچش ملایم در جهت شمال که مربوط به پلانژ تاقدیس می‌باشد، گسترش می‌یابند. در ادامه تشکیلاتی را که در محدوده رخمنون دارند، شرح می‌دهیم :

- **تشکیلات بایندر** : این تشکیلات در محور تاقدیس رخمنون داشته و گسترش عرضی آن در یک طرف محور به حدود 1000 متر می‌رسد که دارای شبیب حدود 40 درجه می‌باشد.

جنس تشکیلات بایندر را اکثراً ماسه سنگ‌ها و شبیت‌های سبز رنگ و به ندرت قرمز رنگ تشکیل می‌دهند.

- **تشکیلات سلطانیه** : ضخامت این تشکیلات حدود 350 متر می باشد و شامل شیستهای میکتدار سبز رنگ و دولومیت های زرد رنگ می باشد.

تشکیلات مذکور به طور هم شیب زیر تشکیلات بایندر قرار می گیرند (علت برگشته بودن طبقات) و مرز آن با تشکیلات باروت دقیقاً مشخص نیست.

- **تشکیلات باروت** : این تشکیلات از ماسه سنگ و شیستهای سبز و قرمز رنگ که گاهی لایه های دولومیتی و آهکی در بین آنها دیده می شود، تشکیل شده است و بطور هم شیب با سازند سلطانیه قرار گرفته است. ضخامت تشکیلات باروت حدود 350 متر می باشد.

- **تشکیلات زاگون** : این تشکیلات دارای ضخامتی حدود 200 متر بوده و شامل شیستهای سیلانی میکدار قرمز رنگ می باشد. مرز آن با یازند باروت بصورت هم شیب و تدریجی می باشد. تشکیلات زاگون به سمت جوانتر، بیشتر ماسه سنگی شده و شیستهای آن کمتر می شود.

- **تشکیلات لاون** : از ماسه سنگ های متوسط و مطبق و دارای چینه بندی متقطع تشکیل یافته که به سمت بالا رنگ ماسه سنگ کاملاً روشن می شود. این قسمت که ضخامت آن حدود 30 تا 50 متر است به کوارتزیت فوقانی (تاپ کوارتزیت) مشهور می باشد.

ضخامت تشکیلات لاون و کوارتزیت فوقانی حدود 250 متر می باشد که به طور هم شیب توسط رسوبات مبارک پوشیده می شود.

- **تشکیلات میلا** : این تشکیلات در محدوده مورد مطالعه به صورت، نبود چینه ای بوده و به نظر می رسد که در کامبرین فوقانی، تاقدیس آینه و رزان از آب خارج بوده است.

- **تشکیلات مبارک** : ضخامت تشکیلات مبارک در منطقه مورد مطالعه حدود 200 متر بوده و از آهک های خاکستری دانه ریز تا آهک های سیاه رنگ دارای برآکیوپود، مرجان و کرینوئید و شیست تشکیل شده است. این تشکیلات هم شیب روی کوارتزیت فوقانی قرار می گیرند.

- **تشکیلات دورود** : این تشکیلات شامل ماسه سنگ های دارای چینه بندی متقطع به ضخامت 140 متر بوده و بطور هم شیب روی سازند مبارک قرار می گیرد.

- **تشکیلات روته** : آهک های تیره رنگ که بخش هوازده آن رنگ زرد داشته و ضخامت آن حدود 110 متر می باشد، بطور هم شیب روی تشکیلات دورود قرار می گیرد.

- **تشکیلات الیکا** : این تشکیلات با ضخامت 550 متر، کاملترین مقطع را در منطقه مورد مطالعه داشته و شامل آهک های دولومیتی خاکستری سبز رنگ (کرم گون) می باشد که بخش ضخیمی از دولومیت، حفره دار و گچ دار است.

مرز تشکیلات الیکا با دورود کاملاً مشخص می باشد و بطور هم شیب روی سازند درورد قرار می گیرد.

- **ولکانیک‌های بازیک بین الیکا و شمشک (ملافیر)** : در منطقه مورد مطالعه روی تشكیلات شمشک، گذازه‌های دیبازاری با ساخت بادامب قرار می‌گیرد که حدود 100 متر ضخامت داشته و احتمالاً مربوط به آتشفشان‌های کرتاسه می‌باشد.

- **تشكیلات شمشک** : شامل سنگ‌های آواری به رنگ قهوه‌ای است که در ماسه سنگ‌ها تغییرات تدریجی دانه‌بندی دیده می‌شود. به همراه شیستهای سیلاني و رسی و گریوک می‌باشد. این تشكیلات روی ملافیرها قرار می‌گیرد و خود توسط تشكیلات دلیچای بطور هم شیب پوشانده می‌شوند.

- **تشكیلات دلیچای** : شامل آهک‌های مارني و آهک‌های مطبق دارای فسیل آمونیت می‌باشد که ضخامتی حدود 80 متر داشته و بطور هم شیب توسط آهک‌خای لار پوشانده می‌شود.

- **تشكیلات لار** : تشكیلات لار شامل آهک‌های متراکم و دانه‌ریز به رنگ خاکستری روشن می‌باشد که اغلب کنکرسیون‌هایی از سیلکس سفید رنگ دارند. بخش زیرین آهک لار با مرز نامشخصی به رسوبات دلیچای منتهی می‌شود. ضخامت آن حدود 300 متر بوده و توسط رسوبات کرتاسه فوقانی پوشانده می‌شود.

- **تشكیلات کرتاسه فوقانی** : تشكیلات C2 و C3 مربوط به کرتاسه فوقانی می‌باشد که تشكیلات C2 شامل آهک متبلور به رنگ خاکستری متمایل به قهوه‌ای بوده و تکه‌های فراوانی از فسیل در آن دیده می‌شود.

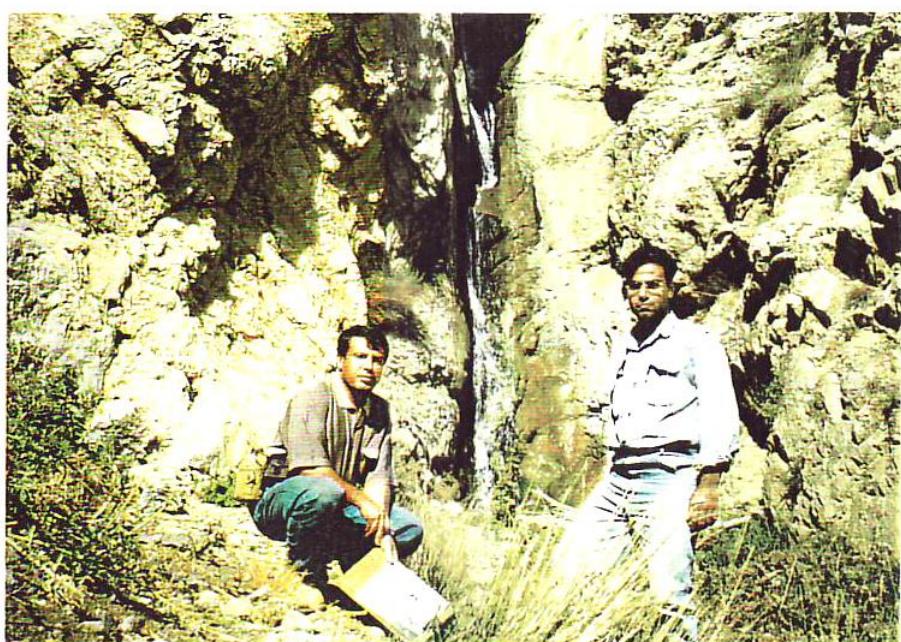
تشكیلات C3 شامل آهک‌های مطبق و دانه‌ریز به رنگ خاکستری روشن است که هوازدگی آن رن سفید دارد. این تشكیلات حدود 400 متر ضخامت دارند.



عکس شماره ۱-۴ - لایه تاپ کوارتزیت در دره شمال جابان (معدن)



عکس شماره ۲-۴ - لایه قاپ کوارتزیت در دره شمال سیدآباد



عکس شماره ۳-۴ - تشکیلات الیکا در دره شمال آینه ورزان

## فصل پنجم

### تشریح فعالیت‌های صحرائی

#### ۱-۵- جمع‌آوری اطلاعات اولیه و تعین محدوده

محدوده‌ای به وسعت 500 کیلومتر مربع بین دماوند و فیروزکوه، توسط کارشناسان اداره کل معدن و فلات استان تهران بر روی نقشه توپوگرافی 1/250.000 منطقه مشخص گردید و در اختیار این مهندسین مشاور قرار گرفت.

به منظور جمع‌آوری مدارک و اطلاعات مربوط به منطقه، نقشه زمین‌شناسی 1/100.000 دماوند و نقشه‌های توپوگرافی 1/50.000 دماوند از سازمان نقشه‌برداری کشور تهیه گردید. به علت موجود نبودن عکس‌های هوایی با مقیاس 1/20.000 در سازمان نقشه‌برداری کشور و همچنین سازمان نیروهای مسلح کشور، جهت تهیه نقشه زمین‌شناسی 1/20.000، نقشه‌های توپوگرافی 1/50.000 تبدیل به 1/20.000 گردید و به عنوان نقشه پایه استفاده شده است.

#### ۲- فعالیت‌های صحرائی و برداشت‌های زمین‌شناسی

با توجه به بازدید اولیه از منطقه و همچنین نقشه زمین‌شناسی موجود در منطقه (1/100.000)، محدوده‌ای به وسعت تقریبی 165 کیلومتر مربع که لایه تاپ کوارتزیت در آن رخمنون داشت جهت اکتشاف چکشی و تهیه نقشه زمین‌شناسی 1/20.000 انتخاب گردید، سپس برداشت‌های زمین‌شناسی نمونه‌گیری از مناطقی که توپوگرافی امکان می‌داد، صورت گرفت که در این مرحله مناطق زیر پی‌جوئی گردید:

**الف - پی‌جوئی دره شمال خسروان :** به طول تقریبی 6 کیلومتر و نمونه‌گیری از لایه تاپ کوارتزیت (نمونه شماره TD-8). در این محدوده جاده دسترسی تا لایه سیلیس وجود ندارد و احداث جاده دسترسی به حدود یک کیلومتر کوهبری دارد. ضخامت لایه حدود 45 کیلومتر بوده و کیفیت سیلیس با توجه به آنالیز نمونه

( $\text{SiO}_2 = \% 7.6$ ,  $\text{Fe}_2\text{O}_3 = \% 0.18$ ,  $\text{Al}_2\text{O}_3 = \% 0.96$ )

خوب بوده و در صورتی که جاده دسترسی احداث گردد، از نظر توپوگرافی نیز امکان استخراج وجود دارد. امتداد شیب و شیب لایه 85 / 40 می‌اشد.

**ب - پی‌جوئی دره شمال جابان :** به طول تقریبی 6 کیلوکتر و نمونه‌گیری از لایه تاپ کوارتزیت (نمونه شماره TD-2). در این محدوده آثار بهره‌برداری از سیلیس دیده شد ولی توپوگرافی منطقه

امکان بهربرداری در آینده را مشکل می‌سازد. ضخامت لایه حدود 50 متر بوده و نتیجه آنالیز نمونه به قرار ذیل است :

$$\text{SiO}_2 = \% 97, \text{Fe}_2\text{O}_3 = \% 0.2, \text{Al}_2\text{O}_3 = \% 1.99$$

امتداد شیب و شیب لایه 70 / 60 می‌باشد. در ضمن نمونه شماره (TD-1) از واریزهای کنار دره در نقطه‌ای با مختصات طول شرقی 50 درجه و 14 دقیقه و 51 ثانیه و عرض شمالی 35 درجه و 40 دقیقه و 17 ثانیه برداشت شده که از لاتریت‌های احتمالاً داریا بوكیست می‌باشد. چون اخنمون اصلی پیدا نشد و واریزهای مریبوط به ارتفاعات غیر قابل کار بوده نمونه جهت آنالیز ارسال نشد.

**پ- پی‌جوبی دره شمال سربندان :** به طول تقریبی 5 کیلومتر و نمونه‌گیری از لایه تاپ کوارتزیت (نمونه شماره TD-3). در این محدوده کیفیت سیلیس و همچنین توپوگرافی منطقه جهت بهربرداری مناسب نبود. نتیجه آنالیز نمونه به قرار ذیل است :

$$\text{SiO}_2 = \% 94.6, \text{Fe}_2\text{O}_3 = \% 0.33, \text{Al}_2\text{O}_3 = \% 3.2$$

امتداد شیب و شیب لایه 73 / 30 می‌باشد و ضخامت لایه حدود 25 متر است.  
**ت - پی‌جوبی دره شمال سیدآباد :** به طول تقریبی 4 کیلومتر و نمونه‌گیری از لایه تاپ کوارتزیت (نمونه شماره TD-7). در این محدوده آثار خاکبرداری دیده می‌شود ولی محدوده کار شده روی لایه تاپ کوارتزیت نبوده و احتمالاً محل دقیق آن را پیدا نکرده‌اند. این محدوده از نظر کیفیت سیلیس و توپوگرافی مناسب می‌باشد. نتیجه آنالیز نمونه به قرار ذیل است :

$$\text{SiO}_2 = \% 98.4, \text{Fe}_2\text{O}_3 = \% 0.15, \text{Al}_2\text{O}_3 = \% 0.54$$

امتداد شیب و شیب لایه 55 / 5 می‌باشد. و ضخامت لایه حدود 55 متر است.  
**ث - پی‌جوبی دهکده محدوده آرو :** به طول تقریبی 5 کیلومتر و نمونه‌گیری از لایه تاپ کوارتزیت (نمونه شماره TD-5) که در این محدوده کیفیت سیلیس و همچنین وضعیت توپوگرافی بسیار مناسب است. جاده آسفالتی روسایی آرو لایه تاپ کوارتزیت را قطع می‌کند. نتیجه آنالیز نمونه به قرار ذیل است :

$$\text{SiO}_2 = \% 98.2, \text{Fe}_2\text{O}_3 = \% 0.17, \text{Al}_2\text{O}_3 = \% 0.65$$

امتداد شیب و شیب لایه 60 / 15 می‌باشد. و ضخامت لایه حدود 45 متر است.  
در قسمت جنوب غربی دهکده نیز از رخمنون لایه تاپ کوارتزیت نمونه‌برداری شد (نمونه شماره TD-6). نتیجه آنالیز نمونه به قرار ذیل است :

$$\text{SiO}_2 = \% 96.9, \text{Fe}_2\text{O}_3 = \% 0.21, \text{Al}_2\text{O}_3 = \% 0.91$$

امتداد شیب و شیب لایه 60 / 15 می‌باشد. و ضخامت لایه حدود 45 متر است.

**ج - پیجوبی دره جنوب کهنک :** به طول تقریبی 5 کیلومتر و نمونهگیری از لایه تاپ کوارتزیت (نمونه شماره 4-TD) کیفیت سیلیس و همچنین توپوگرافی منطقه جهت کار مناسب است. نتیجه آنالیز نمونه به قرار ذیل است :

$$\text{SiO}_2 = \% 98.6, \text{Fe}_2\text{O}_3 = \% 0.32, \text{Al}_2\text{O}_3 = \% 0.65$$

امتداد شیب و شیب لایه 345 / 85 میباشد. و ضخامت لایه حدود 40 متر است.

**ج - پیجوبی دره جنوب شرق کهنک :** به طول 3 کیلومتر که انتهای لایه تاپ کوارتزیت بوده و لایه مذکور توسط گسل مشاء - فشم قطع میگردد. کیفیت ظاهري سیلیس و همچنین توپوگرافی منطقه جهت کار مناسب بود.

با توجه به نتایج اکتشافی 7 منطقه عنوان شده فوق و همچنین مناطق واگذار شده به اشخاص جهت استخراج سیلیس، با هماهنگی کارشناسان اداره کل معدن و فلزات تهران، محدودهای به وسعت حدود 8 کیلومتر مربع جهت تهیه نقشه زمین‌شناسی 1/000، عملیات خاصمعدنی، طبق شرح خدمات انتخاب گردید. البته از 8 کیلومتر مربع انتخاب شده بعضی از قسمت‌ها به علت ارتفاع زیاد قبل کار نبوده که نهایتاً حدود 5 کیلومتر مربع از آن مورد پیمایش و برداشت زمین‌شناسی، عملیات ترانشمنی و نمونهگیری قرار گرفت.

### 5-3 عملیات حفر ترانشه و نمونهبرداری

#### 5-3-1 حفر و نمونهگیری از ترانشه‌ها

جهت مطالعه دقیق لایه تاپ کوارتزیت، تعداد 7 رشته ترانشه به عمق حداقل 1/5 متر، طول کلی 630 متر و فواصل حدود 300 متر از یکدیگر مشخص و حفاری گردید که از ترانشه‌های مذکور نمونهگیری صورت گرفت. البته نمونهبرداری بر اساس تغییرات ظاهري و لیتولوژي سنگ انجام گرفته است. در جاهابی که تغییرات ظاهري چندانی در لیتولوژي دیده نشد، فواصل نمونهبرداری حدود 10 متر انتخاب شد. نمونه‌ها جهت تعیین درصد خلوص سیلیس و آهن به آزمایشگاه ارسال گردید. نقشه توپوگرافی شماره 1 که لایه تاپ کوارتزیت، محل نمونهبرداری‌ها و محل ترانشه‌ها بر روی آن مشخص گردیده است به پیوست میباشد.

مقاطع ترانشه‌ها ترسیم و فواصل نمونهبرداری روی هر یک با شماره نمونه مربوط به آن، درج گردیده و به پیوست میباشد. در ضمن تعداد 5 نمونه (TD-84, TD-92, TD-93, TD-94, TD-95) جهت مطالعات کانی‌شناسی و سنگ‌شناسی نهیه و مطالعات مذکور انجام شد که 2 نمونه مربوط به لایه تاپ کوارتزیت بود و جنس ناخالصی‌های سیلیس را مشخص نموده که جهت فرآوری سیلیس باید مورد توجه قرار گیرد.

## **5-3- نمونه برداری سیستماتیک**

برای به دست آوردن عیار متوسط سیلیس در طول رگه تاپ کوارتزیت، اقدام به نمونه‌گیری سیستماتیک با فواصل حدود 100 متر نموده‌ایم که البته فاصله نمونه‌گیری متأثر از رخمنون لایه، تغییراتی را دارد. نقشه شماره Mn1288/21020 موقعیت نمونه‌ها را نشان می‌دهد (پیوست همین گزارش). تعداد نمونه‌های سیستماتیک 90 نمونه می‌باشد که جهت آنالیز درصد ترکیبات  $\text{SiO}_2, \text{Fe}_2\text{O}_3, \text{Al}_2\text{O}_3$  ارسال و نتایج اخذ شد.

در ضمن 2 نمونه (TD-74 و TD-75) مربوط به ماسه‌های سبزرنگ کنار دهکده کهنک جهت آزمایش XRD ارسال و نتایج آن اخذ گردید. نتایج کلیه آنالیز‌های شیمیایی، سنگ‌شناسی و XRD در فصل ششم همین گزارش مورد تجزیه و تحلیل قرار گرفته است.

## **فصل ششم**

### **مطالعات آماری و تجزیه و تحلیل نتایج**

## **1/10.000 - محدوده نقشه**

نظر به اینکه لایه تاپ کوارتزیت از دو نوع سنگ کوارتزیت و میکروکنگلومرای کوارتزیت تشکیل شده است و عیار سیلیس این دو نوع سنگ با هم متفاوت می‌باشد، لذا هر نوع سنگ را جداگانه بررسی می‌کنیم. البته ضخامت دو نوع لایه نیز این امکان را می‌دهد که در زمان استخراج، بطور م جداگانه حفاری و استخراج شوند.

## **6-1-1- لایه کوارتزیت**

این لایه دارای سختی بالا بوده و در طول 6 کیلومتر محدوده مورد مطالعه، تقریباً در اکثر نقاط رخمنون دارد. در صورتی که لایه میکرو کنگلومرای کوارتزیت در اکثر نقاط به علت قابلیت فرسایش بیشتر، توسط واریزهای پوشیده می‌باشد. بدین جهت کلیه نمونه‌های سیستماتیک برداشته شده مربوط به لایه کوارتزیت است.

نمونه شماره (TD-92) جهت مطالعه سنگ‌شناسی از این لایه برداشته شد که مشخصات سنگ‌شناسی لایه کوارتزیت به شرح ذیل است :

کانی غالب کوارتزیت است که حداقل 95 درصد کانی‌های تشکیل دهنده را شامل می‌شود. چرت حدود 1 تا 2 درصد و کانی‌های رسی (اغلب ایلیت) کمتر از 1 درصد قابل مشاهده است. کانی‌های سنگین شامل تورمالین و به ندرت زیرکن کمتر از 0/5 درصد بوده و دورن دانه‌ای می‌باشند. آغشتنگی‌های

اکسید و هیدروکسید آهن در حاشیه دانه‌های کوارتز و در میکروفراکچرها دیده می‌شود که قابل زدودن و یا جدا کردن می‌آشد.

با بزرگنمایی 100 برابر، ابعاد دانه‌های کوارتز ۰/۲ تا ۰/۳ میلیمتر، ابعاد دانه‌های چرت ۰/۲۵ تا ۰/۲۵ میلیمتر، ابعاد دانه‌های تورمالین ۰/۱ میلیمتر و ابعاد دانه‌های زیرکن ۰/۶ میلیمتر است.

#### 1- محاسبه عیار متوسط

محاسبه عیار متوسط  $\text{SiO}_2$  ,  $\text{Fe}_2\text{O}_3$  ,  $\text{Al}_2\text{O}_3$  از نمونه‌های سیستماتیک و نمونه‌های ترانشه‌ها که مربوط به لایه کوارتزیت بود، طبق جدول شماره (6-1) انجام شده است. چون فوائل نمونه‌های سیستماتیک تقریباً برابر بود، نیاز به دخالت دادن فوائل نمونه‌برداری در محاسبات نبود.

جدول شماره ۱-۶ - محاسبه عیار متوسط  $\text{SiO}_2$ ,  $\text{Fe}_2\text{O}_3$ ,  $\text{Al}_2\text{O}_3$  در لایه کوارتزیت

Sample No.	Lab No.	% $\text{SiO}_2$	% $\text{Fe}_2\text{O}_3$	% $\text{Al}_2\text{O}_3$
TD 4	۲۴۷۷	۹۸/۶	۰/۲۲	۰/۶۵
TD 9	۲۱۷۳	۹۸	-	-
TD 10	۲۱۷۴	۹۷/۴	-	-
TD 11	۲۱۷۵	۹۷	-	-
TD 12	۲۱۷۶	۹۸/۴	-	-
TD 13	۲۱۷۷	۹۸/۱	-	-
TD 14	۲۱۷۸	۹۸/۴	-	-
TD 17	۲۵۱۲	۹۷/۲	۱/۲۶	۰/۲۸
TD 18	۲۵۱۳	۹۸/۲	۰/۶۸	۰/۲
TD 19	۲۵۱۴	۹۸/۲	۰/۵۴	۰/۵۸
TD 20	۲۵۱۵	۹۸/۲	۰/۶۹	۰/۲۱
TD 21	۲۵۱۶	۹۸/۲	۰/۶۳	۰/۱۹
TD 22	۲۵۱۷	۹۸/۲	۰/۶۲	۰/۱۷
TD 23	۲۵۱۸	۹۸	۰/۸۷	۰/۲۱
TD 24	۲۵۱۹	۹۸/۱	۱/۰۸	۰/۲۲
TD 25	۲۵۲۰	۹۸/۲	۰/۶۶	۰/۲۳
TD 26	۲۵۲۱	۹۸/۲	۰/۹۸	۰/۱۸
TD 27	۲۵۲۲	۹۸/۱	۰/۷۹	۰/۲۲
TD 28	۲۵۲۳	۹۸/۱	۰/۷۲	۰/۲۴
TD 29	۲۵۲۴	۹۸/۲	۰/۶۶	۰/۱۶
TD 30	۲۵۲۵	۹۸/۲	۰/۹۹	۰/۱۸
TD 31	۲۵۲۶	۹۷/۲	۱/۰	۰/۲۲
TD 32	۲۵۲۷	۹۵	۲/۸۴	۰/۲۶
TD 33	۲۵۲۸	۹۸/۲	۰/۶۶	۰/۲۳
TD 34	۲۵۲۹	۹۸/۳	۰/۷۱	۰/۲
TD 35	۲۵۳۰	۹۸/۱	۰/۸۷	۰/۲۸
TD 36	۲۵۳۱	۹۸/۴	۰/۵۵	۰/۲۱
TD 37	۲۵۳۲	۹۸/۲	۰/۷۷	۰/۱۹

ادامه جدول شماره ١-٦٥

Sample No.	Lab No.	%SiO <sub>2</sub>	%Fe <sub>2</sub> O <sub>3</sub>	%Al <sub>2</sub> O <sub>3</sub>
TD 38	٢٥٣٣	٩٧/١	١/٢٦	٠/٢٥
TD 39	٢٥٣٤	٩٨	٠/٢٤	٠/٢٦
TD 40	٢٥٣٥	٩٧/٤	٠/٥	٠/٣١
TD 41	٢٥٣٦	٩٧	١/٨٦	٠/٢
TD 42	٢٥٣٧	٩٧/٣	٠/٥	٠/٢٧
TD 43	٢٥٣٨	٩٧/٤	٠/٢٢	٠/٢٣
TD 46	٢٦٤٨	٩٧/٢	٠/٢٨	-
TD 47	٢٦٤٩	٩٧/١	٠/٢١	-
TD 48	٢٦٤٠	٩٨	٠/٢٥	-
TD 49	٢٦٥١	٩٧/٧	٠/٥٤	-
TD 55	٢٦٥٧	٩٧/٥	٠/٤	-
TD 56	٢٦٥٨	٩٧/١	٠/٤	-
TD 58	٢٦٦٠	٩٧/٣	٠/٢٧	-
TD 61	٢٦٦٢	٩٧/١	٠/٢٧	-
TD 62	٢٦٦٤	٩٧/٨	٠/٢٥	-
TD 66	٢٦٦٨	٩٧/٧	٠/٢٧	-
TD 67	٢٦٦٩	٩٧/٥	٠/٢	-
TD 77	٢٦٧٧	٩٧/٦	٠/١٤	-
TD 78	٢٦٧٨	٩٧/٤	٠/٢	-
TD 83	٢٦٨٢	٩٧/١	٠/٢٣	-
TD 86	٢٥٣٥	٩٨	-	-
TD 87	٢٥٣٦	٩٧/٤	-	-
TD 88	٢٥٣٧	٩٧/٢	-	-
TD 97	٢٥٣٣	٩٧/٣	-	-
TD 98	٢٥٣٤	٩٧/٤	-	-
TD 99	٢٥٣٥	٩٨	-	-
TD 100	٢٥٣٦	٩٧/٣	-	-
عيار متوسط		٩٧/٩٤	٠/٧٢	٠/٢٥

## ۲- محاسبه ذخیره

### الف - ذخیره قطعی :

جهت محاسبه ذخیره لایه کوارتزیت، از مقطع ترانشه‌ها ضخامت لایه اندازه‌گیری گردید و طبق جدول شماره (6-2) با تأثیر فاصله ترانشه‌ها از یکدیگر، ضخامت متوسط محاسبه گردید. سپس از مقطع طولی ترسیم شده بر روی لایه تاپ کوارتزیت (مقطع طولی شماره Mn1288/21110) پیوست همین گزارش)، مساحت محدوده‌ای که از ۳ طرف دیده شده بود ۱۳۰.۰۰۰ متر مربع محاسبه و از حاصل ضرب مساحت مذکور در ضخامت متوسط، حجم حاصل گردید. حاصل ضرب حجم در وزن حجمی کوارتزیت (2/65) برابر با ذخیره قطعی می‌باشد.

جدول شماره ۲-۶- محاسبه ضخامت لایه کوارتزیت

شماره ترانشه	ضخامت (متر)	فاصله (متر)	حاصل ضرب ضخامت در فاصله (متر مربع)	ضخامت متوسط (متر)
۱	۳۲	۱۸۹	۶۰۳۲	
۲	۱۳/۵	۸۹۰	۱۲۰۱۵	
۳	۲۱	۹۲۷	۱۹۴۶۷	
۴	۹	۱۳۵۲	۱۲۱۶۸	
۵	۲۷	۷۹۸	۲۱۵۴۶	
۶	۱۴	۳۱۲	۴۳۶۸	
۷	۱۱	۴۰۷	۴۴۷۷	
جمع		۴۸۷۵	۸۰۰۷۳	۱۶/۴۲

$$\text{متر مکعب } 16/42 \times 130,000 = 2,134,600 = \text{حجم لایه کوارتزیت}$$

$$\text{تن } 2/65 \times 2,134,600 = 5,656,690 = \text{ذخیره قطعی کوارتزیت}$$

با عیار ۹۷/۹۴ سیلیس

### ب- ذخیره احتمالی

جهت محاسبه ذخیره احتمالی، پایین‌ترین عمقی را که لایه کوارتزیت دیده می‌شود در نظر گرفته و سطح روی خط افق مماس بر آن نقطه محاسبه گردید. این سطح در مقطع طولی شماره (1) 1.998.775 متر مربع محاسبه و ذخیره احتمالی بصورت زیر محاسبه شد :

$$\text{متر مکعب } 32.819.885/5 = 16/42 \times 1.998.775 = \text{حجم لایه کوارتزیت}$$

$$2/65 \times 32.819.885/5 = 86.972.696/58 \quad \text{تن}$$

کوارتزیت با عیار متوسط 94/97 % سیلیس

### 2-1-6- لایه میکرو کنگلومرای کوارتزیت

این لایه همانگونه که در صفحات قبل نیز اشاره گردید به علت کنگلومرای بودن، در برابر فرسایش مقولمت کمتری داشته و تقریباً بدون حفر ترانشه غیر قابل دسترسی می‌باشد. لذا نمونه‌گیری از این لایه فقط در ترانشه‌ها صورت گرفته است.

نمونه شماره (TD-94) از این لایه جهت مطالعات زمین‌شناسی تهیه و نتایج آن به شرح ذیل است : کانی‌های تشکیل دهنده و به ترتیب فارواني عبارتند از : کوارتز، قطعات سنگی چرتی، کانی‌های رسی کلریت، اکسیدهای آهن و تیتان و کربنات که اغلب دانه‌های کوارتز گردشگی خوبی داشته ولی میکروفراکچر‌های فراوان در آنها دیده می‌شود.

اکسید و هیدروکسیدهای آهن بصورت ادخال، آغشتگی‌های اطراف دانه‌ها، پراکنده در داخل قطعات چرت و به ندرت به صورت قطعات مجزا دیده می‌شوند. خمیره سنگ شامل سیلیس ثانویه، کانی‌های رسی کلریت، اکسید و هیدروکسیدهای آهن می‌باشد. قطعات فلزیات مشاهده شده بیشتر از نوع قلیایی هستند.

### 1- محاسبه عیار متوسط

به علت پوشیده بودن این لایه توسط واریزهای میکروکریستالینی، محاسبه عیار متوسط  $\text{SiO}_2$ ,  $\text{Fe}_2\text{O}_3$ ,  $\text{Al}_2\text{O}_3$  فقط از نمونه‌های ترانشه‌ها که مربوط به این لایه بود طبق جدول شماره (3-6) انجام شده است. فواصل ترانشه‌ها به علت نامساوی بودن، در محاسبات مربوط به عیار دخالت داده شده است.

## جدول شماره ۳-۶ - محاسبه عیار متوسط

در لایه میکروکنگلومرای کوارتزیت  $\text{SiO}_2$ ,  $\text{Fe}_2\text{O}_3$

شماره ترانشه	فاصله (متر)	عيار $\text{SiO}_2$ در صد	حاصل ضرب عیار $\text{SiO}_2$ در فاصله	عيار $\text{Fe}_2\text{O}_3$ در صد	حاصل ضرب عیار $\text{Fe}_2\text{O}_3$ در فاصله
۱	۱۸۹	۸۴/۴	۱۵۹۵۱/۶		
۲	۸۹۰	۹۱/۷۶	۸۱۶۶۶/۴	۰/۴۶	۴۰۹/۴
۳	۹۲۷	۹۴/۹	۸۷۹۷۲/۳		
۴	۱۳۵۲	۹۲/۴۸	۱۲۵۰۳۳	۰/۷۲	۹۷۳/۴۴
۵	۷۹۸	۹۰/۹۳	۷۲۵۶۲/۱	۰/۶۷	۵۳۴/۶۶
۶	۳۱۲	۹۲/۹۳	۲۸۹۹۴/۲	۰/۵۸	۱۸۰/۹۶
۷	۴۰۷	۹۱/۶	۳۷۷۸۱/۲	۰/۸۰	۳۲۵/۶
جمع	۴۸۷۵		۴۴۹۴۶۰/۷۶		۲۴۲۴/۰۶
		عيار متوسط (درصد)	۹۲/۲۰		۰/۶۴

### ۲- محاسبه ذخیره

الف - ذخیره قطعی :

جهت محاسبه ذخیره لایه میکروکنگلومرای کوارتزیت، از مقطع ترانشه‌ها ضخامت لایه مذکور اندازه‌گیری گردید و طبق جدول شماره (4-6) با تاثیر فاصله ترانشه‌ها از یکدیگر، ضخامت متوسط محاسبه گردید. سپس از مقطع طولي ترسیم شده بر روی لایه تاپ کوارتزیت (مقطع طولي شماره 1 پیوست همین گزارش)، مساحت محدوده‌ای که از ۳ طرف دیده شده بود ۱۳۰.۰۰۰ متر مربع محاسبه و از حاصل ضرب مساحت مذکور در ضخامت متوسط، حجم حاصل گردید. حاصل ضرب حجم در وزن حجمی میکروکنگلومرای کوارتزیت (2/5) برابر با ذخیره قطعی می‌باشد.

## جدول شماره ۴-۶ - محاسبه ضخامت لایه میکروکنگلومرای کوارتزیت

شماره ترانشه	ضخامت (متر)	فاصله (متر)	حاصل ضرب ضخامت در فاصله (متر مربع)	ضخامت متوسط (متر)
۱	۱۴	۱۸۹	۲۶۴۶	
۲	۴۰/۱۸	۸۹۰	۳۵۷۶۰/۲	
۳	۳۸/۰۵	۹۲۷	۳۵۲۷۲/۳۵	
۴	۵۴/۳۱	۱۳۵۲	۷۳۴۲۷/۱۲	
۵	۱۲/۸۲	۷۹۸	۱۰۲۳۰/۳۶	
۶	۱۹/۶۹	۳۱۲	۶۱۴۳/۲۸	
۷	۳۷/۳۲	۴۰۷	۱۵۱۸۹/۲۴	
جمع		۴۸۷۵	۱۷۸۶۶۸/۵۵	۳۶/۶۵

متر مکعب  $36/65 \times 130.000 = 4.764.500$  = حجم لایه میکرو کنگلومرای کوارتزیت  
 تن  $2/5 \times 4.764.500 = 11.911.250$  = ذخیره قطعی میکروکنگلومرای کوارتزیت  
 با عیار متوسط ۹۲/۲۰ % سیلیس

### ب- ذخیره احتمالی

جهت محاسبه ذخیره احتمالی، پایین‌ترین عمقی را که لایه میکروکنگلومرای کوارتزیت دیده شده بود در نظر گرفته و سطح روی خط افق مماس بر آن نقطه محاسبه گردید. این سطح در مقطع طولی شماره (1) ۱.۹۹۸.۷۷۵ متر مربع محاسبه و ذخیره احتمالی بصورت زیر محاسبه شد :

متر مکعب  $35/65 \times 1.998.775 = 73.225.104$  = حجم لایه میکرو کنگلومرای کوارتزیت  
 تن  $2/65 \times 73.225.104 = 194.046.525/6$  = ذخیره احتمالی  
 میکروکنگلومرای کوارتزیت با عیار متوسط ۹۲/۲۰ % سیلیس

### 6-2- محدوده ۱/۲۰.۰۰۰ (به استثنای محدوده ۱/۱۰.۰۰۰)

چون دقت مطالعه این محدوده با محدوده ۱/۱۰.۰۰۰ متفاوت می‌باشد، لذا ذخیره این قسمت جداگانه محاسبه شده است.

## 6-2-1- محاسبه عیار متوسط

محاسبه عیار متوسط  $\text{SiO}_2$ ,  $\text{Fe}_2\text{O}_3$ ,  $\text{Al}_2\text{O}_3$  از 6 نمونه مربوط به لایه تاپ کوارتزیت در محدوده شرق آرو، غرب آرو، سیدآباد، سریندان، جابان و آینه ورزان طبق جدول شماره (5-6) انجام شده است. چون فواصل نمونه‌ها برابر نبود، فواصل نمونه‌برداری نیز در محاسبات دخالت داده شد. به علت اینکه نمونه‌ها فقط از رخنمون‌های طبیعی برداشته شد و ترانشه در این محدوده حفر نشد، تفکیک لایه کوارتزیت و میکروکنگلومرای کوارتزیت امکان نداشت.

## جدول شماره ۵-۶- محاسبه عیار متوسط

$\text{SiO}_2$ ,  $\text{Fe}_2\text{O}_3$ ,  $\text{Al}_2\text{O}_3$  در لایه تاپ کوارتزیت

شمار نمونه	درصد $\text{SiO}_2$	درصد $\text{Fe}_2\text{O}_3$	درصد $\text{Al}_2\text{O}_3$	فاصله	حاصلضرب فاصله $\text{SiO}_2$ در درصد	حاصلضرب فاصله $\text{Fe}_2\text{O}_3$ در درصد	حاصلضرب فاصله $\text{Al}_2\text{O}_3$ در درصد
TD-2	۹۷	۰/۲	۱/۹۹	۴۴۸۳/۲۵	۴۳۴۸۸۴/۴۷	۸۹۶/۶۷	۸۹۲۱/۸۶
TD-3	۹۴/۶	۰/۲۳	۳/۲	۵۳۲۰/۳۸	۵۰۳۳۰۷/۹۵	۱۷۵۵/۷۳	۱۷۰۲۵/۲۲
TD-5	۹۸/۲	۰/۱۷	۰/۶۵	۱۷۵۵/۲۵	۱۷۲۲۷۴/۹۸	۲۹۸/۴۱	۱۱۴/۹۷
TD-6	۹۶/۹	۰/۲۱	۰/۹۱	۱۷۳۰/۶۸	۱۶۷۷۰۲/۵۰	۳۶۲/۴۴	۱۵۷۴/۹۲
TD-7	۹۸/۴	۰/۱۵	۰/۵۴	۳۴۵۹/۰۱	۳۴۰۳۶۶/۰۹	۵۱۸/۸۵	۱۸۶۷/۸۶
TD-8	۹۷/۶	۰/۱۸	۰/۹۶	۳۱۵۳/۳۰	۳۰۷۸۶۲/۰۸	۵۶۷/۵۰	۳۰۲۷/۱۷
جمع				۱۹۹۰۲/۰۵	۱۹۲۶۳۹۸/۰۷	۴۴۰۰ ۶۶	۳۳۵۵۷/۹۹
عيار متوسط				۹۶/۷۹	۰/۲۲	۱/۶۹	

## 6-2-2- محاسبه ذخیره

جهت محاسبه ذخیره احتمالی، پایین‌ترین عمقی را که لایه تاپ کوارتزیت دیده شده بود در نظر گرفته و سطح روی خط افق مماس بر آن نقطه محاسبه گردید. این سطح در مقطع طولی شماره (2) 5.030.000 متر مربع محاسبه و ذخیره احتمالی بصورت زیر محاسبه شد :

## جدول شماره ۶-۶- محاسبه ضخامت لایه تاپ کوارتزیت

شماره نمونه	ضخامت (متر)	فاصله (متر)	حاصل ضرب ضخامت در فاصله (متر مربع)	ضخامت متوسط (متر)
TD-2	۵۰	۴۴۸۳/۳۵	۲۲۴۱۶۷/۵	
TD-3	۲۵	۵۳۲۰/۳۸	۱۳۳۰۰/۵	
TD-5	۴۵	۱۷۵۵/۳۵	۷۸۹۹۰/۷۵	
TD-6	۴۵	۱۷۳۰/۶۸	۷۷۸۸/۶	۴۲.۵
TD-7	۵۵	۳۴۵۹/۰۱	۱۹۰۲۴۵/۵۵	
TD-8	۴۵	۳۱۵۳/۳۰	۱۴۱۸۹۸/۵	
		۱۹۹۰۲/۰۵	۸۴۶۱۹۲/۴	

$$\text{متر مکعب} = \frac{42}{5} \times 5,030,000 = 213,775,000 = \text{حجم لایه کوارتزیت}$$

$$\text{تن} = 550,470,625 = \frac{2}{575} \times 96\% \text{ ذخیره احتمالی با عیار} 79/96 \text{ سیلیس}$$

### فصل هفتم

#### صارف و کاربرد

#### 7-1- مصرف و کاربرد سیلیس

##### 7-1-1- صنایع شیشه

بیشترین کاربرد سیلیس تقریباً خالص، در صنعت شیشه‌سازی است. سیلیسی که برای این منظور استفاده می‌شود از ویژگی‌هایی چون یکنواختی ترکیب شیمیایی، بالا بودن عیار  $\text{SiO}_2$ ، پایین بودن عیار فلزات رنگین به ویژه آهن و نداشتن کانی‌های کربناتی و رسی برخوردار است.

#### 7-2- موارد استفاده مستقیم از سیلیس

آنچه که به نام ماسه در مصالح ساختمانی به کار می‌رود، باید ترکیب سیلیس داشته باشد. ماسه غیر سیلیسی مانند ماسه آهکی و شیلی هم می‌توانند جایگزین گردند. بنابراین باید در هنگام به کار بردن ماسه، ساختمان‌های اصلی ترکیب آن شناخته شده باشد.

#### 7-1-3- آجرهای ماسه‌خاکی

با مخلوط کردن حدود 20 تا 30 درصد از خاک (Soil) یا مارن (Marl) و حدود 70 تا 80 درصد از ماسه سیلیسی که ماسه بادی هم می‌تواند باشد و تهییه خشت از این آمیزه و گرم کردن آن تا حدود 1000 تا 1200 درجه سانتیگراد، می‌توان آجر ماسه‌خاکی تهییه کرد.

#### 7-1-4- آجر ماسه‌آهکی

ماسه سیلیسی و گرد آهک شکفته با نسبت معینی آب چنانچه زیر فشار آجر شود و در دمای 200 تا 300 درجه قرار گیرد، آجر ماسه‌آهکی می‌سازد.

#### 7-1-5- صنایع نسوز و دیر گذازه‌ها

سیلیس به صورت خالص به عنوان ماده نسوز با کیفیت عالی و در عایق‌های گرمایی زیاد به کار فته و در حالت ناخالص در آجرهای سیلیسی نسوز به کار برده می‌شود. سیلیس دارای ضریب انبساط کم ( $C \times 10^{-7}$ ) و مقاوم در دماهای بالا است. از این رو در ساختن وسائلی که با تغییرات سریع دما توأم هستند، به کار می‌رود. ویژگی‌های فیزیکوشیمیایی سیلیس در کاربرد آن به عنوان مواد نسوز، نقش مهمی در کیفیت محصول دارند. جداول (1-7) و (2-7) بعضی از این خصوصیات را نشان می‌دهند.

## جدول ۱-۷- ترکیب نسوزهای سیلیسی

نوع نسوز ترکیب درصد	نسوز سیلیسی شیشه سازی	نسوز سیلیسی کوره بلند	نسوز سیلیسی متوسط	نسوز سیلیسی عالی
SiO <sub>2</sub>	۹۵-۹۷	۹۴-۹۶	۹۴-۹۶	۹۵-۹۸
Al <sub>2</sub> O <sub>3</sub>	۱-۱/۵	۱-۲	۰/۶-۱/۵	۰/۲-۰/۶
CaO	۱/۵-۲/۵	۱-۳	۲-۲/۵	۱-۲
Fe <sub>2</sub> O <sub>3</sub>	۱-۱/۵	۱-۲/۵	۱-۲	۱-۲

## ۱-۷-۶- کاربردهای اختصاصی و ظرفی

در سایندها : SiC یکی از سایندهایی است که فراوری آن نیاز به بکارگیری تکنیک‌های بسیار پیشرفته دارد.

رویش بلور : در صنایع پیروالکتریک، ساعت سازی، سلول‌های خورشیدی و ابزارهای شیمیابی، کوارتزهای به نسبت خالص را مصرف می‌کند.

## ۱-۷-۲- استانداردهای سیلیس

از آنجا که بیشترین کاربرد سیلیس در صنایع شیشه است و از طرفی به خاطر ویژگی‌های فیزیکی شیشه، رنگ، شفافیت، پایداری در فرآیند شیشه‌سازی، یکنواختی و خلوص سیلیس اهمیتی بهسزا دارد، بنابراین استانداردهای سیلیس در رابطه با کاربرد سیلیس در صنایع شیشه‌سازی و تولید انواع شیشه تعریف می‌شود. اصولاً ناخالصی‌هایی از قبیل اکسیدهای عناصر واسطه در سیلیس، باعث رنگی شدن شیشه می‌شود. اگر درصد اکسیدهای عناصر از حد مجاز بالاتر باشد، تولیدکنندگان شیشه باید به بیرنگ کننده‌های گران‌قیمت روی آورند. روشن است که بالاترین عیار پذیرفتی ناخالصی‌ها با کیفیت شیشه و کاربردی که برای شیشه منظور می‌شود تغییر می‌کند. به طور نمونه برای فرآوری شیشه‌های

جام معمولی میزان 0/0 درصد اکسیدهای آهن پذیرفتی است. در صورتی که برای تولید شیشه‌های نوری بالاترین عیار مجاز 0/001 درصد است.

درباره ناخالصی‌ها باید گفت که در فرآوری شیشه در مقیاس صنعتی علاوه بر میزان ناخالصی‌ها، یکنواختی عیار ناخالصی‌ها نیز از اهمیتی ویژه برخوردار است. زیرا آنگاه که میزان ناخالصی و یکنواختی سیلیس برای تولید کننده مشخص باشد، می‌توان خط تولید را بر همان پایه تنظیم کرد. از سویی برای فراهم آوردن پایداری در فرآیند تولید شیشه باید عیار اکسیدهای فلزی، از جمله آهن، در یک محدوده ثابت بماند. تجربه نشان داده است که نوسان عیار اکسید آهن در مواد اولیه، هیچگاه نباید از 1 درصد تجاوز کند، زیرا افزایش هر 1 درصد اکسید آهن به کاهش حدود 10 درجه سانتیگراد دمای کف کوره خواهد انجامید.

گفتنی است از آنجا که استاندارد هر کشور بر پایه ماده اولیه همان کشور تنظیم می‌شود، پس استاندارد نیز ویژه آن کشور خواهد بود.

## 7-2-1- استاندارد ایالات متحده امریکا

### 1- شیشه فلینت

تجزیه شیمیایی ماسه سیلیسی مورد قبول توسط بیشتر تولیدکنندگان شیشه فلینت در ایالات متحده امریکا به شرح زیر است :

### جدول ۳-۷- استاندارد سیلیس برای تولید شیشه فلینت در آمریکا

$\text{SiO}_2$	حداقل	۰/۹۹/۵	درصد $\pm$	۰/۱۵
$\text{Fe}_2\text{O}_3$	حداکثر	۰/۰۲۵	درصد $\pm$	۰/۰۱
$\text{Al}_2\text{O}_3$	حداکثر	۰/۲	درصد $\pm$	۰/۰۷
$\text{TiO}_3$	حداکثر	۰/۰۲	درصد $\pm$	۰/۰۰۲
$\text{CaO}$	حداکثر	۰/۰۵	درصد $\pm$	۰/۰۲۵
$\text{Cr}_2\text{O}_3$	حداکثر	۰/۰۰۰۲	درصد	۰/۰۰۰۲
$\text{CO}_3\text{O}_4$	حداکثر	۰/۰۰۰۲		
$\text{MnO}_2$	حداکثر	۰/۰۰۲		

### 2- شیشه جام

در ایالات متحده آمریکا برای تولید شیشه جام از ماسه سیلیسی زرد با ترکیب زیر استفاده می‌شود.

## جدول ۷-۴- استاندارد سیلیس برای تولید شیشه جام در آمریکا

$\text{SiO}_2$	درصد ۹۷/۱
$\text{Al}_2\text{O}_3$	درصد ۰/۲۵
$\text{Fe}_2\text{O}_3$	درصد ۰/۱۵
$\text{TiO}_2$	درصد ۰/۰۵
$\text{Cr}_2\text{O}_3$	درصد ۰/۰۲

## 7-2-2- استاندارد انگلستان

### 1- شیشه جام

تجزیه شیمیایی سیلیس و دانه‌بندی برای تولیدکنندگان شیشه جام در انگلستان به شرح جدول زیر است:

## جدول ۷-۵- استاندارد سیلیسیز برای تولیدشیشه جام انگلستان

$\text{SiO}_2$	حداصل درصد $\pm 96\%$	۰/۳
$\text{Fe}_2\text{O}_3$	حداکثر درصد $\pm 1\%$	۰/۰۶
$\text{Al}_2\text{O}_3$	حداکثر درصد $\pm 1/6\%$	۰/۱

## جدول ۷-۶- استاندارد دانه بندی سیلیسیز برای تولیدشیشه جام انگلستان

حد بالائی ۱ میلی متر	
حد متوسط ۲۵۰ میکرون	
حد زیرین ۱۲۵ میکرون	

سیلیس مصرفی همچنین باید از ناخالصی هایی نظیر کرومیت (Chromite)، سیلیمانیت (Sillimanite) و کروندوم (Corundum) که به واسطه نسوز بودن در کوره ذوب نمی‌شود و در فرآورده به صورت ذرات تیره رنگی بر جای می‌مانند، عاری باشد. رطوبت در مواد اولیه ضرورت دارد ولی باید کمتر از ۵ درصد باشد.

### ۲- شیشه فلینت

در تولید شیشه‌های بی‌رنگ فلینت (Flint) مواد اولیه باید فاقد عناصر رنگی باشند. مشخصات ماسه سیلیسی برای تولید شیشه‌های فلینت در استاندارد انگلیسی BS2975 داده شده است. بر پایه این استاندارد سه نوع سیلیس برای فرآوری شیشه فلینت در نظر گرفته شده است.

- نوع A برای تولید شیشه‌های نوری (optical glass) با کیفیت بالای مواد اولیه است. این نوع شیشه‌ها دارای مشخصاتی طبق جدول زیر است :

## جدول ۷-۷ - استاندارد سیلیس برای تولیدشیشه فلینت نوع A انگلستان

$\text{SiO}_2$	۹۹/۵ حداقل درصد
$\text{Fe}_2\text{O}_3$	٪ ۰/۰۸ حداکثر درصد
$\text{TiO}_2$	٪ ۰/۰۳ حداکثر درصد
$\text{Cr}_2\text{O}_3$	٪ ۰/۰۰۰۲ حداکثر درصد

- نوع B برای تولید شیشه‌های تزئینی و وسایل خانگی بسیار مرغوب مورد استفاده قرار می‌گیرند و مشخصات نوع A را دارند با این تفاوت که میزان اکسید آهن تا حداکثر ۰/۰۱۳ درصد قابل قبول است.

- نوع C برای تولید شیشه‌های بی‌رنگ معمولی مانند بطری‌ها و وسایل خانگی معمولی بوده و مشخصات آن طبق جدول زیر است :

## جدول ۷-۸ - استاندارد سیلیس برای تولیدشیشه فلینت نوع C در انگلستان

$\text{SiO}_2$	۹۸/۵ حداقل درصد
$\text{Fe}_2\text{O}_3$	٪ ۰/۰۴ حداکثر درصد
$\text{Cr}_2\text{O}_3$	٪ ۰/۰۰۰۶ حداکثر درصد
$\text{TiO}_2$	٪ ۰/۰۰۰۲ حداکثر درصد

گفتنی است که در انگلستان عملاً برای تولید شیشه‌های فلینت نوع C از ماسه سیلیس با عیار اکسید آهن ۰/۰۰۵ درصد استفاده می‌شود مشروط بر آنکه یکنواختی ترکیب در حد ۰/۰۰۵ درصد حفظ شود.

### 3- بطری‌های رنگی

مسئله اصلی در ساخت بطری‌های رنگی همان یکنواختی ترکیب شیمیایی و دانه‌بندی مواد اولیه است. در این مورد میزان بیشتر اکسید آهن قابل قبول است. عیار مجاز اکسید آهن در فرآوری شیشه‌های رنگی چنین است که بیشتری عیار اکسید آهن در شیشه‌های سبز رنگ ۰/۳ درصد و بیشترین عیار اکسید آهن در شیشه‌های کهربائی و قهوه‌ای رنگ یک درصد است.

### 4- پشم شیشه

ویژگی‌های مواد اولیه برای تولید پشم شیشه به اندازه شیشه‌های دیگر حساس نیست. در فرآوری پشم شیشه باید گرانزوی (Viscosity) شیشه مذاب به دقت کنترل شود. چون شفافیت شیشه فرآوری شده جزء ویژگی‌های فرآورده نیست، لذا وجود تکسید آهن بیشتر در مواد اولیه مجاز است. برای حفظ پایداری فرآورده، اکسید آلومینیوم به مواد اولیه افزوده می‌شود و همچنین به واسطه نوع خاص کوره‌های تولید پشم شیشه، وجود گرد و غبار در مواد اولیه مسدله ساز نیست ولی می‌توان دانه‌بندی نرمتری را به کار برد.

### 5- شیشه‌های عینک

میزان جذب نور در شیشه‌های عینک و نوری که در عمل وابستگی تنگاتنگ با یون‌های فلزی دارد، از اهمیت ویژه‌ای برخوردار است. بنابراین شیشه‌های نوری تا آنجا که ممکن است، باید عاری از فلزات باشد. خلوص سیلیس باید بالا و عیار آهن و آلومینیوم تا آنجا که ممکن است پائین باشد. شیشه عینک از ماسه‌های سیلیسی و شیشه نوری از کوارتز با خلوص بالا استفاده می‌شود.

### 3-2-7- استاندارد ترکیه

تجزیه شیمیایی متوسط پودر سیلیس در صنعت تولید شیشه جام و بلور ترکیه طبق جدول 7-9 است :

## جدول ۹-۷ - تجزیه شینمایانی شیشه جام و بلور ترکیه

ترکیب	بلور	شیشه جام
SiO <sub>2</sub>	% ۹۹/۲۶	% ۹۹
Fe <sub>2</sub> O <sub>3</sub>	% ۰/۰۳۶	% ۰/۱۲
Al <sub>2</sub> O <sub>3</sub>	% ۰/۲۰	% ۰/۲۹
TiO <sub>2</sub>	% ۰/۰۹۸	% ۰/۲۴
CaO	% ۰/۰۵۷	% ۰/۰۴۵
MgO	% ۰/۲۴	% ۰/۰۱۸
Na <sub>2</sub> O	% ۰/۰۲۰	% ۰/۰۴۶
K <sub>2</sub> O	% ۰/۰۷۹	% ۰/۳۶

استاندارد قابل قبول دانه‌بندی پودر سیلیس در کارخانه‌های شیشه جام ترکیه به روش فلوت و شیشه جام آناتولی به روش پینتسبورگ چنین است:

## جدول ۱۰-۷ - استاندارد دانه بندی سیلیس برای کارخانه شیشه ترکیه

%۰/۱	دانه های بزرگتر از ۰/۵۹ میلیمتر
% ۱	دانه های کوچکتر از ۰/۱۰ میلیمتر
% ۳	دانه های کوچکتر از ۰/۰۷۴ حداقل

## جدول ۱۱-۷- درصد اکسید آهن سیلیسین در محصولات مختلف ترکیه

فرآوری شیشه جام	حداکثر ۰/۱۳٪ با یکنواختی ۰/۰۱٪
بطریهای بی رنگ	حداکثر ۰/۰۷٪ با یکنواختی ۰/۰۱٪
ظروف بی رنگ صنعتی	حداکثر ۰/۰۵٪ با یکنواختی ۰/۰۱٪
بلور و وسایل خانگی	حداکثر ۰/۰۴٪ با یکنواختی ۰/۰۱٪
ظروف کریستال	حداکثر ۰/۰۱٪ با یکنواختی ۰/۰۰۱٪

### 7-2-4- استاندارد ماسه های سیلیسی در ریخته‌گری

در ریخته‌گری واژه ماسه ریخته‌گری به دانه‌های سیلیسی گفته می‌شود که کمتر از ۹۵ درصد سیلیس  $\text{SiO}_2$  نداشته باشد و قطر دانه‌ها از ۰/۰۵ تا ۰/۳۶ میلیمتر (۶ تا ۲۷۰ مش) باشد ولی در عمل ماسه‌های سیلیسی که در ریخته‌گری استفاده می‌شوند دارای ابعاد ۰/۰۵ تا ۱ میلیمتر هستند، ماسه سیلیسی ریخته‌گری به دو نوع طبیعی و مصنوعی تقسیم می‌شود.

ماسه سیلیسی ریخته‌گری طبیعی (Clay Bonded) دانه‌های سیلیسی است که دارای ۵ تا ۲۰ درصد خاک رس به عنوان چسب باشد و با افزودن آب بدان می‌توان در صنایع ریخته‌گری به کار برد. ماسه ریخته‌گری مصنوعی (Synthetic Sand) نیز خاستگاهی طبیعی دارد، با این ویژگی که عاری از رس می‌باشد و در هنگام مصرف می‌باید مقداری خاک رس بدان افزود تا مناسب کار ریخته‌گری شود. ماسه ریخته‌گری مصنوعی به دلیل باز بودن دست مصرف کننده در افزودن رس بدان، بر گونه طبیعی خود برتری دارد، به ویژه آن گاه که دماهای بیش از ۱۳۰۰ درجه سلسیوس در میان باشد.

### 7-2-5- استاندارد ایران

تاکنون در ایران استانداری برای سیلیس مورد استفاده در صنعت شیشه و بلور تدوین نشده است. از این رو باید بررسی فراگیر درباره مواد اولیه سیلیسی موجود در کشور به عمل آید و بر پایه فراوانی، نزدیکی و دسترسی به منابع مواد اولیه، ترکیب شیمیایی، ویژگی‌های فیزیکی و هزینه آرایش

استاندارهای مربوط بتوان محصولی با کیفیت مطلوب فرآوری کرد. در حال حاضر معیارهای زیر از سوی کارخانجات فرآوری شیشه و بلور پذیرفته شده و به کار گرفته می‌شود.

### جدول ۱۲-۷- ترکیب شیشه جام به روش قدیمی

باکنواختی ۰/۰۱ درصد	حداکثر ۰/۰ درصد	اکسید آهن
باکنواختی ۱/۰ درصد	حداکثر ۲ درصد	آلومینیوم
باکنواختی ۱ درصد	حداکثر ۵ درصد	رطوبت

## جدول ۱۳-۷- ترکیب شیشه جام به روش فلوت

(شرکت شیشه شناور بابک ایران):

سیلیس	حداکثر ۹۷ درصد	باکنواختی ۳/۰ درصد
اکسید آهن	حداکثر ۱/۰ درصد	باکنواختی ۱/۰ درصد
آلومینیوم	حداکثر ۱/۲ درصد	باکنواختی ۱/۰ درصد
رطوبت	حداکثر ۵ درصد	باکنواختی ۱ درصد

## جدول ۱۴-۷- ترکیب بطری سازی

اکسید آهن	حداکثر ۰/۸ درصد	باکنواختی ۰/۰ درصد
اکسید آلومینیوم	حداکثر ۲ درصد	باکنواختی ۱/۰ درصد
رطوبت	حداکثر ۵ درصد	باکنواختی ۱ درصد

## جدول ۱۵-۷- ترکیب لعاب سازی

اکسید آهن	حداکثر ۰/۸ درصد	باکنواختی ۰/۰ درصد
-----------	-----------------	--------------------

### جدول ۱۶-۷ - ترکیب لامپ و شیشه های صنعتی

بايكنواختی ۱/۰ درصد	حداکثر ۰/۶ درصد	اکسید آهن
بايكنواختی ۱/۰ درصد	حداکثر ۲ درصد	آلومینیوم
بايكنواختی ۱ درصد	حداکثر ۵ درصد	رطوبت

### جدول ۱۷-۷ - ترکیب وسایل خانگی، بلور و ظروف مشابه

بايكنواختی ۱/۰ درصد	حداکثر ۰/۴ درصد	اکسید آهن
بايكنواختی ۱/۰ درصد	حداکثر ۲ درصد	آلومینیوم
بايكنواختی ۱ درصد	حداکثر ۵ درصد	رطوبت

### جدول ۱۸-۷ - ترکیب کریستال و بلور ممتاز

	حداقل ۹۹ درصد	سیلیس
بايكنواختی ۱/۰ درصد	حداکثر ۲ درصد	اکسید آهن

با تشخیص ناخالصی‌های یافت شده در کانسنگ سیلیس می‌توان به فرآوری آن پرداخت، تا فرآوردهای بدون ناخالصی با کیفیت مناسب برای کاربردهای گوناگون صنعتی بdst آورد. ناخالصی‌های یافت شده در کانسنگ چنین گروه‌بندی می‌شوند:

- کانی‌های رسی
- فلزپات‌ها
- اکسیدهای آهن و دیگر کانی‌های سنگین
- میکاها

### 7-3-1- روش‌های معمول در فرآوری سیلیس

- خردایش سیلیس در یک یا چند گام، توسط سنگ شکن در مدار بسته یا باز، به منظور رساندن آن به اندازه مناسب
- شستشو برای جدا کردن ناخالصی‌ها
- عبور دادن ذرات درشتتر از آسیای میله‌ای در مدار بسته یا باز
- مالش سیلیس برای جدا کردن ناخالصی‌ها
- عبور دادن از مغناطیس برای گرفتن ذرات اکسید آهن مغناطیس
- گرفتن ناخالصی‌ها نظیر اکسیدهای آهن، فلزپات‌ها و غیره با کمک روش فلوتاسیون مستقیم
- دانه‌بندی آن برای استفاده در صنایع

### 7-3-2- فرآوری سیلیس در ایران

یک مورد شستشوی سیلیس توسط شرکت‌های تاوان سیلیس و شرکت تأمین ماسه ریخته‌گری ایران صورت می‌گیرد که به منظور فرآوری سیلیس مناسب برای کاربردهای ریخته‌گری می‌باشد. مورد دوم مربوط به آرایش سیلیس برای مصارف تولید شیشه و بلور است که توسط شکت‌های استخراج مواد اولیه شیشه برای ذخایر سیلیس ناحیه تاکستان و شرکت شیشه شناور بابک ایران برای فرآوری ماسه‌های سیلیسی شهر بابک انجام شده است.

## جدول ۷-۱۹-۷ - کارخانجات آرایش سیلیس موجود و طرحهای توسعه

ردیف	نام	محل	مقدار تولید سالیانه	کاربرد	وضعیت طرح
۱	ایران سیلیکو	قزوین	۸۰۰۰	شیشه جام و بلور	در حال کار
۲	تاؤان سیلیس	گرمسار	۸۰۰۰	شیشه جام و ماسه ریخته گری	در حال کار
۳	تامین ماسه ریخته گری	فیروزکوه	۷۰۰۰	ماسه ریخته گری	در حال کار
۴	شرکت استخراج مواد اولیه شیشه	تاکستان	۲۰۰۰۰	شیشه جام و بلور	در دست احداث
۵	شیشه شناور	شهر بابک	۱۰۰۰۰	شیشه بلور	در دست احداث

### 3-7-7- فرآوری سیلیس در محدوده دماوند - فیروزکوه

دو فاکتور این محدوده، ذخیره سیلیس را بسیار با ارزش و قابل سرمایه‌گذاری نموده است که عبارتند از :

الف - درصد سیلیس، اکسیدهای آهن و آلومینیوم و یکنواختی آن : میانگین بالای عیار سیلیس و پایین بودن درصد اکسیدهای آهن و آلومینیوم در لایه کوارتزیت ( $Fe_2O_3 = \% 0.25$  ,  $Al_2O_3 = \% 0.73$  ,  $SiO_2 = \% 92.89$ ) در محدوده مطالعه شده  $1/10.000$  و در لایه تاپ کوارتزیت در خارج از محدوده  $Fe_2O_3 = \% 0.22$  ,  $Al_2O_3 = \% 1.69$  ,  $SiO_2 = \% 96.79$  ( $1/10.000$  و یکنواختی آن جهت فرآوری بسیار قابل توجه است.

ب - ذخیره بسیار بالا : ذخیره محدوده  $1/10.000$  لایه کوارتزیت، ۵.۶۵۶.۶۹۰ میلیون تن «قطعي» و ۸۶.۹۷۲.۶۹۶/۵۶ میلیون تن «احتمالی» میکروکنگلومراي کوارتزیت ۱۱.۹۱۱.۲۵۰ میلیون تن

«قطعي» و 194.046.525/6 ميليون تن «احتمالي» بوده و لايे تاپ کوارتزيت در محدوده 1/20.000 داراي 550.470.625 ميليون تن ذخیره «احتمالي» مي‌آشد.

لذا با توجه به فاكتور هاي فوق، فرآوري سيليس بسيار اهميت پيدا مي‌کند. يعني ذخيره بالاي سيليس باعث مي‌شود که اين منطقه به يك قطب بزرگ توليد سيليس تبديل شود و يکنواختي تركيبات آن نيز باعث راحتی کار فرآوري و در نتيجه سود دهي بالا مي‌شود که قدرت رقابت را از ساير توليد کنندگان خواهدگرفت. به همين دليل هر گونه سرمایه‌گذاري جهت فرآوري سيليس قابل توجيه خواهد بود.

#### 7-4- واحدهای مصرف کننده سيليس و نياز ساليانه آنها

##### 7-4-1- شيشه و بلور

جمع مصرف سيليس برای شيشه و بلور در حال حاضر 288.000 تن در سال و با تحقق طرح هاي توسعه برابر 463.000 تن و با رفع كمبود شيشه و بلور طي يك برنامه 5 ساله برابر 588.000 تن خواهد بود. تمکرزا کارخانجات شيشه و بلور بطور عمده در تهران، قزوین، همدان و ساوه است و اخيراً شهر بابک نيز به اين ليست پيوسته است.

کيفيت سيليس بهره‌برداري شده از معدن به ندرت با کيفيت مورد نياز شيشه و جام و بطري‌سازی تطبيق مي‌کند، حال آنکه برای ساخت بلور و ظروف كريستال به هيج وجه مناسب نیست.

در حال حاضر برای رسیدن به ویژگی دلخواه سيليس برای فرآوري شيشه و جام و بلور باید بهره‌برداري گزينشي در معدن انجام گيرد که اين به معني اتلاف بخش عده انباشه‌های معدنی و بر جاي گذاشت آن است. در عين حال از ذخایر عده سيليس به دليل مسئله کيفيت باید چشمپوشی شود. با نگرش به فرآوري نکردن سيليس، فرآوري بلورهای ممتاز در کشور در حال حاضر با دشواری‌های بي‌شماري روبرو است. بررسی چند کارگاه بلورسازی با کيفيت نسبتاً بالا نشان داد که به واسطه کيفيت پابين سيليس، اغلب اين کارگاه‌ها از بطري‌ها و شيشه‌های شکسته خارجي که کيفيت بالا دارند به عنوان ماده اوليه استفاده مي‌کنند و با اين روش، مشخص است که امكان توليد انبوه بلورهای ممتاز وجود ندارد.

حاصل نکات ياد شده اين است که، ناهمانگي‌هایي ميان کيفيت سيليس بهره‌برداري شده از معادن و استانداردهای مصرف سيليس وجود دارد که تنها با فرآوري و آرایش سيليس از ميان برداشته مي‌شود. در عين حال فرآوري سيليس امکان فرآوري انبوه فرآورده‌های شيشه‌ای با کيفيت بالا را نيز فراهم مي‌آورد و با مصرف همه سيليس بهره‌برداري شده معادن از اتلاف انباشه‌های معدنی در سطح گسترده جلوگيري خواهد شد.

##### 7-4-2- ريختهگري

جمع مصرف ماسه ریخته‌گری در کارخانه‌ها (به جز مصارف شرکت ملی فولاد ایران و صنایع فولاد) برابر 160,000 تن در سال 1370 و در ظرفیت کامل 240,000 تن و با پشت سر گذاشتن برنامه توسعه 5 ساله به 300,000 تن در سال رسیده است.

تمرکز عمدۀ کارخانجات مصرف‌کننده ماسه ریخته‌گری شهرستان‌های تهران، قزوین، اراك، سمنان و تبریز است.

تمرکز انباشته‌های مناسب ماسه ریخته‌گری در سمنان، فیروزکوه و زنجان است (ماسه‌های ریخته‌گری مورد نظر صنایع فولاد در این برآورد منظور نشده است).

#### - مصرف‌کننده‌های عمدۀ ماسه ریخته‌گری عبارتند از :

ماشین‌سازی تبریز، ماشین‌سازی اراك، آذرباچ، تولید قطعات فولادی، پروفیل نیمه سبک، پارس متال، کلاچ، لوله و ماشین‌سازی، مالی بل، ایرقو، ایران خودرو، تراکتورسازی تبریز، ارج، فارسیت، ایران ابزار، پیرلس، ایرانیت، راه آهن، اشتاد، صنایع ریخته‌گری ایران، شوفاز کار، اتمسفر، فولیران، فرد ایران و سرانجام ریخته‌گری‌های سنتی و نیمه سنتی.

#### 7-4-3- فروآلیاژ‌ها

جمع تولید فروآلیاژ‌ها 50,000 تن طاحی شده است که برای هر یک از واحدها، کارخانه آرایش و دانه‌بندی مواد نیز در نظر گرفته شده است.

#### 7-4-4- سایر مصارف

سایر مصارف سیلیس در مقایسه با حجم بالای کاربرد آن در شیشه و بلور و ریخته‌گری چندان نیست و با تأمین ماسه آراسته در استانداردهای مخالف در واحدهای آرایش این نیاز نیز برطرف خواهد شد. زیر بخشی از صنایع سیلیس به کیفیت بالا نیاز ندارد. سیلیس کوبیهای موجود که در این گزارش به لحاظ کیفیت نازل فرآورده‌هایشان به آنها اشاره نشده، است می‌توانند نیاز این بخش را تأمین کنند و در مقابل بخشی از سیلیس آراسته واحدهای فرآوری به واحدهای نیازمند استاندارد بالای سیلیس عرضه خواهد شد و این جابجایی نیازهای آینده را برطرف خواهد کرد.

نتیجه کلی آنکه باید بطور جدی در چاره‌اندیشی آرایش سیلیس بود. علاوه بر طرح‌های در حال کار و در دست اجرای فعلی در سطح 500.000 تن در سال برای شیشه و بلور و 300.000 تن در سال برای ریخته‌گری سیلیس مورد نیاز می‌باشد.

## فصل هشتم

## نتیجه‌گیری و پیشنهاد

با توجه به مطالب فصل‌های قبل، به سادگی می‌توان به این نتیجه منطقی رسید که نیاز کشور به شیشه و سایر فرآورده‌های سیلیس از یک طرف و ذخیره عظیم، کیفیت خوب و یکنواخت سیلیس موجود در لایه تاپ کوارتزیت محدوده دماوند – فیروزکوه، وجود راه‌های دسترسی و نزدیکی آن به تهران از طرف دیگر، این محدوده را جهت سرمایه‌گذاری بسیار مناسب و با ارزش نموده است. لذا این سرمایه عظیم باید به نحو شایسته‌ای استخراج و فرآوری گردد و به گونه‌ای برنامه‌ریزی شود که در آخر قسمت‌هایی از آن بدون مصرف باقی نماند. جهت تحقیق این مطلب، موارد ذیل پیشنهاد می‌گردد:

الف - مطالعه بقیه لایه تاپ کوارتزیت با مقیاس 1/10.000 و حفر ترانشه، چاهک، نمونه‌گیری و آنالیز نمونه‌ها جهت محاسبه عیار متوسط سیلیس و اکسیدهای آهن و آلومینیوم و همچنین محاسبه ذخیره قطعی.

ب - طراحی حداقل 5 گمانه 100 متری در نقاط مختلف، برای بدست آوردن کیفیت سیلیس لایه تاپ کوارتزیت در اعماق پایین که تغییرات کیفی سیلیس در اعماق پایین مراحل بعدی کار را در خصوص مطالعات دقیق‌تر مشخص می‌کند. یعنی اگر در کیفیت سیلیس تغییر چندانی دیده نشود نیاز به گمانهزنی با فاصله کمتر نخواهد بود.

ج - تهیه چندین نمونه پایلوت از کل لایه تاپ کوارتزیت جهت فرآوری سیلیس و مطالعات مربوط به احداث کارخانه فرآوری مناسب از لحاظ رسیدن به کیفیت مطلوب و همچنین بدست آوردن بهترین نقطه احداث کارخانه فرآوری برای کاهش هزینه حمل.

اگر قبل از انجام مراحل فوق، اقدام به استخراج سیلیس سود ممکن است بخش عده‌ای از ذخیره که عیار پایین‌تری دارد بدون استفاده گردد.

وہشگران شیمی  
سهامی خاص

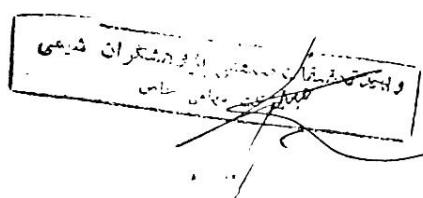


تاریخ ۷۷/۱۱/۱۱  
شاره ۷۴۴۵۰۱  
پرست

۳۸

و بازتابی خیبات - کارخانجات و کارگاههای توسعه ای اکتوپلاکت بحره سفیدی - کنترل رسوب دادن ماسه در پالایش خودرو و مکمل

SampI.No.	Lab.No.	%SiO <sub>2</sub>
TD-85	3524	96,3
TD-86	3525	98,0
TD-87	3526	98,4
TD-88	3527	98,2
TD-89	3528	93,6
TD-90	3529	98,6
TD-91	3530	91,1
TD-95	3531	90,8
TD-96	3532	78,0
TD-97	3533	98,3
TD-98	3534	97,4
TD-99	3535	98,0
TD-100	3536	98,3



سید جباری

آدرس: تهران، خیابان میرزا شیرازی، هلاک ۶۳، طبقه چهارم تلفن و فاکس: ۰۲۰-۸۴۲۳

# هشگران شیمی

سهامی خاص



۶۸

برجه  
شاره  
پیروت

درازیابی صنایعات کارخانجات و کارخانهای تولیدی نصفه ایت و فاضلات زغال‌سازی و معدن کیفیت از آنها بررسی مقاله تحقیقی

L.No.	Lab.No.	%SiO <sub>2</sub>	%Al <sub>2</sub> O <sub>3</sub>	%Fe <sub>2</sub> O <sub>3</sub>
7	2512	97,2	1,26	0,28
8	2513	98,3	0,68	0,20
9	2514	98,2	0,54	0,58
0	2515	98,2	0,69	0,21
1	2516	98,2	0,63	0,19
2	2517	98,2	0,63	0,17
3	2518	98,0	0,87	0,21
4	2519	98,1	1,08	0,22
5	2520	98,2	0,66	0,23
6	2521	98,2	0,98	0,18
7	2522	98,1	0,79	0,22
8	2523	98,1	0,72	0,24
9	2524	98,2	0,66	0,16
0	2525	98,2	0,99	0,18
1	2526	97,3	1,5	0,22
2	2527	95,0	2,84	0,26
3	2528	98,2	0,66	0,23
4	2529	98,3	0,71	0,20
5	2530	98,1	0,87	0,28
6	2531	98,4	0,55	0,21
7	2532	98,3	0,77	0,19
8	2533	97,1	1,26	0,25
9	2534	98,0	0,94	0,26

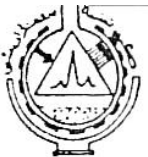
ویژه تحقیقات دستگاه پژوهشگران شیمی

مرکز مهندسی خاص

# روهشگران شیمی

سپاهی خاص

۵-۸



شاره  
ببرت

و بازیابی صایعات - کارخانجات و کارگاههای تولیدی - تصفیه آب و فاضلاب - تجزیه شیمیایی - کنترل کیفیت و راندمان سبررسی مسائل تحقیق

mpl.No.	Lab.No.	% SiO <sub>2</sub>	% Al <sub>2</sub> O <sub>3</sub>	% Fe <sub>2</sub> O <sub>3</sub>
- 40	2535	98,4	0,5	0,31
- 41	2536	97,0	1,86	0,20
- 42	2537	98,3	0,5	0,27
- 43	2538	98,4	0,55	0,23

و اراده تحقیقات، ساخت و تولید شرکت روهدشتگران شیمی  
شرکت سپاهی خاص

روهشگران شیمی

سهامی خاص



و بازیابی ضایعات - کارخانجات و کارگاههای تولیدی - تصفیه آب و فاضلاب - تجزیه شیمیایی - کنترل کیفیت و راندمان - بررسی مسائل تحقیق

Lab.No.	Sampl.No.	%SiO <sub>2</sub>	%Fe <sub>2</sub> O <sub>3</sub>
3448	TD46	97,2	0,28
3449	TD47	98,1	0,31
3450	TD48	98,0	0,45
3451	TD49	97,7	0,54
3452	TD50	93,0	0,59
3453	TD51	91,0	0,85
3454	TD52	91,5	0,57
3455	TD53	90,7	1,27
3456	TD54	91,8	0,73
3457	TD55	97,5	0,40
3458	TD56	98,1	0,40
3459	TD57	92,3	0,53
3460	TD58	98,3	0,57
3461	TD59	91,5	0,73
3462	TD60	95,0	0,48
3463	TD61	98,1	0,46
3464	TD62	97,8	0,45
3465	TD63	89,1	0,54

# رهبری ارتش

سازمان خاص



۷۹,۸۹۹  
شماره  
پرسنل

V-A

و بازیابی ضایعات - کارخانجات و کارگاه‌های تولیدی - تصفیه آب و فاضلاب - تجزیه شیمیایی - کنترل کیفیت و راندمان - بررسی مسائل تحقیقی و مشکلهای

Lab.No.	Sampl.No.	%SiO <sub>2</sub>	%Fe <sub>2</sub> O <sub>3</sub>
3466	TD64	93,7	0,62
3467	TD65	90,0	0,85
3468	TD66	97,7	0,54
3469	TD67	97,5	0,6
3470	TD68	93,3	0,28
3471	TD69	85,4	0,45
3472	TD70	95,0	0,6
3473	TD71	94,0	1,08
3474	TD72	93,0	0,74
3475	TD73	94,2	1,18
3476	TD76	93,1	0,37
3477	TD77	98,6	0,14
3478	TD78	97,4	0,2
3479	TD79	89,2	0,39
3480	TD80	93,0	0,67
3481	TD81	93,5	0,44
3482	TD82	90,0	0,42
3483	TD83	98,1	0,29

و واحد تحقیقات ساخت اداره بنیاد اسناد و کتابخانه این پژوهشگاه  
آدرس: بزرگراه آزادگان، بخش محمدی شهر اسلامشهر، پلاک ۶۳، طبقه چهارم  
تلفن و فاکس: ۰۲۶۴۸۳۸۲۳

تاریخ ۱۳۷۸/۹/۲۰  
شماره ۴۳۶۷۵  
پیوست



واحد تحقیقات صنعتی  
 پژوهشگران شیمی  
 سهامی خاص

Sampl.No.	Lab.No.	%SiO <sub>2</sub>	%Fe <sub>2</sub> O <sub>3</sub>	%Al <sub>2</sub> O <sub>3</sub>
ر 2	2470	97,0	0,20	1,99
TD 3	2471	94,6	0,33	3,2
TD 4	2472	98,6	0,32	0,65
TD 5	2473	98,2	0,17	0,65
TD 6	2474	96,9	0,21	0,91
TD 7	2475	98,4	0,15	0,54
TD 8	2476	97,0	0,18	0,96

واحد تحقیقات صنعتی پژوهشگران شیمی  
 سهامی خاص

ل سلس آرا

آدرس: تهران، خیابان میرزا میرزا، پلاک ۶۳، طبقه چهارم تلفن و فاکس: ۰۲۰۸۴۲۳

واحد تحقیقات صنعتی  
پژوهشگران شیمی  
مهامی خاص



تاریخ ..... ۷۸/۹/۱۵  
شماره ..... ۷۹۴-۰۵۷  
پوست

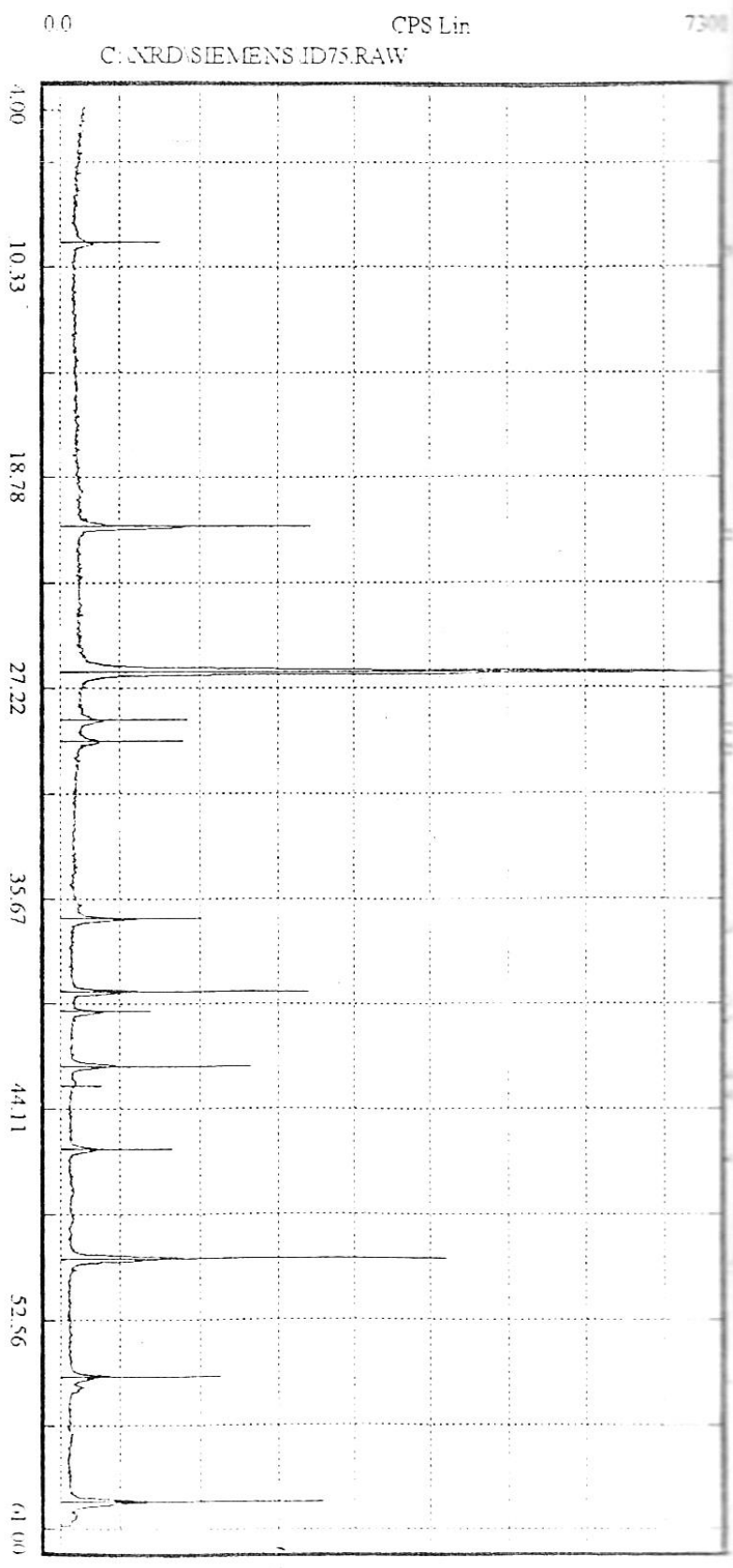
Lab.No.	Sampl.No.	%SiO <sub>2</sub>
3173	TD9	98,0
3174	TD10	97,4
3175	TD11	97,0
3176	TD12	98,4
3177	TD13	98,1
3178	TD14	98,4

واحد تحقیقات صنعتی  
پژوهشگران شیمی  
نمک و مس خاص

آدرس: تهران، خیابان میرزا شیرازی، پلاک ۶۳، طبقه چهارم تلفن و فاکس: ۰۲۰۸۴۲۳

C:\NRD\SIEMENS ID75.RAW

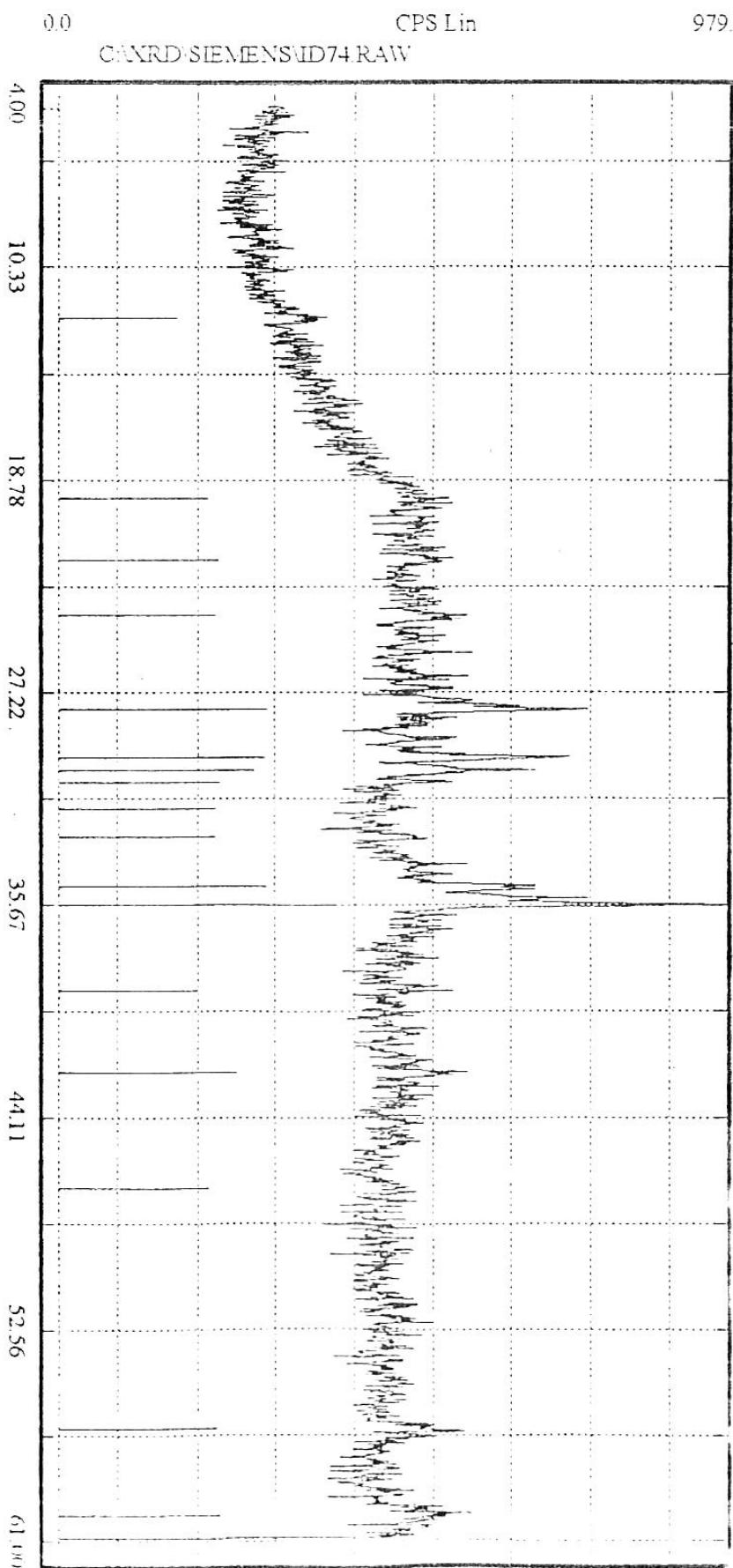
7300



Sample: ID 75	Angle	d-value	Rel. int.	Angle	d-value	Rel. int.	Angle	d-value	Rel. int.	Phase
	2 Theta	Angstrom	%	2 Theta	Angstrom	%	2 Theta	Angstrom	%	Quartz (33-1161)
	9.575	9.229	3	42.480	2.126	7	59.965	1.541	12	SiO2
	19.430	4.565	1	43.200	2.092	1	60.150	1.537	6	
Date: 2011/2/2000	20.905	4.246	16	45.820	1.979	5	Talc (29-1493) Mg3Si4O10(OH)2			
	26.695	3.337	100	47.615	1.908	1				
	28.625	3.116	4	48.640	1.870	1				
	29.505	3.025	4	50.155	1.817	17				
	36.005	2.492	1	50.320	1.812	9				
	36.590	2.454	10	54.890	1.671	6				
	39.505	2.279	10	55.335	1.659	2				
	40.330	2.234	5	55.500	1.654	2	Calcite (05-0586) CaCO3			

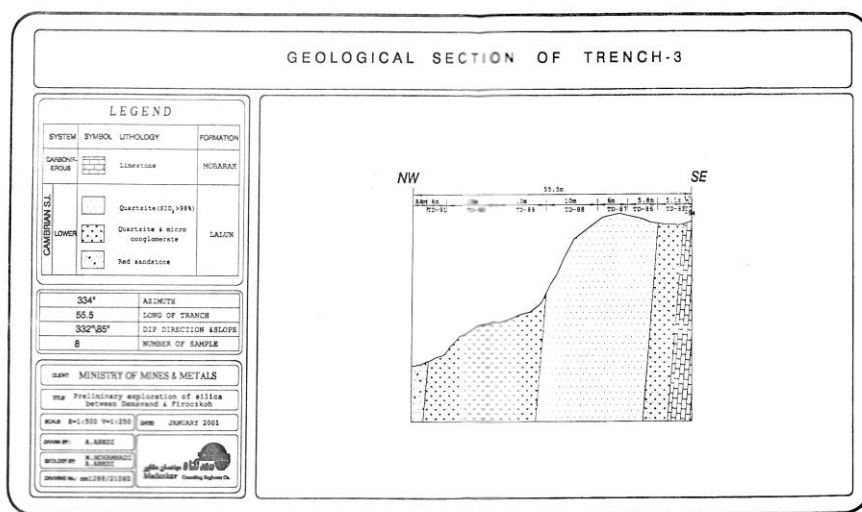
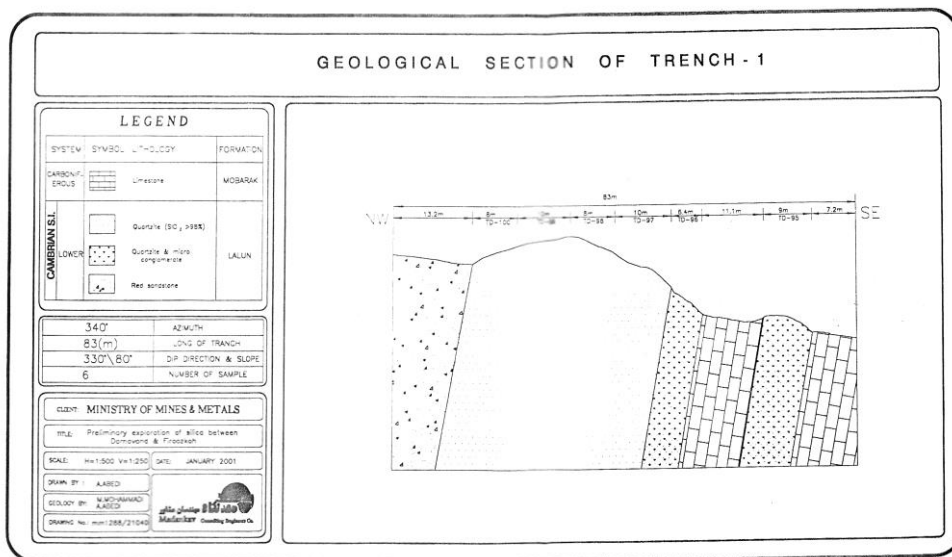
## CPS Lin

CANRD:SIEMENSID74.RAW



Sample: ID 74	Angle 2 Theta	d-value Angstrom	Rel. int. %	Angle 2 Theta	d-value Angstrom	Rel. int. %	Angle 2 Theta	d-value Angstrom	Rel. int. %	Phase Augite (24-0203) Ca(Mg,Fe)Si <sub>2</sub> O <sub>6</sub>
	19.420	4.567	23	31.905	2.803	14	52.260	1.749	12	
	22.025	4.032	31	33.085	2.705	24	56.715	1.622	37	
	24.325	3.656	34	35.000	2.562	69	59.145	1.561	5	
Date : 20/11/2000	25.695	3.464	30	35.500	2.527	87				
	27.115	3.286	30	35.795	2.506	100				
	28.030	3.181	82	37.900	2.372	12				
kV = 40	29.165	3.059	30	39.085	2.303	8				
mA = 30	29.910	2.985	79	40.785	2.211	9				
Ka = Cu	30.420	2.936	69	42.450	2.128	25				
Filt = Ni	30.875	2.894	26	46.975	1.933	10				

U  
U  
U  
U



### GEOLOGICAL SECTION OF TRENCH - 4

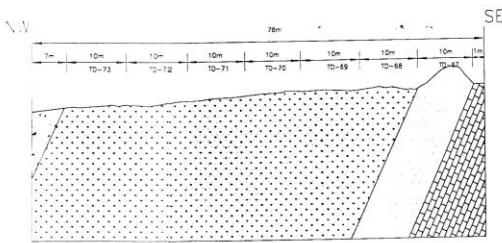
#### LEGEND

SYSTEM	SYMBOL	LITHOLOGY	FORMATION
CARBONIC EROS.	[Symbol: horizontal lines]	Limestone	MGBARK

CAMBRIAN S.L.	[Symbol: open square]	Oxide (SiO <sub>2</sub> >95%)	LALUN
	[Symbol: dots]	Oxide & micro conglomerate	
	[Symbol: diagonal lines]	Red sandstone	

335° AZIMUTH  
78 (m) LENGTH OF TRENCH  
338°/65° DIP DIRECTION & SLOPE  
7 NUMBER OF SAMPLE

CLIENT: MINISTRY OF MINES & METALS  
TITLE: Preliminary exploration of slice between  
Dabqaid & Finspear  
SCALE: 1:1,500 V=1:250 DATE: JANUARY 2001  
DRAWN BY: AABED  
GEOL. BY: MOHAMMAD AABED  
DRAWING NO. M.M.1285/21070



### GEOLOGICAL SECTION OF TRENCH-5

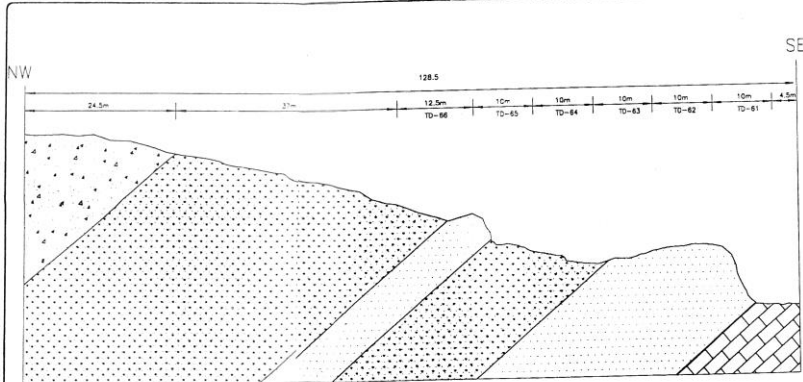
LEGEND			
SYSTEM	SYMBOL	LITHOLOGY	FORMATION
CARBONIC EROS.	[Lithology symbol]	Limestone	MOBARAK
CAMBRIAN S.L.	[Lithology symbol]	Oysterite ( $\text{SiO}_2 > 85\%$ )	
LOWER	[Lithology symbol]	Oysterite & more conglomerate	LALUN
	[Lithology symbol]	Red sandstone	

330°	AZIMUTH
128.5m	LONG. OF TRENCH
310°/40°	DIP DIRECTION & SLOPE
6	NUMBER OF SAMPLE

CLIENT: MINISTRY OF MINES & METALS
TITLE: Preliminary exploration of silica between Domavand & Firoozkoh
SCALE: H=1:500 V=1:250 DATE: JANUARY 2001
DRAWN BY: AABD GEOLOGY BY: M.MOHAMMADI DRAWING NO: mm1288/21080

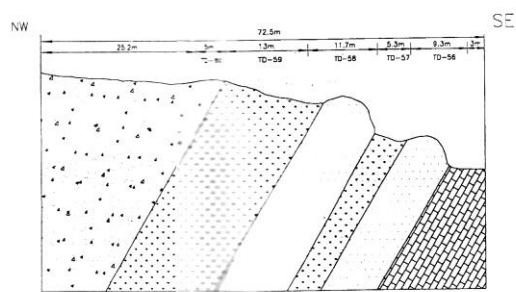
### GEOLOGICAL SECTION OF TRENCH-6

#### LEGEND

SYSTEM	SYMBOL	LITHOLOGY	FORMATION
CARBONATE EROSIVE	[Lithology symbol]	Limestone	MOSBARK
CAMERIAN S.I. LOWER	[Lithology symbol]	Quartzite ( $SiO_2 > 90\%$ )	LALUN

315° AZIMUTH  
72.5m LONG OF TRENCH  
34°\59° DIP DIRECTION & SLOPE  
5 NUMBER OF SAMPLE

CLIENT: MINISTRY OF MINES & METALS  
TIME: Preliminary exploration of Silica between  
Demashieh & Freezehan  
SCALE: 1:5000 V=1:250 DATE: JANUARY 2001  
DRAWN BY: AASID  
GEOLOGY BY: A.MOHAMMAD AABDI  
DRAWING No: mm1285/2109



### GEOLOGICAL SECTION OF A TRENCH -7

#### LEGEND

SYSTEM	SYMBOL	LITHOLOGY	FORMATION
CARBONIC EROS	[grid]	Limestone	MOSARAK
CAMERIAN S.L.	[dotted]	Quartzite ( $\text{SiO}_2 > 98\%$ )	
LOWER	[cross-hatched]	Quartzite & micro conglomerate	LALUN
	[white]	Red sandstone	

330°	AZIMUTH
96m	LONG. OF TRENCH
318° 49'	DIP DIRECTION & SLOPE
7	NUMBER OF SAMPLE

CLIENT: MINISTRY OF MINES & METALS  
 TITLE: Preliminary exploration of silica between  
 Domvord & Firoozkoh  
 SCALE: H=1:5000 V=1:1250 DATE: JANUARY 2001  
 DRAWN BY: AJABDI  
 GEOLOGY BY: M.MOHAMMADI AJABDI  
 DRAWING No: mm1268/2100

